

# GM 50180

RAPPORT DES TRAVAUX EFFECTUES SUR LA PROPRIETE RADISSON (1241)

Documents complémentaires

*Additional Files*



Licence



Licence

Cette première page a été ajoutée  
au document et ne fait pas partie du  
rapport tel que soumis par les auteurs.

Énergie et Ressources  
naturelles

Québec 

RAPPORT  
DES TRAVAUX EFFECTUES  
SUR LA PROPRIETE RADISSON (1241)  
DURANT L'ANNEE 1989

PAR

DANIEL CHAINEY  
PHILIPPE CLOUTIER  
REMI VERSCHULDEN

91 MAR 19 15 50  
MER - SYSTEMES  
DE GESTION DES LOIS  
QUEBEC

Ministère de l'Énergie et des Ressources Division des données géométriques	
DATE	17 AVR 1991
NO.G.M.	50180

1 Mars 1990

TABLE DES MATIERES

LISTE DES FIGURES .....	1
LISTE DES TABLEAUX .....	1
LISTE DES PLANS .....	1
INTRODUCTION .....	2
SECTION 1. PROPRIETE .....	3
SITUATION GEOGRAPHIQUE .....	4
CONTEXTE PHYSIOGRAPHIQUE .....	4
ACCES .....	4
TITRES .....	6
DROITS ET OBLIGATIONS .....	6
SECTION 2. REVUE DE LA DOCUMENTATION .....	7
AVANT-PROPOS .....	8
BORDURE SUD	
DE LA CEINTURE METAVOLCANIQUE DU LAC YASINSKI .....	8
BORDURE EST	
DE LA CEINTURE METAVOLCANIQUE DU LAC YASINSKI .....	12
SECTION 3. PROSPECTION GEOLOGIQUE .....	17
PROCEDURES .....	18
RESSOURCES .....	18
CONTEXTE GEOLOGIQUE REGIONAL .....	19
CONTEXTE GEOLOGIQUE LOCAL .....	26
LAC MIAKADOW .....	30
LAC ULTRA .....	35
LAC KAYCHIKWAPICHU .....	42
AILLEURS .....	43
CONCLUSIONS .....	44
SECTION 4. INTERPRETATION STRUCTURALE	
PAR PHOTOGRAPHIE AERIENNE .....	46
SECTION 5. RECOMMANDATIONS .....	49
LISTE DES REFERENCES .....	54
ANNEXE 1. TITRES .....	55
ANNEXE 2. EXTRAITS DE LA CONVENTION DE LA BAIE JAMES	
A PROPOS DES TERRES DE CATEGORIE II .....	64
ANNEXE 3. DONNEES DE TERRAIN	
ET RESULTATS D'ECHANTILLONNAGE .....	69

## LISTE DES FIGURES

1.	Carte de localisation de la propriété Radisson .....	5
2.	Diagramme de variation entre log_ppm_Cu_Tx (extraction multi-acide) et log_ppm_Cu_Px (extraction à l'eau régale) .....	20
3.	Découpage proposé de la province structurale du Supérieur (Figure 6 de Card et Ciesielski (1986)) .....	22
4.	Environnement géologique de la province structurale du Supérieur dans les régions de la Baie James et de l'Ungava, Québec (Figure 8 de Card et Ciesielski (1986)) .....	23
5.	Carte géologique régionale (Partie de la coupure 33F dans le DPV-940 du MERQ) .....	24
6.	Subdivisions de la ceinture métavolcanique du Lac Yasinski .....	25
7.	Carte de localisation des secteurs prospectés .....	27
8.	Diagramme de variation entre log_ppb_Au et log_ppm_Cu_Px (extraction à l'eau régale) .....	31
9.	Distribution des anomalies électromagnétiques du levé aérien dans le secteur du Lac Ultra et son voisinage .....	37
10.	Modèle d'évolution tectonique pour le secteur du Lac Ultra .....	39
11.	Localisation et étendue des réseaux de layons proposés pour le secteur du Lac Miakadow .....	51
12.	Limites proposées pour la propriété .....	53

## LISTE DES TABLEAUX

1.	Paramètres de dosage .....	19
2.	Fréquences relatives des teneurs en or exprimées en ppb, par classes de valeurs, pour différents lithotypes, groupés selon la quantité d'échantillons prélevés (n) .....	29

## LISTE DES PLANS (en pochette)

1. Localisation des travaux antérieurs
2. Lac Miakadow
3. Lac Ultra
4. Lac Kaychikwapichu
5. Interprétation structurale par photographie aérienne

## INTRODUCTION

Le présent rapport fait état des travaux accomplis sur la propriété Radisson d'Exploration Noranda et la propriété Yasinski de Ressources Minières Platinor au cours de l'été 1989. Il est divisé en cinq sections:

- la première section décrit les aspects géographique et juridique de la propriété;
- la seconde section présente une revue de la documentation disponible au Ministère de l'Energie et des Ressources du Québec, en ce qui a trait aux rapports de travaux statutaires effectués à l'intérieur des limites actuelles de la propriété;
- la troisième section porte sur les travaux de prospection géologique effectués au cours de l'été, ainsi que sur les résultats des levés lithogéochimique et électromagnétique (Beep Mat) obtenus en même temps;
- la quatrième section présente une analyse structurale basée sur l'observation des photographies aériennes couvrant la propriété et ses alentours; cette analyse structurale, commencée avant les travaux de terrain, a été vérifiée au cours de l'été et légèrement modifiée par la suite;
- finalement, la cinquième section fait état des recommandations pour les travaux à être entrepris et les décisions à être prises au cours de l'année 1990.

**SECTION 1**

**PROPRIETE**

## SITUATION GEOGRAPHIQUE

La propriété Radisson est située à l'intérieur du territoire du Nouveau-Québec, dans les cantons 2912 à 2914, 3012 à 3014 et 3114. Elle se trouve à environ 550 km au Nord de Matagami et 75 km au Sud de Radisson (Figure 1).

## CONTEXTE PHYSIOGRAPHIQUE

Le terrain est relativement bien drainé et variablement valonneux au voisinage des limites de la propriété, tandis qu'au centre de la propriété, les étendues marécageuses sont importantes. Conséquemment, les secteurs affleurants sont surtout situés à l'intérieur d'une bordure de largeur kilométrique suivant pratiquement les limites de la propriété, à l'intérieur des limites de la propriété. Le Lac Yasinski est la plus grande étendue d'eau et couvre une surface d'environ 35 kilomètres carrés; il se trouve au centre de la propriété.

## ACCES

La route reliant Matagami et Radisson traverse la propriété selon une orientation Nord-Sud, tandis que la route menant aux installations hydro-électriques de LG/3 et LG/4 traverse le tiers oriental de la propriété selon une orientation Est-Ouest.

L'accès aux divers secteurs de la propriété est inégal. Il est évidemment très facile en bordure des routes susmentionnées. Là où ces routes se trouvent à proximité de lacs suffisamment grands ou recourent des rivières utilisables par des embarcations à moteur ou des canots, l'accès est relativement facile, si on excepte quelques rapides et les variations du niveau de l'eau dues au régime pluvial. En ce qui a trait au transport hors-route sur roues, sur chenilles ou sur patins, il est relativement aisé si on choisit bien son itinéraire pour éviter les difficultés associées aux régions plus densément boisées ou à un relief plus accentué.

L'accès par hydravion à la plupart des lacs est généralement non-recommandé, étant donné leur faible profondeur (plusieurs d'entre eux, incluant le Lac Yasinski, se traversent à pied en certains endroits) et la présence de blocs erratiques, à fleur d'eau, un peu partout.

Par contre, l'utilisation de l'hélicoptère ne représente aucune difficulté, sauf éventuellement pour leur disponibilité. Plusieurs bases d'hélicoptère, permanentes ou saisonnières, sont présentes au voisinage de l'aéroport La Grande ou à Radisson.

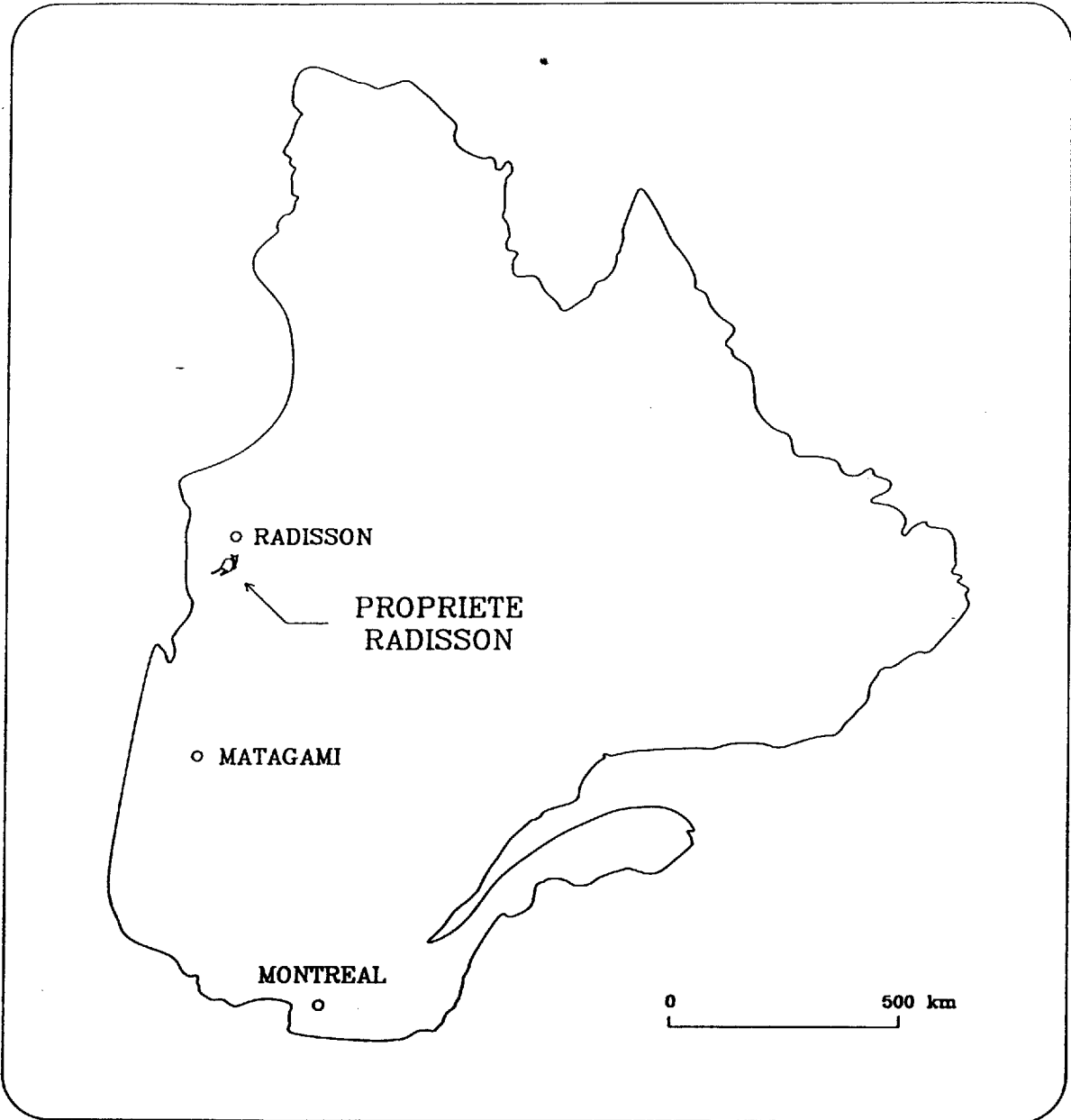


Figure 1. Carte de localisation de la propriété Radisson

## TITRES

La propriété est constitué de 3 permis d'exploration (#857, #858 et #859) d'une superficie totale de 516 kilomètres carrés. Ces permis ont été accordés le 21 octobre 1988 pour une période de 5 ans. Une copie des permis émis par le Service des Titres Miniers est présentée à l'Annexe 1.

## DROITS ET OBLIGATIONS

La plus grande partie de la propriété située à l'Ouest de la route reliant Matagami et Radisson se trouve à l'intérieur des terres de catégorie II de la communauté crie de Wémindji, tandis que le reste de la propriété se trouve à l'intérieur des terres de catégorie III, selon les termes de la Convention de la Baie James.

Actuellement, aucune contrainte majeure n'est imposée par la Convention de la Baie James aux activités d'exploration minérale et de développement minier. Des extraits de la Convention de la Baie James ayant trait aux activités exercées par Exploration Noranda ou pouvant être exercées par Minéraux Noranda sont présentées à l'Annexe 2.

**SECTION 2**

**REVUE DE LA DOCUMENTATION**

## AVANT-PROPOS

Afin de rester fidèle au texte des rapports de travaux statutaires consultés pour faire la présente revue, les noms de roche utilisés par les auteurs de ces rapports ont été conservés. Toutefois, pour permettre au lecteur de faire le lien entre les travaux antérieurs, décrits ici, et les travaux réalisés cette année, décrits ailleurs dans le présent rapport, des noms de roches alternatifs sont donnés partout où une ré-interprétation était possible, en regard des observations de terrain effectuées par ou portées à l'attention de l'auteur. Ces noms de roche alternatifs sont délimités par des crochets ([]) et précédés du traditionnel "NdA" (Note de l'Auteur).

## BORDURE SUD DE LA CEINTURE METAVOLCANIQUE DU LAC YASINSKI

La plupart des travaux d'exploration effectués le long de la bordure Sud de la ceinture métavolcanique du Lac Yasinski l'ont été au voisinage du Lac Mistacheesic (Discovery). Les claims couvrant ce secteur particulier appartiennent aux Mines JAG.

Les premiers travaux d'exploration connus datent de 1959. Suite à un levé aérien magnétique-électromagnétique complété cette année-là par Main Exploration, et couvrant vraisemblablement toute la ceinture métavolcanique du Lac Yasinski, plusieurs anomalies ont été localisées et ont fait l'objet de travaux détaillés au sol. Parmi les anomalies retenues, une première (#3-22; A sur le Plan 1) se trouvait à peu de distance au Sud du Lac Mistacheesic, une seconde (#3-49; B sur le Plan 1), à mi-chemin entre les Lacs Nichikw (Rodrigue) et Taylor.

Le secteur autour des indices métallifères mis au jour par Main Exploration au Sud du Lac Mistacheesic, suite à des travaux de prospection et de décapage dans le voisinage de l'anomalie #3-22, a été à plusieurs reprises couvert par des levés magnétiques-électromagnétiques au sol entre 1960 et 1980. Les profils magnétiques-électromagnétiques qui ont été obtenus étaient généralement espacés de 60 à 200 m. Ils ont permis la reconnaissance de domaines magnétiques relativement contrastés mais les variations d'épaisseur du mort-terrain, généralement ignorées, jettent un doute sérieux sur la réalité des anomalies électromagnétiques interprétées. Qui plus est, la composante en quadrature est souvent plus forte que la composante en phase, ce qui indique que la plupart des conducteurs, s'ils sont réels, sont mauvais. Ainsi, la correspondance, maintes fois signalée, qui semble exister entre découverts plus ou moins riches en sulfures et axes d'anomalies électromagnétiques pourrait n'être que fortuite.

Des profilages gravimétriques et de polarisation provoquée (dispositif dipôle-dipôle), effectués dans le même secteur en 1982 et en 1983 respectivement, ont aussi été affectés par les variations d'épaisseur

du mort-terrain. L'interprétation des résultats de ces levés a donc été biaisée de la même façon que pour les levés électromagnétiques (voir GM-42002 pour de plus amples détails).

En définitive, ce sont surtout les travaux de prospection et de décapage, ainsi que les levés géologiques et l'échantillonnage des indices métallifères qui doivent retenir l'attention. Ces derniers ont été mis au jour à deux époques différentes: soit en 1960 lors du suivi au sol des anomalies détectées par le levé aérien magnétique-électromagnétique de Main Exploration, soit en 1983 afin d'expliquer la présence des fausses anomalies géophysiques susdécrites. L'usage du tapis-prospecteur mis au point par Edwin Gaucher et Associés, lors de la campagne de prospection de 1983, a grandement contribué à la mise au jour d'indices métallifères sub-affleurants. Incidemment, cette campagne de prospection de 1983 a aussi permis de démontrer que là où des axes d'anomalies électromagnétiques avaient été interprétés, meilleures étaient les chances de se trouver à l'aplomb d'un haut topographique et, par suite, meilleures étaient les chances de trouver des indices métallifères sub-affleurants.

L'environnement géologique au voisinage du Lac Mistacheesic a généralement été décrit comme une séquence volcano-sédimentaire homoclinale, à pendage abrupt vers le Nord, en contact avec un batholite granitique au Sud. Ainsi, du Sud au Nord, on trouve:

- du granite à biotite, avec grenat et tourmaline localement, dont la bordure est gneissique et contient des xénolites de roches métasédimentaires [NdA: amphibolite mylonitisée];
- un assemblage de métagrauwacke et de métaquartzite ou métagrauwacke silicifié; le métagrauwacke [NdA: mylonite à biotite] est généralement composé de quartz, de feldspath, de biotite et de chlorite, ces deux derniers minéraux étant beaucoup moins abondants dans le métagrauwacke silicifié [NdA: mylonite]; le métagrauwacke montre une gneissification graduelle à l'approche du batholite granitique et forme souvent des bancs métriques intercalés avec les roches métavolcaniques; des exemples de granoclassement et de stratifications entrecroisées auraient apparemment été vus;
- des métavolcanites mafiques, souvent schisteuses si de la chlorite, de la biotite et de la muscovite sont présentes en plus de la hornblende et du plagioclase; trois bandes distinctes sont connues, la plus méridionale se situant immédiatement au Sud du Lac Mistacheesic et contenant typiquement du grenat, les deux autres se situant, soit immédiatement au Nord du Lac Mistacheesic, soit entre les Lacs Kasakwawkamach (Christian et des Six).

Deux lithotypes particuliers sont aussi présents à l'intérieur de la séquence volcano-sédimentaire (sic) susdécrite:

- des écailles de péridotite talqueuse dans les roches métasédimentaires [NdA: amphibolite mylonitisée et mylonite] au voisinage du batholite granitique;

-une formation de pseudo-conglomérat (sic) d'épaisseur hectométrique traversant le Lac Mistacheesic et se trouvant entre les bandes méridionale et centrale de roches métavolcaniques susmentionnées; le terme "pseudo" a été utilisé ici pour signaler que les "galets monogéniques" de ce "conglomérat" sont en réalité des boudins d'un matériau riche en quartz dans une matrice de métagrauwacke [Nda: mylonite à (?) fragments de veines de quartz].

Les limites de chacune de ces divisions lithostratigraphiques (batholite granitique, assemblage de métagrauwacke et de métaquartzite variablement déformés (sic), bandes de métavolcanites mafiques et de péridotite talqueuse) peuvent être établies en utilisant la carte des anomalies magnétiques dressée en 1980 par Géola (GM-36390; Plan 413-05). En effet, chacune de ces divisions lithostratigraphiques a une signature magnétique contrastant suffisamment avec celles des autres qui l'entourent. Ainsi, les trois crêtes magnétiques représentent, soit des bandes de métavolcanites mafiques, soit une écaille de péridotite, tandis que les creux magnétiques représentent, soit le batholite granitique, soit les roches métasédimentaires (sic), incluant la formation de pseudo-conglomérat (sic). Les inflexions le long des axes d'anomalies magnétiques sont dues fort probablement à des structures sécantes d'orientation approximative ONO-ESE. La localisation de ces structures sécantes présumées correspond assez bien avec des corridors d'anomalies dans l'orientation des foliations. Le déplacement tangentiel le long de ces structures sécantes serait vraisemblablement dextre. La structure sécante passant à l'Est du Lac Mistacheesic est visiblement plus perturbante que celle passant à l'Ouest du Lac Mistacheesic; les formations de roches métavolcaniques et métasédimentaires (sic) se transposent le long de celle-ci et un plus grand développement de la foliation a été noté à son voisinage. De plus, de nombreux plis secondaires (sic; ? plis d'entraînement d'ordre métrique) et des réseaux de fractures d'orientation Nord-Sud à NNO-SSE ont été observés au voisinage du Lac Patrick.

Les indices métallifères d'intérêt économique ont été décrits différemment par Baldwin en 1959 (GM-10200) et par Derossier en 1973 (GM-29292). Un recouplement de leurs descriptions, de même que la localisation stratigraphique et les teneurs en métaux de ces indices métallifères (GM-33758) permettent de les séparer en au moins deux types distincts:

- un premier type, caractérisé par la présence de veines de quartz fracturées à remplissage de sulfures, associé à la bande méridionale de métavolcanites mafiques et à paragenèse Cu-Ag-Au;
- un second type, caractérisé par la présence d'horizons à sulfures plus ou moins disséminés, plus ou moins associé à l'écaille de péridotite le long du batholite granitique et à paragenèse Zn-Pb-Ag-Au.

Les premiers forages connus datent de 1965 (Pennbec Mining); cependant, ni les journaux de forage, ni un plan de localisation des sites de forage sont actuellement disponibles. Ce n'est qu'en 1982, puis en 1984, que des travaux de forage seront de nouveau effectués, cette fois par le

propriétaire actuel. A la lecture des journaux de forage (GM-40068, GM-42594), il apparaît clairement que:

- au moins deux formations aurifères sont présentes au Sud du Lac Mistacheesic; une première, localisée au contact de roches métasédimentaires (sic) et métavolcaniques mafiques, d'une puissance approximative de 10 m et caractérisée par la présence de veines de quartz plus ou moins discordantes et souvent fracturées (remplissage de sulfures), de sulfures disséminés (pyrite et pyrrhotine notamment) et de fuchsite; une seconde, localisée dans des roches métasédimentaires (sic) et les recoupant éventuellement, d'une puissance variant entre 10 m et 20 m et caractérisée par la présence de sulfures disséminés (pyrite, pyrrhotine et sphalérite notamment), souvent abondants, avec ou sans veines de quartz plus au moins concordantes;
- la première de ces deux formations aurifères est associée étroitement au premier type d'indice (veines de quartz et sulfures), et la seconde, au second type d'indice (horizons sulfurés);
- des gradients-or importants, basés sur les résultats de l'échantillonnage des carottes, pointent le long des deux formations aurifères vers les segments affectés par les structures sécantes passant de chaque côté du Lac Mistacheesic; dans le cas de la formation aurifère à veines de quartz et sulfures, ces segments perturbés sont typiquement représentés par des creux relatifs le long de la crête magnétique liée à la bande méridionale de métavolcanites mafiques.

Immédiatement à l'Est du secteur d'intérêt précédent, un levé radiométrique effectué en 1973 (GM-34779) a permis de définir une anomalie de radioactivité, faible mais consistante, dont l'étendue est confinée à un assemblage hybride de roches métasédimentaires (sic; pseudo-conglomérat, métaquartzite, métagrauwacke, paragneiss à biotite) et métavolcaniques (amphibolite, schiste à amphibole-biotite, schiste à quartz-chlorite-séricite), très déformées par cisaillement et recoupées par des nombreuses failles verticales sans déplacement latéral apparent. Cette anomalie s'inscrirait vraisemblablement dans la continuité de la formation aurifère à horizons sulfurés susdécrite; son origine reste encore inexplicée (? altération potassique).

L'anomalie magnétique-électromagnétique localisée par le levé aérien de Main Exploration en 1959 et située à mi-chemin entre les Lacs Nichikw et Taylor (#3-49) n'a pas été l'objet d'autant d'attention que celle qui se trouvait au Sud du Lac Mistacheesic (#3-22). Néanmoins, on sait (GM-10200) que cette anomalie est due à la double présence d'une formation de quartzite graphitique [NdA: mylonite], avec pyrite et/ou pyrrhotine disséminées, et d'un horizon bréchique à ciment de pyrrhotine et de chalcopryrite dans une formation de quartzite [NdA: mylonite] avec pyrrhotine et chalcopryrite disséminées. Ces deux conducteurs se trouveraient à une centaine de mètres de roches métavolcaniques présentes au Nord. Un échantillon de l'horizon bréchique dosé pour le cuivre et le nickel a donné des teneurs inférieures à 0.1% tandis qu'un échantillon des éponges s'est révélé plus intéressant: 0.38 %Ni, 78.5 gAg/t, 0.7 %Cu et 3.4 gAu/t.

## BORDURE EST DE LA CEINTURE METAVOLCANIQUE DU LAC YASINSKI

Les travaux d'exploration effectués le long de la bordure Est de la ceinture métavolcanique du Lac Yasinski l'ont été, soit à la hauteur du Lac Yasinski, de part et d'autre du chemin conduisant aux installations hydroélectriques de LG/3 et LG/4, soit à l'extrémité orientale du Lac Ménarik. Les claims couvrant le secteur situé à la hauteur du Lac Yasinski appartiennent à Ressources Minières Platinor, tandis que ceux couvrant le secteur situé autour de l'extrémité orientale du Lac Ménarik appartiennent à Ressources Minières Pro-Or.

Comme pour la bordure Sud de la ceinture métavolcanique du Lac Yasinski, le levé aérien magnétique-électromagnétique complété en 1959 par Main Exploration a permis de localiser plusieurs anomalies qui ont fait l'objet de travaux détaillés au sol. Parmi les trois anomalies retenues, celle se situant au voisinage du Lac Ultra (#4-30; G sur le Plan 1) est de loin la plus intéressante. Les deux autres se trouvent, soit au Lac Talc (#4-31; F sur le Plan 1), soit au Lac Morrison (#3-38; C sur le Plan 1).

Suite à des levés magnétiques-électromagnétiques effectués au sol par Main Exploration (GM-10200) et Ressources Minières Platinor (rapp. inédit), on sait maintenant que l'anomalie #4-30 au voisinage du Lac Ultra est due à deux conducteurs parallèles. Ceux-ci seraient causés par des sulfures disséminés et/ou des paillettes de graphite dans des roches volcaniques mafiques, déformées et altérées, et intercalées avec des formations de roches métasédimentaires [NdA: amphibolite mylonitisée et mylonite]. Le plus fort et le plus continu des deux conducteurs suit le contact supérieur d'un intrusif de péridotite concordant, tandis que l'autre est plus ou moins associé à une formation de fer (faciès oxyde). L'échantillonnage d'horizons riches en sulfures (5-15% de pyrrhotine, un peu de chalcopyrite) le long du conducteur principal à son extrémité Nord n'a pas donné de résultats spectaculaires (moins de 0.2 %Cu+Ni, moins de 50 gAg/t). Par contre, une veine de quartz le long du même conducteur s'est révélée plus intéressante: 4.55 %Cu sur 2 m. Aucun dosage pour l'or n'a été effectué pour ces échantillons.

Des levés géologique et lithogéochimique, effectués en 1988 par Ressources Minières Platinor (rapp. inédit), dans le même secteur autour du Lac Ultra, ont permis d'établir l'existence d'une anomalie-or au voisinage des deux conducteurs susdécrits, plus particulièrement là où l'on peut observer une anomalie d'orientation dans la foliation. Cette dernière correspond vraisemblablement à une faille de décrochement d'orientation ENE-OSO.

Les indices du Lac Talc (anomalie #4-31) et du Lac Morrison (anomalie #3-38) ont aussi fait l'objet de levés électromagnétiques au sol (GM-10200). A ces deux endroits, les conducteurs se trouvent au contact de roches métavolcaniques et métasédimentaires [NdA: amphibolite mylonitisée]. Au Lac Talc, le conducteur est causé par un horizon riche en pyr-

rhotine; un échantillon représentatif d'une portion contenant un peu de chalcopryrite n'a pas donné de résultats spectaculaires (moins de 0.1 %Cu+Ni) mais le dosage pour l'argent d'une veine de quartz sulfuré située tout près du conducteur s'est révélé plus encourageant (20 g/t). Au Lac Morrison, le conducteur est causé par une brèche à remplissage de quartz et riche en graphite. La pyrite est relativement abondante (5%); la chalcopryrite est présente en quantité notable localement. Plusieurs échantillons provenant d'une zone riche en chalcopryrite (dimensions de 60 m par 3 m) ont donné les résultats suivants, sur toute la largeur de la zone: 2.5-7.2 %Cu, 7-18 gAg/t, moins de 0.3 gAu/t.

Une bonne partie de la bordure Est de la ceinture métavolcanique du Lac Yasinski, entre les indices des Lacs Talc et Morrison, a été cartographiée par Canico en 1975 (GM-31353). La séquence lithostratigraphique est uniforme sur la plus grande partie du segment étudié; celle-ci constitue une séquence vraisemblablement homoclinale, d'orientation sub-méridienne, à pendage vertical et avec une polarité vers l'Ouest. Ainsi, de l'Est vers l'Ouest, on trouve:

- du gneiss granitique à biotite; la gneissosité est localement perturbée;
- une formation d'arkose [NdA: granite hybride], de 30 à 150 m d'épaisseur, riche en séricite et, localement, en biotite; passage graduel à la formation de quartzite [NdA: mylonite];
- une formation de quartzite de 400 m d'épaisseur, riche en séricite et, localement, en fuchsite [NdA: mylonite à muscovite-fuchsite]; interstratification (sic) graduelle avec des bancs d'argilite [NdA: amphibolite mylonitisée]; lentilles conglomératiques [NdA: mylonite à fragments de veines de quartz] (30-60% cailloux de quartz étirés dans une matrice de quartz et de séricite, avec un peu de biotite et de chlorite; fuchsite et pyrite accessoires; faible radioactivité) au voisinage des métavolcanites mafiques;
- des bancs ou des laminations millimétriques d'argilite [NdA: amphibolite mylonitisée], composée de quartz, de séricite, de biotite et de chlorite, localement riche en magnétite;
- des métavolcanites mafiques, parfois coussinées, localement tuffacées (sic; foliées) et pyritisées.

En plus, des sills de péridotite, variablement altérée en serpentine et en talc, se trouvent dans les roches métasédimentaires [NdA: mylonite] à proximité du contact avec le gneiss granitique et, parfois, à l'intérieur du gneiss granitique.

Cette séquence lithostratigraphique, présente dans le secteur du Lac Ultra, est fort semblable à celle que se trouve dans le voisinage du Lac Mistacheesic, le long de la bordure Sud de la ceinture métavolcanique du Lac Yasinski. Il y a tout lieu de croire que cette séquence lithostratigraphique est continue tout le long des bordures Sud et Est de la ceinture métavolcanique du Lac Yasinski (RG 184).

Trois forages, espacés de près de 3 km, ont été faits (GM-30047, GM-32119) à la même époque que le levé géologique susmentionné. La cible la plus vraisemblable de chacun de ces trois forages était autant de sills de péridotite, signalés par des anomalies magnétiques isolées (GM-31355). Les échantillons de carotte dosés pour Cu, Ni, Pt et Pd n'ont donné que des résultats insignifiants.

Deux secteurs anomaux, le premier à mi-chemin entre les indices des Lacs Talc et Morrison (E sur le Plan 1), le second à un peu plus de 2 km au Nord de l'indice du Lac Morrison (D sur le Plan 1), les deux le long du contact entre la formation de quartzite [NdA: mylonite] et les métavolcanites mafiques, ont fait l'objet de travaux plus ou moins détaillés.

Dans le premier cas, des levés magnétique et électromagnétique au sol, suivis de levés géologique et lithogéochimique, tous effectués en 1988 par Ressources Minières Platinor (rapp. inédit), ont permis de reconnaître une situation géologique fort semblable à celle qui prévaut dans le secteur autour du Lac Ultra: anomalies magnétiques associées à un intrusif de péridotite et à une formation de fer, conducteurs électromagnétiques liés aux anomalies magnétiques, anomalie-or au voisinage des conducteurs, plus particulièrement là où on peut observer une anomalie d'orientation dans la foliation, correspondant probablement à une faille de décrochement.

Dans le second cas, on observe (GM-31353) un dédoublement de la formation de quartzite [NdA: mylonite], la partie Ouest s'incurvant légèrement à l'Ouest du Nord et pénétrant les métavolcanites mafiques. Cette même partie Ouest de la formation de quartzite [NdA: mylonite] est caractérisée par la présence de lentilles conglomératiques [NdA: unités plus riches en fragments de veines de quartz], qui sont remplacées progressivement par des bancs d'argilite [NdA: amphibolite mylonitisée] de plus en plus nombreux en allant vers le Nord ou, autrement dit, en s'enfonçant davantage au sein des métavolcanites mafiques. Cette "argilisation" [NdA: mylonitisation] progressive le long de la partie Ouest de la formation de quartzite [NdA: mylonite] est semblable à celle qui est décrite quand on passe de la quartzite [NdA: mylonite] aux métavolcanites mafiques perpendiculairement à la direction des strates. Cependant, encore une fois à cet endroit particulier, le contact entre la partie Ouest de la formation de quartzite [NdA: mylonite] et les métavolcanites mafiques est marqué par une bande pyriteuse d'épaisseur métrique. Celle-ci est probablement en continuité avec une formation de fer (faciès oxyde) qu'on trouve plus au Nord, dans la portion plus argileuse [NdA: amphibolitique] de la partie Ouest de la formation de quartzite [NdA: mylonite]. Finalement, une formation de tuf [NdA: un intervalle plus folié], localement bréchifié et pyritisé, a été observée dans les métavolcanites mafiques divisant la formation de quartzite [NdA: mylonite]. Deux tranchées et un vieux site de forage ont aussi été aperçus à proximité de cette formation de tuf [NdA: un intervalle plus folié].

Contrairement aux indices métallifères situés à la hauteur du Lac Yassinski, ceux situés à l'extrémité orientale du Lac Ménarik n'ont pas

provoqué d'anomalies lors du levé aérien magnétique-électromagnétique complété en 1959 par Main Exploration.

Le premier indice mis au jour dans ce secteur se trouve au Nord du Lac Ménarik (GM-10200), environ 1 km à l'Ouest de son extrémité orientale (I sur le Plan 1). Une zone riche en sulfures, entourée d'un halo sulfuré et envahi de mariposite (? fuchsite), dans une formation de quartzite [NdA: mylonite] à proximité d'un intrusif de péridotite, et échantillonnée en surface a donné les résultats suivants: 17 %Cu, 3.75 %Zn, 0.1 %Pb, 1.7 gAu/t et 53.4 gAg/t. Un forage court traversant cette zone sulfurée à peu de profondeur s'est révélé désappointant.

Un autre indice mis au jour à la même époque, mais chromifère cette fois, se trouve à environ 1 km à l'Est de l'extrémité orientale du Lac Ménarik (H sur le Plan 1). La plus grande zone enrichie en chromite fait environ 15 m par 2 m (GM-10200).

Ce n'est qu'en 1978 que deux autres indices seront mis au jour par SOQUEM (rapp. inédit), l'un aurifère, l'autre chromifère. Ces deux indices, assez rapprochés l'un de l'autre, se trouvent à environ 1 km au Nord-Est de l'extrémité orientale du Lac Ménarik (J et K sur le Plan 1). L'indice aurifère (K sur le Plan 1) est représenté par une zone de cisaillement à quartz-fuchsite-séricite-chlorite, avec sulfures laminés (arsénopyrite et pyrite, notamment) et veines de quartz dans les métavolcanites mafiques. Le segment le plus intéressant a des dimensions minimales de 50 m par 3 m. L'or y est associé à l'arsénopyrite; les teneurs obtenues sont les suivantes: plus de 5 g/t dans les boues de forage et plus de 8 g/t dans les échantillons en rainurage (25% des échantillons à plus de 15 g/t). Toute une série d'indices similaires s'échelonne sur 350 m, le long de la structure porteuse orientée un peu à l'Ouest du Nord. L'indice chromifère (J sur le Plan 1) est associé à un intrusif de péridotite et présente trois types distincts de minéralisation: 1) bancs décimétriques de chromite (18 %Cr) d'une longueur minimale de 10 m, 2) alternance de lits millimétriques de chromite et d'olivine (17.5 %Cr) à l'intérieur d'une zone d'au moins 50 m par 0.6 m, et 3) disséminations de chromite (1.7 %Cr) à l'intérieur d'une zone d'au moins 50 m par 5 m. Des teneurs faibles en Ni (moins de 0.15%) et en Pd (moins de 1.3 g/t) ont aussi été obtenues, là où les teneurs en Cr sont les plus élevées. On trouve tous ces types de minéralisation chromifère à l'intérieur d'une zone d'au moins 60 m par 10 m, orientée approximativement Est-Ouest.

Des levés magnétique, électromagnétique et de polarisation provoquée (dispositif dipôle-dipôle) ont été effectués en 1987 sur la propriété de Ressources Minière Pro-Or (GM-45928) qui englobe les deux indices chromifères et l'indice aurifère susdécrits. A partir des résultats de ces levés, on peut dire que:

- les variations d'épaisseur du mort-terrain ont été ignorées; la coïncidence quasi-généralisée des profils de chargeabilité et de résistivité, de même que la coïncidence générale entre les courbes de

niveau et les courbes d'isovaleurs des anomalies magnétiques, le montrent clairement et permettent notamment d'éliminer toutes les anomalies de polarisation provoquée, sauf une;

- un intrusif de péridotite, large d'au moins 1 km, est associé à l'indice chromifère de SOQUEM décrit précédemment;
- des structures sécantes, semblables à celle recelant l'indice aurifère de SOQUEM décrit précédemment, existent probablement de part et d'autre de cette dernière, une suivant le principal cours d'eau traversant la partie Ouest de la propriété suivant une direction légèrement à l'Ouest du Nord, une autre passant à l'aplomb de la seule réelle anomalie de polarisation provoquée et recelant un indice métallifère désigné Poirier 1, vraisemblablement mis au jour par le groupe SES (L sur le Plan 1).

**SECTION 3**

**PROSPECTION GEOLOGIQUE**

## PROCEDURES

Plusieurs secteurs de la propriété ont été examinés par des équipes constituées de 2 à 3 individus, sur des étendues et dans des intervalles de temps variables. La localisation des points d'échantillonnage et des aires d'affleurements a été faite sur des photographies aériennes à l'échelle de 1:31760 ou à partir de layons déjà existants. La déclinaison magnétique qui a été retenue est de 16 degrés vers l'Ouest.

Chacun des affleurements rencontrés a été examiné et décrit par le chef de chacune des ces équipes. Une attention particulière a été portée aux altérations et déformations présentes. Dans ce dernier cas, étant donné l'importance des phénomènes tectoniques pour la mise en place des cibles recherchées, notamment des gisements métamorphogéniques particulièrement riches en or et/ou en cuivre, un levé systématique des attitudes de la foliation, et de tout système de fracturation dont la densité excède 30 fractures/mètres, a été effectué.

Au même moment, le plus grand nombre possible d'échantillons de roche a été prélevé sur les affleurements visités, de telle manière à reconnaître le potentiel auro-cuprifère d'un lithotype, d'une altération et/ou d'un marqueur de déformation en particulier. Étant donné les objectifs corporatifs en matière d'exploration, il était hors de question de procéder à un échantillonnage systématique régional ou même semi-régional. Au contraire, une approche ponctuelle a été préférée; ainsi, chaque échantillon prélevé se devait de pouvoir mettre au jour un indice, ou mieux encore, un gisement, selon l'état des connaissances du moment. Toutefois, plusieurs échantillons ne répondant pas à cette norme ont aussi été prélevés, à la discrétion des chefs d'équipe, pour des raisons de curiosité notamment.

Finalement, l'utilisation d'un tapis-prospecteur (Beep Mat) par chacune des équipes a permis de connaître la véritable cause des anomalies électromagnétiques relevées lors du levé hélicoptère effectué l'hiver précédent (voir Références). Les données de terrain et les résultats d'échantillonnage sont présentés à l'Annexe 3.

## RESSOURCES

Durant toute la saison de terrain, les équipes ont logé dans des tentes, sur les lieux mêmes de leur travail, afin d'éviter les frais et les inconvénients associés à un transport quotidien par hélicoptère depuis un camp de base saisonnier. Néanmoins, un hélicoptère était utilisé une fois par semaine pour le ravitaillement en nourriture et la sortie des échantillons, ainsi qu'à chaque fois où un camp devait être déplacé.

Les étudiants en géologie ou géologues ayant contribué aux opérations de terrain sont, suivant l'ordre alphabétique:

- Philippe Cloutier (chef d'équipe);
- Eric Ducharme (assistant);
- François Perreault (assistant);
- Marc Plourde (assistant);
- Rémi Verschelden (chef d'équipe).

Tous les échantillons de roche ont été dosés au moins pour l'or et le cuivre, et suivant les demandes formulées par les chefs d'équipe, pour un ou plusieurs des éléments suivants: Ag, Cr, Ni, Pb, Pd, Pt, Zn. Le Tableau 1 donne tous les renseignements nécessaires à propos du dosage de chacun de ces éléments. Tous les dosages ont été effectués dans les laboratoires de Chimitec Ltée, à Québec.

ELEMENT	PRISE FINALE	(P) PRECONCENTRATION (X) EXTRACTION	INSTRUMENT DE MESURE **	LIMITE DE DETECTION
Ag	5-10g	X. multi-acide	SAA	.1 ppm
Au	20g	P. par fusion	SEAP	1 ppb
Cr	5-10g	X. multi-acide	SAA	2 ppm
Cu*	5-10g	X. multi-acide	SAA	1 ppm
Cu*	5-10g	X. eau régale	SAA	1 ppm
Ni	5-10g	X. multi-acide	SAA	2 ppm
Pb	5-10g	X. multi-acide	SAA	2 ppm
Pd	20g	P. par fusion	SEAP	1 ppb
Pt	20g	P. par fusion	SEAP	10 ppb
Zn	5-10g	X. multi-acide	SAA	1 ppm

\* Le cuivre a d'abord été dosé après une extraction multi-acide (HF-HClO<sub>4</sub>-HNO<sub>3</sub>-HCl) pour une partie des échantillons seulement. Par la suite, le cuivre a été dosé après une extraction à l'eau régale (HCl-HNO<sub>3</sub> 1:3) pour tous les échantillons. Les résultats obtenus par l'une ou l'autre de ces deux extractions sont très comparables (Figure 2).

\*\* SAA: Spectrométrie d'Absorption Atomique  
SEAP: Spectrométrie d'Emission Atomique au Plasma

Tableau 1. Paramètres de dosage

#### CONTEXTE GEOLOGIQUE REGIONAL

La région d'intérêt se trouve dans la province structurale du Supérieur, plus particulièrement dans sa partie médio-orientale, provisoirement désignée sous-province volcano-plutonique La Grande Rivière par Card et Ciesielski (1986; Figure 3). Cette sous-province est constituée de batholites granito-gneissiques et d'un agrégat de ceintures métavol-

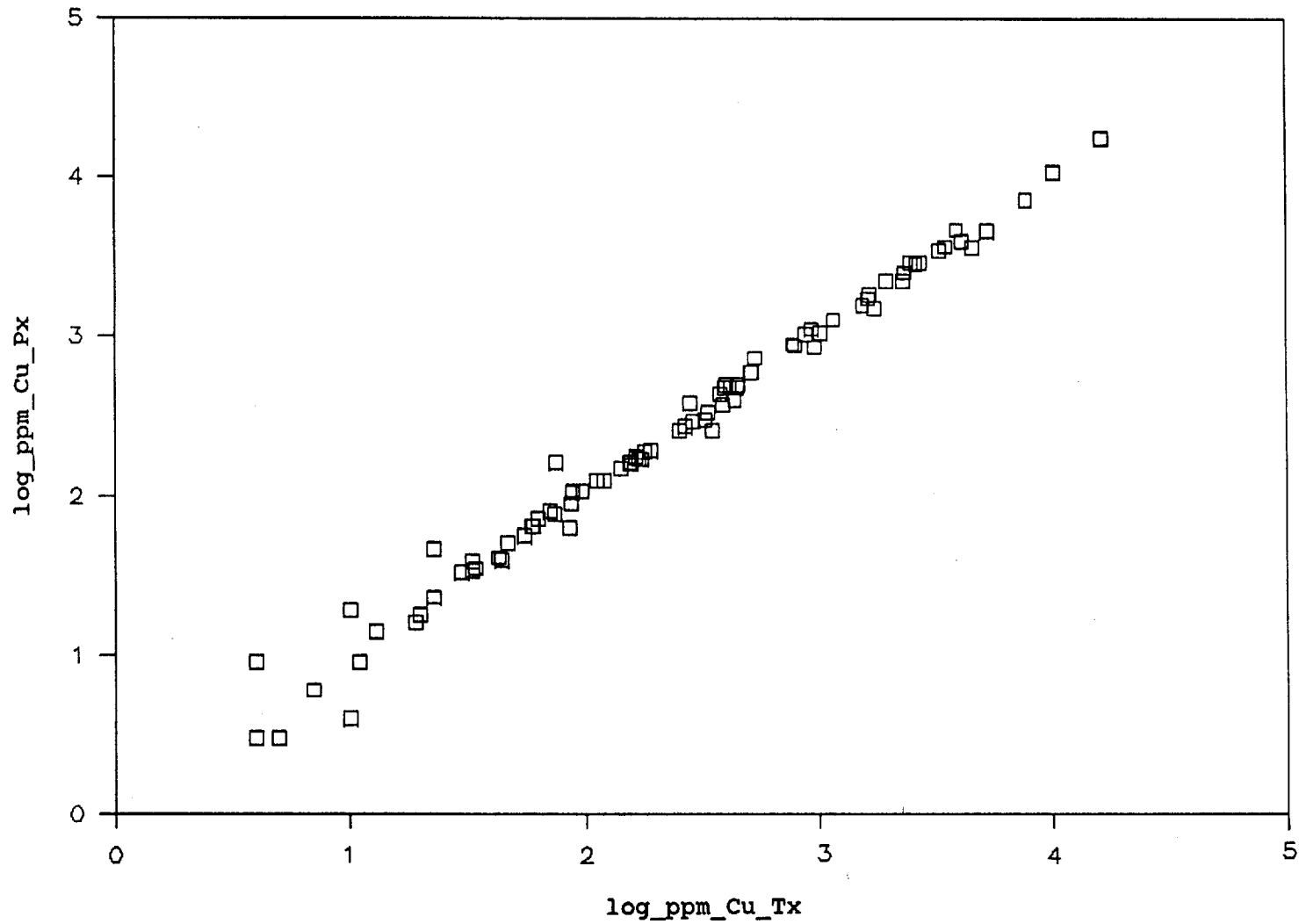


Figure 2. Diagramme de variation entre  $\log\_ppm\_Cu\_Tx$  (extraction multi-acide) et  $\log\_ppm\_Cu\_Px$  (extraction à l'eau régale)

caniques discontinues s'étirant le long de la Rivière La Grande (Figure 4). La plupart de ces ceintures métavolcaniques ont une orientation, soit ENE-OSO, soit ONO-ESE, soit NE-SO.

La propriété Radisson inclut presque complètement la ceinture métavolcanique du Lac Yasinski, de forme losangique et de dimensions décakilométriques. Cette ceinture métavolcanique est essentiellement constituée d'amphibolite, vraisemblablement d'âge archéen (Figure 5).

Le socle granito-gneissique entoure la totalité de la ceinture métavolcanique du Lac Yasinski, et perce à travers dans sa moitié Sud. Il est généralement constitué de granodiorite, le quartz étant généralement peu abondant. Les phases ferromagnésiennes caractéristiques varient d'un endroit à l'autre: hornblende, épidote, chlorite, biotite. La granodiorite est généralement foliée au voisinage de la couverture métavolcanique. On note une certaine corrélation entre la présence des phases ferromagnésiennes en feuillets (chlorite, biotite) et la présence d'une foliation plus ou moins marquée.

La couverture métavolcanique est constituée de roches volcaniques métamorphisées au faciès amphibolite. Localement, des laves coussinées ont été vues. Des formations de fer (faciès oxyde), sont présentes à l'intérieur de la séquence volcanique; leur étendue est très variable (quelques centaines de mètres à plusieurs kilomètres). À l'examen des cartes d'anomalies magnétiques et électromagnétiques, on distingue 8 domaines distincts à l'intérieur de la ceinture métavolcanique du Lac Yasinski: (Figure 6)

- la sous-ceinture métavolcanique du Lac Miakadow et la sous-ceinture métavolcanique du Lac Wapistan, se fondant avec la bordure Sud, toutes en continuité avec la bordure Est; cet ensemble est caractérisé par d'importantes variations d'amplitude des anomalies aéromagnétiques et de très nombreuses anomalies électromagnétiques;
- les bordures Ouest et Nord, en continuité l'une de l'autre; cet ensemble est aussi caractérisé par d'importantes variations d'amplitude des anomalies aéromagnétiques mais ne recèle que très peu d'anomalies électromagnétiques en comparaison;
- le centre avec un rentrant pour le pointement occidental de la bordure Est; le premier de ces deux domaines est caractérisé par la quasi-absence de relief magnétique et d'anomalies électromagnétiques, tandis que le second présente des caractéristiques semblables aux bordures Ouest et Nord mais montre néanmoins une continuité évidente avec la bordure Est.

Des échantillons de roches métavolcaniques provenant vraisemblablement des bordures Nord et Ouest ont été prélevés pour fins d'analyse pétrochimique par St.-Seymour et al. (1988). Les données recueillies indiquent que ces roches métavolcaniques sont des basaltes d'affinité tholéitique.

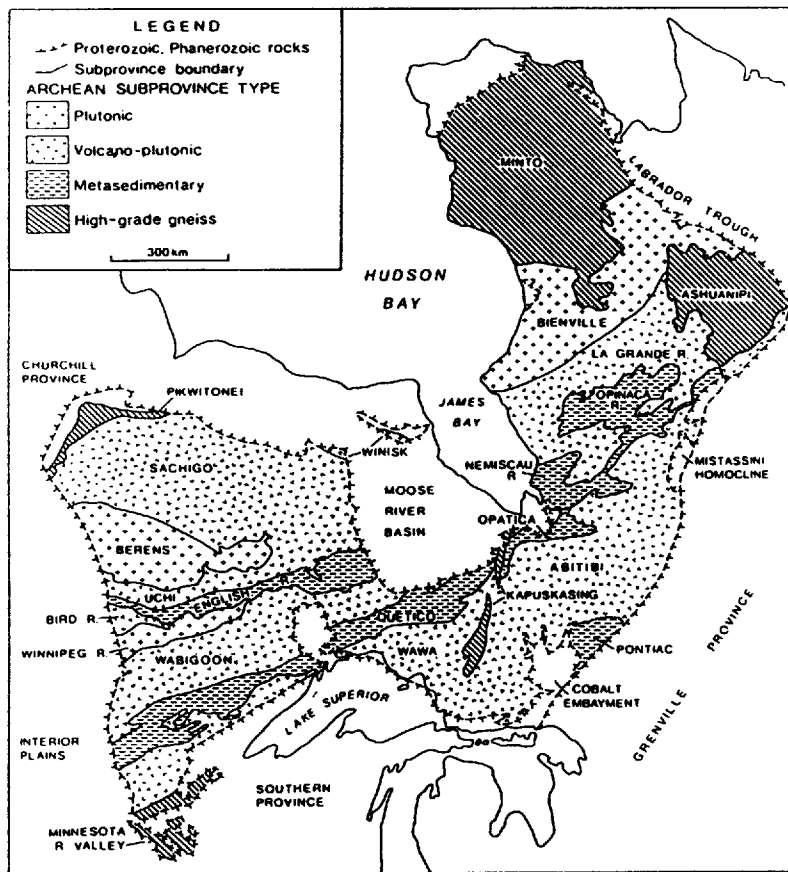


Figure 3. Découpage proposé de la province structurale du Supérieur (Figure 6 de Card et Ciesielski (1986))

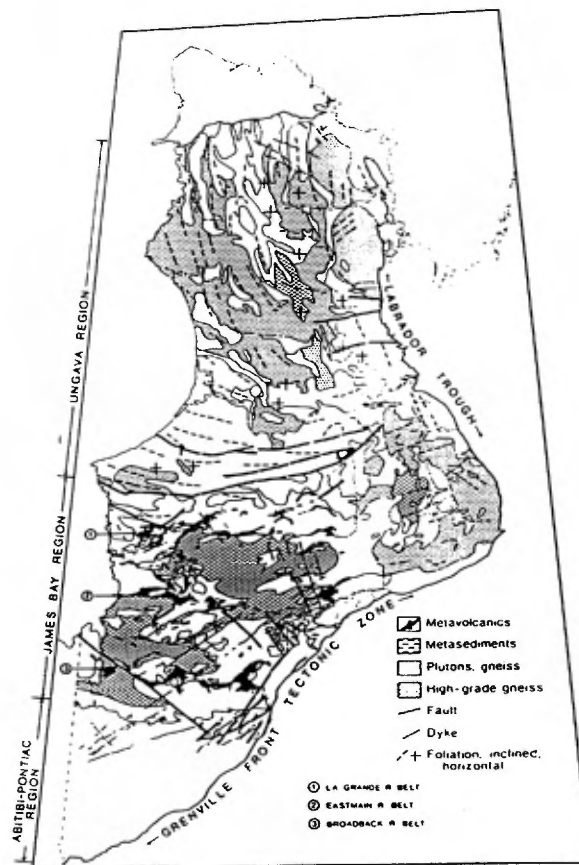


Figure 4. Environnement géologique de la province structurale du Supérieur dans les régions de la Baie James et de l'Ungava, Québec (Figure 8 de Card et Ciesielski (1986))

# Microfilm

**PAGE DE DIMENSION HORS STANDARD**

**MICROFILMÉE SUR 35 MM ET  
POSITIONNÉE À LA SUITE DES  
PRÉSENTES PAGES STANDARDS**

# Numérique

**PAGE DE DIMENSION HORS STANDARD**

**NUMÉRISÉE ET POSITIONNÉE À LA  
SUITE DES PRÉSENTES PAGES STANDARDS**

---

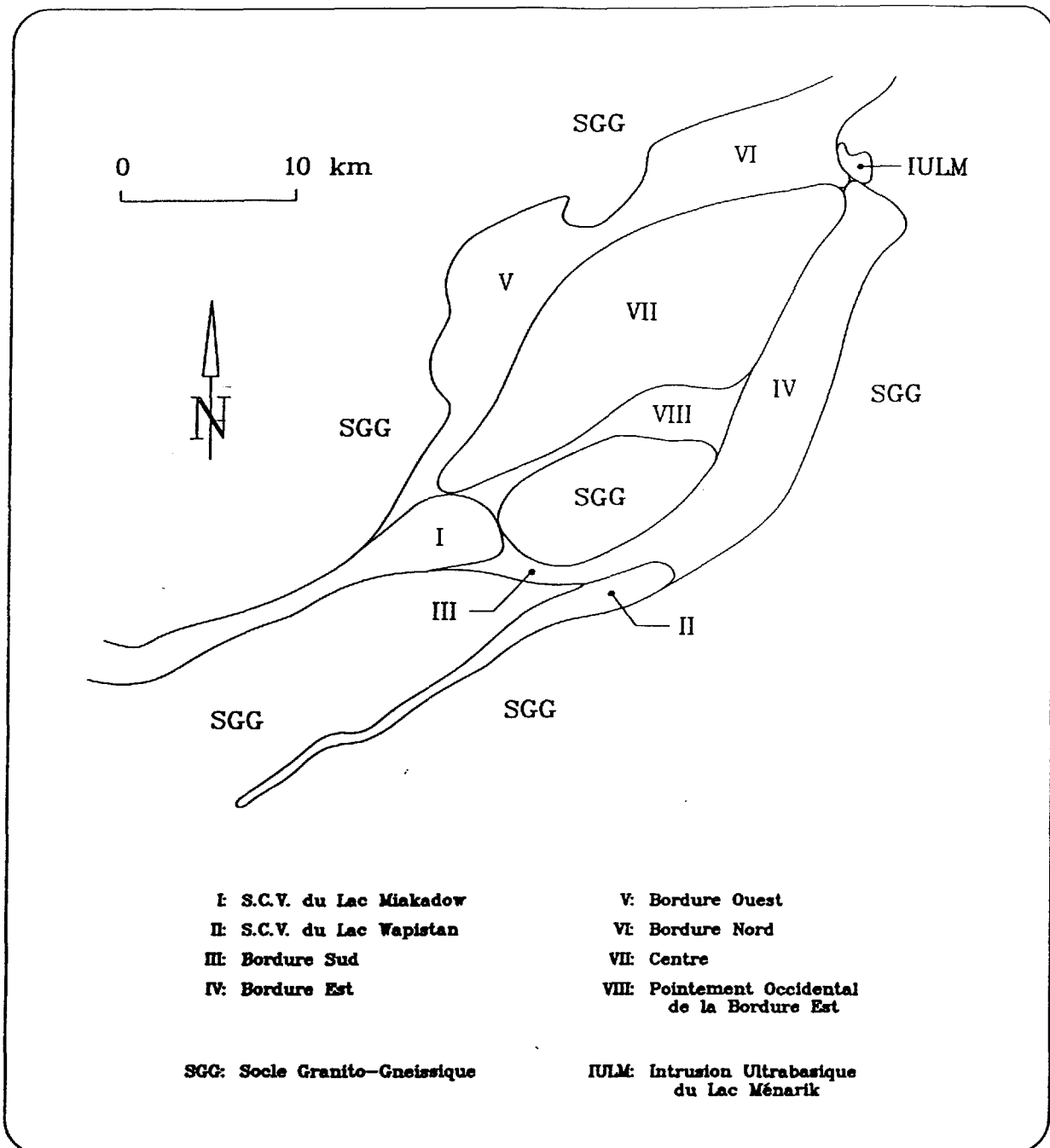


Figure 6. Subdivisions de la ceinture métavolcanique du Lac Yasinski

Une intrusion ultramafique (celle du Lac Ménarik) recoupe le socle granito-gneissique (\*) à l'extrémité Nord-Est de la ceinture métavolcanique du Lac Yasinski. Des sills ultramafiques, probablement apparentés, sont aussi présents le long de la bordure Est, dans la couverture métavolcanique à proximité du socle granito-gneissique. Tous ces intrusifs ultramafiques sont généralement peu déformés, quoique complètement serpentinisés.

Des dykes de gabbro montrant à la fois des relations intrusives et des relations de continuité avec les roches métavolcaniques ont été vus localement. Des observations semblables ont aussi été faites par Sharma (1977) et St.-Seymour et al. (1988). De toute évidence, ces dykes de gabbro seraient reliés à la présence d'un centre volcanique.

Finalement, des dykes de diabase tardifs, recoupant tous les lithotypes mentionnés précédemment, sont aussi présents un peu partout, autant à l'intérieur qu'à l'extérieur de la ceinture métavolcanique du Lac Yasinski.

#### CONTEXTE GEOLOGIQUE LOCAL

Trois secteurs particuliers de la ceinture métavolcanique du Lac Yasinski ont été examinés en détail. Ils sont tous situés le long des bordures Sud et Est ainsi que le long de la sous-ceinture métavolcanique du Lac Miakadow, toutes caractérisées par d'importantes variations d'amplitude des anomalies magnétiques et de très nombreuses anomalies électromagnétiques. Plus particulièrement, ils se situent au voisinage des Lacs Miakadow, Ultra et Kaychikwapichu (Figure 7). Afin d'éviter des redites inutiles, les observations communes aux trois secteurs susmentionnés sont décrites ci-après, tandis que celles qui sont spécifiques à chacun sont décrites plus loin.

Le socle granito-gneissique a été peu examiné. A la description générale donnée précédemment, il suffit d'ajouter que le contact entre le socle granito-gneissique et la couverture métavolcanique a rarement été observé, étant généralement masqué par le recouvrement glaciaire.

La couverture métavolcanique est généralement constituée de roches volcaniques métamorphisées au faciès amphibolite, ci-après désignées am-

---

(\*) Le lecteur aura certainement remarqué que les roches métasédimentaires (sic) décrites par Sharma (1977) ont été pour la plupart assimilées au socle granito-gneissique. Suite aux travaux de terrain effectués durant l'été, il a été noté que le contact figuré sur la carte géologique de Sharma (1977) entre les roches métasédimentaires (sic) et les roches métavolcaniques est en réalité un contact entre le socle granito-gneissique et la couverture métavolcanique.

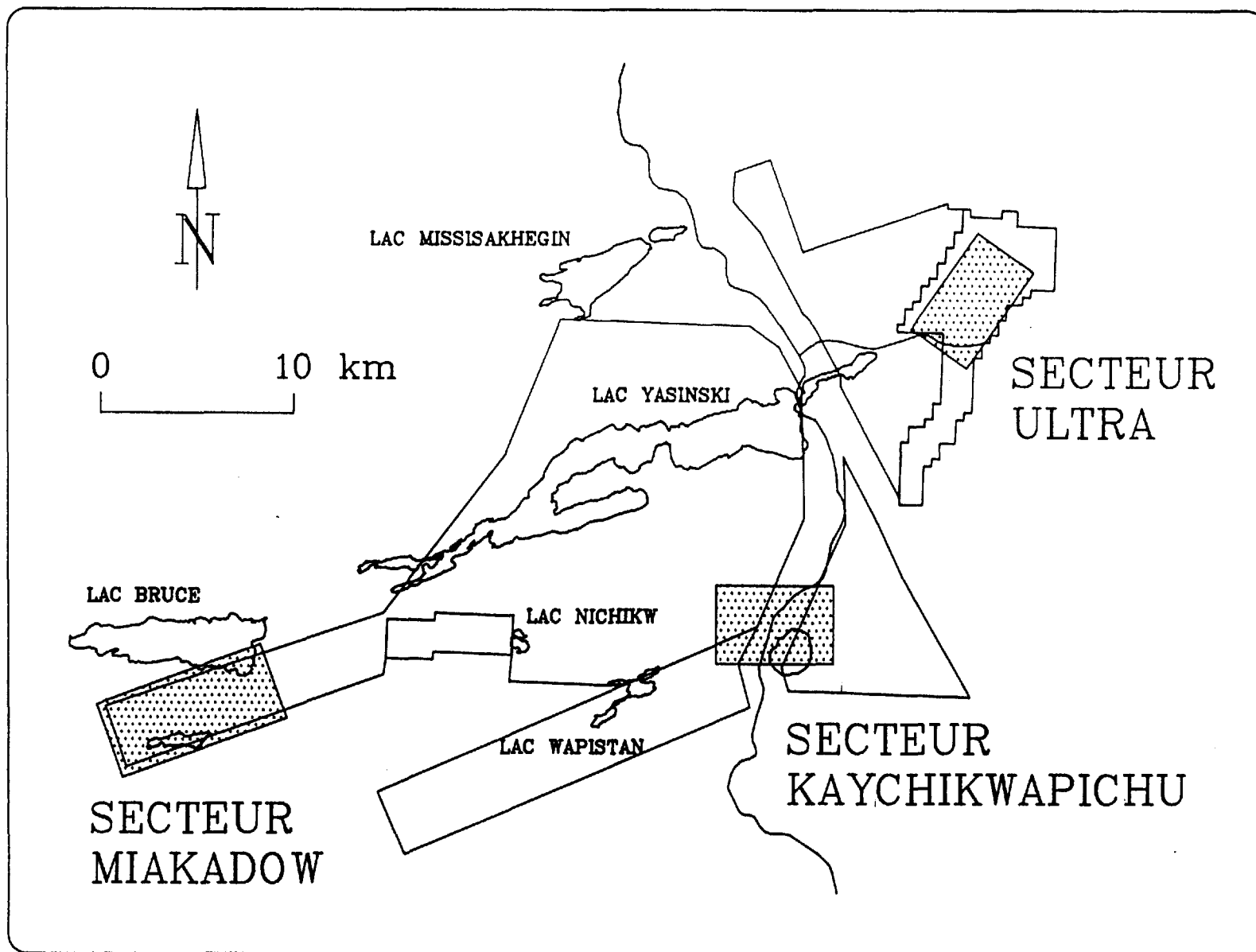


Figure 7. Carte de localisation des secteurs prospectés

phibolites. Ces amphibolites ont été variablement déformées et altérées, essentiellement le long de zones de cisaillement. Ailleurs, elles ont conservé leur aspect d'origine. Ce sont surtout les amphibolites cisailées qui ont été examinées.

Malgré l'absence de contacts tranchés entre les divers types d'amphibolite cisailée, il a été possible de reconnaître des états d'altération et de déformation suffisamment différenciés pour les fins de la prospection géologique; ainsi on distingue:

- l'amphibolite lambda, caractérisée par l'absence de toute foliation et un assemblage minéralogique simple: hornblende et plagioclase;
- l'amphibolite foliée, présentant évidemment un débit planaire cohérent, variant entre un clivage de fracturation et une schistosité bien développée; la hornblende est alors progressivement remplacée par l'actinote, qu'on aura éventuellement pu confondre avec le débit prismatique de la hornblende; la biotite néoformée devient de plus en plus abondante et définit une foliation de plus en plus marquée; finalement, le quartz apparaît, parfois porphyroblastique et bleuté;
- l'amphibolite mylonitisée, variablement foliée, où broyage et recristallisation indiquent un milieu dynamique plutôt que statique comme précédemment; la hornblende est la phase la plus instable et tend à disparaître complètement, tandis que la fraction quartzofeldspathique domine nettement; l'absence ou la présence de foliation tient surtout au fait que la biotite, toujours présente, soit orientée ou non: lorsque celle-ci ne présente pas d'orientation préférentielle, elle est généralement uniformément dispersée et en position intergranulaire, tandis que dans le cas contraire, elle est généralement agrégée en lambeaux fusiformes ou en feuillets monominéraliques.

Le paroxysme de la déformation est représenté par les mylonites, généralement bien foliées, quoique pas toujours de façon évidente, et caractérisées par un assemblage minéralogique simple: quartz, feldspath et mica (muscovite, biotite et/ou fuchsite).

Deux espèces minérales particulières, le grenat et la chlorite, n'ont pas de relation claire avec un quelconque des types d'amphibolite cisailée susdécrits ou avec les mylonites, sauf avec l'amphibolite lambda qui en est généralement dépourvue. Ainsi, la chlorite peut être présente dans tous les types d'amphibolite cisailée et les mylonites, sans égard à la présence ou à la quantité de biotite, tandis que le grenat est généralement présent dans les amphibolites cisailées à proximité des mylonites.

Deux autres lithotypes d'intérêt sont plus ou moins associés aux mylonites: des formations de fer (faciès oxyde) et des sills de péridotite serpentinisée. Ce sont essentiellement ces deux lithotypes qui causent les crêtes observées sur les cartes d'anomalies aéromagnétiques, les creux magnétiques plus ou moins voisins étant surtout causés par des mylonites. Malgré leur proximité des zones de cisaillement, les formations de fer et les sills de serpentinite ne sont pas toujours très dé-

formés. Dans le cas des formations de fer, leur viscosité relativement élevée peut expliquer en bonne partie leur apparente jeunesse quoiqu'un examen attentif révèle de nombreuses générations de plis parasites de longueur d'onde centimétrique à submétrique. Dans le cas des sills de serpentinite, fonction du lieu d'observation, ils sont, soit à peine fracturés, la chrysotile constituant alors le matériel de remplissage le plus abondant, soit complètement silicifiés. Il est actuellement difficile de déterminer si les sills de serpentinite plus ou moins déformés et/ou plus ou moins altérés appartiennent à des époques différentes ou résultent d'événements locaux suite à leur mise en place simultanée.

Finalement, tous les conducteurs électromagnétiques repérés sur le terrain à l'aide des tapis-prospecteurs (Beep Mat), et correspondant à autant d'anomalies électromagnétiques du levé hélicopté, sont dus à des zones silicifiées et sulfurées, généralement au voisinage ou à l'intérieur des mylonites. De tels conducteurs électromagnétiques ont aussi été notés au sein d'amphibolites lambda mais leur importance est beaucoup moindre, en termes de développement ou d'étendue, et aucun de ceux-ci n'a été signalé lors du levé hélicopté. Dans tous les cas, une surface rouillée caractéristique indiquait la présence du conducteur électromagnétique recherché. Incidemment, la pyrrhotine et la pyrite sont les deux espèces sulfurées les plus abondantes de ces conducteurs électromagnétiques.

LITHOTYPE	≤2	>2 ≤5	>5 ≤10	>10 ≤20	>20 ≤50	>50 ≤100	>100 ≤200	>200 ≤500	>500 ≤1000	>1000	n
	amphibolite	36.7	15.8	13.8	11.1	7.7	5.6	4.0	3.4	0.8	
veine de quartz	64.6	14.1	6.1	4.1	5.4	1.3	1.5	2.3	0.3	0.3	391
amphibolite mylonitisée	43.0	21.2	12.6	7.9	5.3	4.0	3.3	1.3	0.7	0.7	151
mylonite	51.1	15.7	8.7	10.2	7.9	2.4	1.6	0.8	0.8	0.8	127
socle granito-gneissique	80.0	14.0	4.0	2.0	---	---	---	---	---	---	50
gabbro	54.8	19.5	6.4	3.2	12.9	3.2	---	---	---	---	31
formation de fer	41.2	17.6	5.9	17.6	11.8	---	---	5.9	---	---	17
serpentinite	58.8	29.4	5.9	---	---	5.9	---	---	---	---	17

Tableau 2. Fréquences relatives des teneurs en or exprimées en ppb, par classes de valeurs, pour différents lithotypes, groupés selon la quantité d'échantillons prélevés (n)

A l'examen du Tableau 2, qui présente la distribution, par classes de valeurs, des teneurs en or dans différents lithotypes regroupés suivant la quantité d'échantillons prélevés, on note que:

- les veines de quartz ne constituent par un milieu privilégié pour l'accumulation de l'or, comparativement aux amphibolites lambda;

- l'or mobilisé se fixe plus facilement au sein des amphibolites les moins déformées et les moins altérées, si on compare les amphibolites lambda avec les amphibolites mylonitisées et les mylonites;
- paradoxalement, les sills de serpentinite et les formations de fer plus ou moins associés aux mylonites et généralement peu déformés et peu altérés, donc comparables dans une certaine mesure avec les amphibolites lambda, ne favorisent guère les accumulations-or.

Ces observations statistiques, comparables aux observations générales faites sur le terrain, doivent cependant être nuancées, compte tenu des particularités de chaque secteur.

Finalement, il n'existe aucune corrélation entre les teneurs en or et les teneurs en cuivre pour l'ensemble des échantillons prélevés au cours de l'été (Figure 8).

#### LAC MIAKADOW (Plan 2)

Le secteur du Lac Miakadow se situe à l'extrémité Ouest de la sous-ceinture métavolcanique du Lac Miakadow, là où elle s'incurve vers le Nord-Ouest.

Le socle granito-gneissique est beaucoup moins folié au Nord qu'au Sud de la sous-ceinture métavolcanique. Des intrusions pegmatitiques tardives, visibles surtout dans cette partie du socle granito-gneissique affleurant au Sud-Ouest du Lac Miakadow, recoupent aussi la couverture métavolcanique à l'Ouest de la faille orientée pratiquement Nord-Sud et tronquant les deux unités de mylonite présentes dans le secteur. Ces intrusions pegmatitiques, le plus souvent plus ou moins colorées en bleu à cause du chrome présent dans la microcline (Pierre Lacoste, CRM, comm. pers.), expliquent pourquoi on trouve une anomalie radiométrique à cet endroit particulier (GM-33516).

La couverture métavolcanique d'une largeur variant entre 1.5 et 3 km, peut être divisée en cinq domaines; ainsi, du Sud vers le Nord, on trouve:

- une zone de déformation, ci-après désignée zone de déformation Sud, caractérisée par la présence de mylonite à biotite, avec quelques enclaves d'amphibolite biotitisée et grenatifère et, localement, de nombreux fragments de veines de quartz donnant à la mylonite l'allure d'un banc de conglomérat à cailloux de quartz;
- une bande d'amphibolite lambda, ci-après désignée bande d'amphibolite mitoyenne, affleurante sur pratiquement toute sa largeur et toute sa longueur et haute de plusieurs dizaines de mètres par rapport aux alentours;
- une autre zone de déformation, ci-après désignée zone de déformation Nord, caractérisée aussi par la présence de mylonite à biotite et généralement masquée par le recouvrement glaciaire;

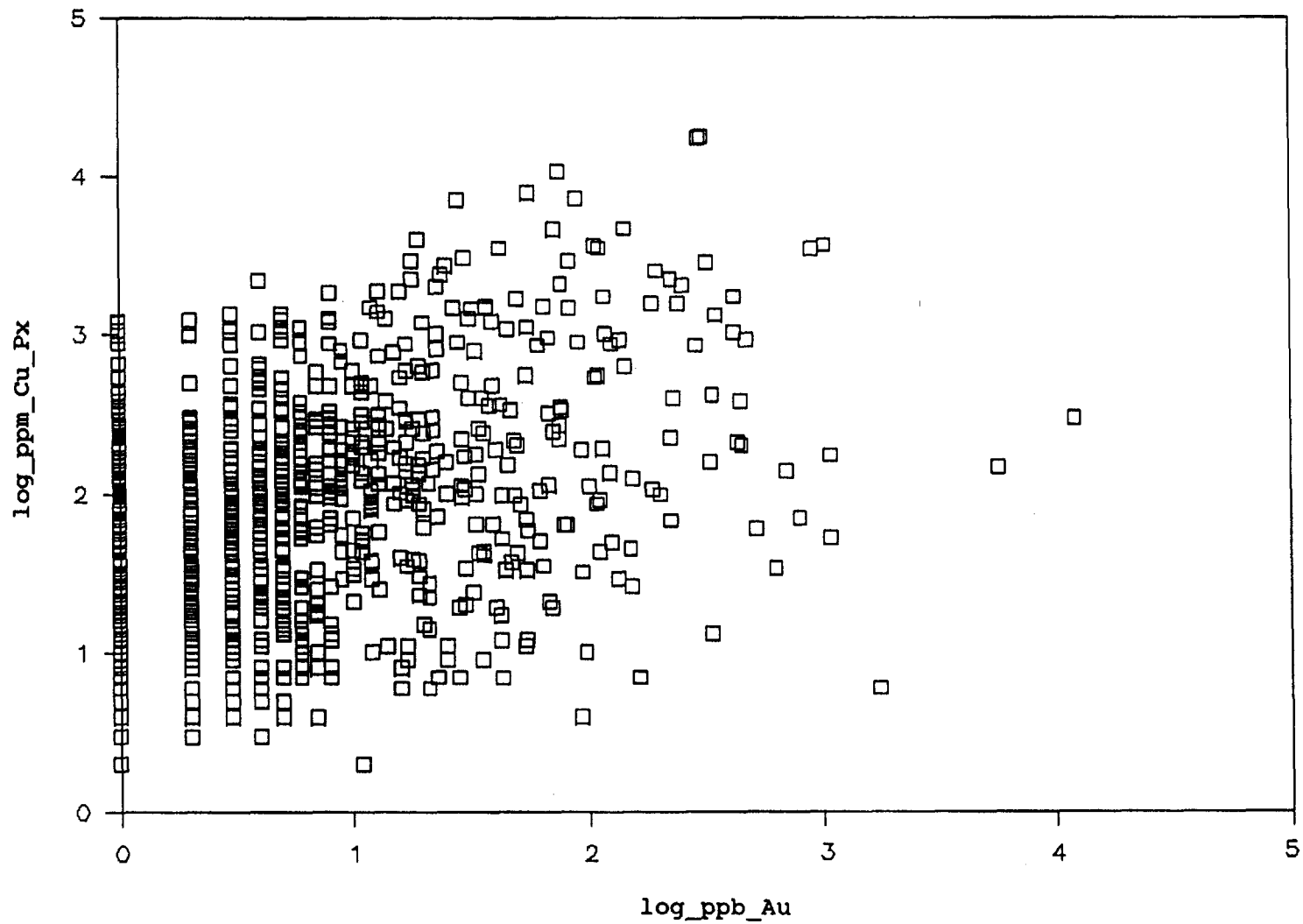


Figure 8. Diagramme de variation entre log\_ppb\_Au et log\_ppm\_Cu\_Px (extraction à l'eau régale)

- une large étendue d'amphibolite variablement déformée et biotitisée, incluant vraisemblablement plusieurs zones de déformation d'importance secondaire et caractérisées par autant de bandes de mylonite;
- une formation de fer (faciès oxyde) à l'intérieur d'une bande de mylonite, elle-même à l'intérieur du domaine précédent et située à peu près en son centre, l'ensemble étant ci-après désignée zone de déformation centrale; cette formation de fer est continue sur plus de 2 km et probablement boudinée vers l'Ouest.

Chacune des zones de déformation susdécrites est typiquement associée avec une série d'anomalie électromagnétiques coïncidant avec des hauts magnétiques, tandis que les amphibolites variablement déformées et biotitisées se trouvant entre les zones de déformation Nord et centrale recèlent plusieurs axes conducteurs coïncidant avec des bas magnétiques et liés à autant de zones silicifiées et sulfurées.

La distribution et l'extension des axes conducteurs coïncidant avec des hauts magnétiques et associés aux zones de déformation Sud et Nord (M1 et M2, respectivement) n'est pas aléatoire. En effet, ces axes conducteurs correspondent à des segments particuliers des zones de déformation Sud et Nord, nommément ceux situés entre des structures sécantes d'orientation ONO-ESE, dont l'existence peut être inférée à partir de mesures de foliation anormales, c'est-à-dire orientée ONO-ESE plutôt que ENE-OSO (direction de la foliation régionale), et qui apparaissent sur les cartes d'anomalies aéromagnétiques disponibles. Incidemment, on peut aussi expliquer la présence de l'axe conducteur situé dans l'extension Ouest de la formation de fer (M3) de la même façon.

Parmi toutes les anomalies-or relevées, plusieurs ont été retenues pour leur intérêt dans la recherche d'accumulations-or. Elles sont décrites ci-après. Aucune de celles-ci n'est soulignée par une quelconque anomalie-cuivre d'intérêt; par contre, des anomalies-argent sont localement présentes. Ainsi, de l'Ouest vers l'Est, on trouve:

- les anomalies 1A et 1B, associées aux contacts Nord et Sud, respectivement, de la zone de déformation Nord et sans relation directe avec une quelconque anomalie électromagnétique; plus particulièrement:
  - l'anomalie 1A (PC-192, -292, -367, -383 et -446; 31 à 118 ppbAu; jusqu'à 0.17 %Cu) se trouve dans une amphibolite variablement déformée, chloritisée, généralement sulfurée et localement grenatifère; quelques veines de quartz broyées avec chalcopyrite sont aussi présentes;
  - l'anomalie 1B (PC-85 à -87 et -154; 33 à 55 ppbAu) se trouve dans une amphibolite mylonitisée avec veinules de quartz et sulfures;
- les anomalies 2A et 2B, associées à des fractures subsidiaires liées à des structures tectoniques plus importantes et traversant la bande d'amphibolite mitoyenne; plus particulièrement:
  - l'anomalie 2A (PC-182, -190, -313 et -423; 43 à 455 ppbAu) se trouve dans une amphibolite foliée, chloritisée et biotitisée, généralement sulfurée et le plus souvent grenatifère; quelques vei-

- nules de quartz sont aussi présentes; cette anomalie-or est associée à une anomalie électromagnétique isolée et de faible intensité (moins de 5 Siemens);
- l'anomalie 2B (PC-170, -321, -323, -332 et -333; 30 à 79 ppbAu; jusqu'à 0.31 %Cu) se trouve dans une amphibolite foliée, biotitisée, généralement sulfurée, parfois chloritisée et grenatifère, et elle n'est pas associée avec une quelconque anomalie électromagnétique;
  - l'anomalie 3 (DC-60 et -61, et PC-140; 36 à 127 ppbAu), associée au contact Nord de la zone de déformation Sud et qui se trouve dans une amphibolite foliée, biotitisée, grenatifère à proximité de la mylonite, avec veinules de quartz, pyrite et chalcopyrite, et adjacente à une mylonite à biotite friable, avec laminations de pyrite et veines de quartz fracturées; cette anomalie-or est aussi associée à une anomalie électromagnétique isolée et de faible intensité (5 à 10 Siemens), coïncidant avec un haut magnétique;
  - l'anomalie 4 (PC-414 et -415; 64 et 228 ppbAu), qui se trouve dans une amphibolite mylonitisée, chloritisée, pyritisée, recoupée par des veines de quartz broyées et pyritifères, et qui est vraisemblablement associée à une série d'anomalies électromagnétiques d'intensité variable (jusqu'à 100 Siemens) coïncidant avec un flanc magnétique; il est actuellement difficile de démontrer si l'amphibolite mylonitisée échantillonnée représente un xénolite dans le socle granito-gneissique ou fait partie d'une bande d'amphibolite distincte, incluse dans le socle granito-gneissique, et qui s'étendrait vraisemblablement sous le Lac Miakadow et au-delà vers l'Est, toujours masquée, soit par des marécages, soit par des lacs, et signalée par un axe conducteur plus ou moins continu et d'origine douteuse;
  - les anomalies 5A et 5B, associées à la zone de déformation centrale; plus particulièrement:
    - l'anomalie 5A (PC-121 et 123; 134 et 153 ppbAu) se trouve dans une amphibolite mylonitisée, envahie de veines de quartz, pyritisée et associée de près à de nombreuses anomalies électromagnétiques (M3) le plus souvent de forte intensité (jusqu'à 200 Siemens), coïncidant avec un haut magnétique, probablement un morceau de formation de fer;
    - l'anomalie 5B (PC-72, -74 et -75; 338 à 1760 ppbAu) se trouve dans une amphibolite foliée, chloritisée, recoupée par des veinules de quartz, avec pyrite et chalcopyrite, et associée à plusieurs anomalies électromagnétiques d'intensité variable mais généralement faible (moins de 20 Siemens), coïncidant avec un haut magnétique matérialisé par la formation de fer adjacente;
  - l'anomalie 6 (PC-167; 337 ppbAu), associée à une enclave d'amphibolite foliée, grenatifère, recoupée par des veinules de quartz, avec pyrite et chalcopyrite, se trouvant au sein de la zone de déformation Sud, et aussi associée de près à de nombreuses anomalies électromagnétiques (M1) le plus souvent de forte intensité (jusqu'à 100 Siemens), coïncidant avec un haut magnétique ou ses flancs;
  - l'anomalie 7 (PC-165 et -166; 43 et 154 ppbAu), associée directement à la zone de déformation Nord puisque se trouvant dans une mylonite à

- chlorite et épidote, recoupée par des veines de quartz fracturées et plissotées, avec un peu de pyrite, et aucunement associée avec une quelconque anomalie électromagnétique;
- l'anomalie 8 (PC-100 à -103, -126 et -128; 30 à 523 ppbAu; 9 gAg/t), associée au contact Nord de la zone de déformation Nord et se trouvant préférentiellement dans des veines de quartz concordantes et plus ou moins riches en pyrite, chalcopyrite et galène, au sein d'amphibolites mylonitisées et chloritisées; cette anomalie-or est localement associée à une série d'anomalies électromagnétiques d'intensité variable mais généralement faible (jusqu'à 20 Siemens), sans coïncidence particulière avec des anomalies magnétiques;
  - les anomalies 9A et 9B, associées à des veines de quartz discordantes recoupant pratiquement toute la largeur de la bande d'amphibolite mi-troyenne et sans relation directe avec une quelconque anomalie électromagnétique; plus particulièrement:
    - l'anomalie 9A (PC-40 et -84; 68 et 119 ppbAu) se trouve au sein d'amphibolites chloritisées dont quelques fragments se trouvent dans la veine de quartz d'intérêt; cette dernière contient aussi de la pyrite et de la chalcopyrite;
    - l'anomalie 9B (PC-4 et -8; jusqu'à 28 ppbAu, 0.7 %Cu et 36.5 gAg/t), quoique liée à une veine de quartz identique à la précédente, se présente comme une anomalie-argent et -cuivre plutôt que comme une anomalie-or.

Chacune de ces anomalies-or ne présente pas le même intérêt; ainsi, les anomalies 1A, 1B, 7 et 8, associées à la zone de déformation Nord, montrent le potentiel aurifère de cette dernière et les types d'accumulation-or qui pourraient s'y trouver. Il en est probablement de même aussi pour les anomalies 5A et 5B en ce qui a trait à la zone de déformation centrale, et pour les anomalies 3 et 6 en ce qui a trait à la zone de déformation Sud. Quant aux anomalies 2A, 2B, 9A et 9B, elles signalent au mieux une mobilisation plus ou moins tardive de l'or.

Finalement, ces anomalies-or appartiendraient vraisemblablement à trois époques différentes, suivant leur relation avec les structures tectoniques reconnues; ainsi:

- les plus tardives (1A, 1B, 2A, 9A et 9B, et peut-être 7 et 8) seraient liées à un mouvement sénestre tardif le long de la zone de déformation Nord;
- d'autres plus précoces (2B et 6) seraient liées à un mouvement dextre le long de structures sécantes, orientées ONO-ESE;
- les plus vieilles (3, 4, 5A et 5B, et peut-être 7 et 8) seraient liées à un mouvement dextre initial le long des zones de déformation Nord, Sud et centrale.

## LAC ULTRA (Plan 3)

Le secteur du Lac Ultra se situe à l'extrémité Nord de la bordure Est de la ceinture métavolcanique du Lac Yasinski, immédiatement au Sud d'où elle commence à se pincer et à s'incurver vers l'Est. Puisque la complexité structurale et la distribution inégale des aires affleurantes ne permettent pas d'effectuer des coupes complètes ou de déterminer avec précision le lieu des failles, ainsi que la grandeur des déplacements qui s'y sont produits, le Plan 3 doit être considéré comme provisoire.

Le socle granito-gneissique n'a pratiquement pas été observé, sauf dans le coin Nord-Est du secteur d'intérêt. A cet endroit, il est généralement bien folié.

La couverture métavolcanique, prospectée sur une largeur variant entre 500 m au Nord et 1.5 km au Sud, peut être divisée en 6 domaines, à partir des observations faites dans la moitié Sud du secteur d'intérêt. Ainsi, de l'Est vers l'Ouest, on trouve:

- une bande de serpentinite, ci-après désignée bande de serpentinite Est, peu ou pas déformée, sauf localement le long de ses bordures (schiste à talc), et vraisemblablement dérivée d'un sill de péridotite relativement tardif;
- une zone de déformation, ci-après désignée zone de déformation Est, caractérisée par la présence de mylonite à muscovite ayant l'allure trompeuse d'un banc de quartzite et bordée de chaque côté par des amphibolites cisailées, généralement sulfurées, fréquemment recoupées par des veines de quartz et localement chloritisées, sur des largeurs variables mais le plus souvent métriques;
- une bande d'amphibolite lambda, incluant probablement plusieurs zones de déformation d'importance secondaire et caractérisées par autant de bandes de mylonite, mais généralement masquées par le recouvrement glaciaire;
- une bande de serpentinite, ci-après désignée bande de serpentinite Ouest, pratiquement identique à la bande de serpentinite Est;
- une zone de déformation, ci-après désignée zone de déformation Ouest, caractérisée par la présence de mylonite à biotite-fuchsité et bordée de chaque côté par des amphibolites cisailées, souvent recristallisées, généralement sulfurées et fréquemment recoupées par des veines de quartz, sur des largeurs variables mais le plus souvent plurimétriques;
- une large étendue d'amphibolite lambda, incluant plusieurs zones de déformation d'importance variable et caractérisées par autant de bandes de mylonite; ce domaine n'a pas véritablement été prospecté mais quelques incursions ont permis d'observer la présence de bandes de mylonite au moins aussi importantes dans leur développement que celle constituant la zone de déformation Ouest.

Seule la zone de déformation Ouest est associée à une série d'anomalies électromagnétiques (U1), coïncidant localement avec des hauts ma-

gnétiques dus à des formations de fer (faciès oxyde) peu puissantes et de longueur hectométrique. Les autres axes conducteurs visibles sur le Plan 3 et généralement situés à l'Ouest de la zone de déformation Ouest sont associés à d'autres zones de déformation, notamment celles susmentionnées. Trois signatures géophysiques bien différenciées permettent de grouper les zones de déformation connues; ainsi, on distingue:

- les zones de déformation sans expression magnétique ou électromagnétique et typiquement représentées par la zone de déformation Est; ces zones de déformation sont évidemment les plus difficiles à appréhender;
- les zones de déformation jalonnées d'anomalies électromagnétiques associées, soit à des hauts magnétiques, soit à des creux magnétiques, et typiquement représentées par la zone de déformation Ouest et une autre environ 1 km à l'Ouest (U1 et U2, respectivement);
- les zones de déformation jalonnées d'anomalies électromagnétiques associées à des flancs d'anomalies magnétiques et situées entre les axes conducteurs U1 et U2 (U3 et U4).

Ces différentes zones de déformation partagent vraisemblablement d'autres caractéristiques communes mais le manque d'information à propos des zones de déformation liées aux axes conducteurs U2 à U4 ne permet pas d'élaborer davantage. Toutefois, un modèle structural basé autant sur les observations de terrain que sur les considérations précédentes pourrait se révéler utile pour la recherche d'accumulations-or.

D'abord, des zones de déformation sécantes ont été notées sur le terrain; elles sont généralement orientées ENE-OSO et transposent la foliation régionale dans le secteur d'intérêt (NNE-SSO) selon cette direction, notamment à l'intérieur de compartiments de largeur hectométrique. Le dernier mouvement le long de ces structures sécantes serait vraisemblablement sénestre. D'après l'interprétation structurale par photographie aérienne faisant l'objet de la section suivante, ces zones de déformation sécantes pourraient être l'extension vers l'Est de zones de déformation semblables à celles présentes dans le secteur du Lac Miakadaw et pour lesquelles un mouvement précoce dextre et un mouvement tardif sénestre ont pu être inféré.

Ensuite, des faisceaux de fractures sécantes ont été notés, particulièrement là où un décrochement important des anomalies aéromagnétiques peut-être noté sur la Figure 9. Ces faisceaux de fractures sont orientés NO-SE et des déplacements sénestres ont été observés fréquemment. Des relations de recoupement entre les zones de déformation sécantes orientées ENE-OSO et les faisceaux de fractures susdécrits montrent que ces derniers sont postérieurs.

Finalement, un examen attentif de la Figure 9 montre que les zones de déformation marquées par les axes conducteurs font partie d'un réseau anastomosé de zones de déformation; ainsi, une zone de cisaillement majeure (U1+2) se divise en deux (U1 et U2) et détermine une amygdale d'amphibolite lambda, recoupé par d'autres zones de cisaillement (U3 et

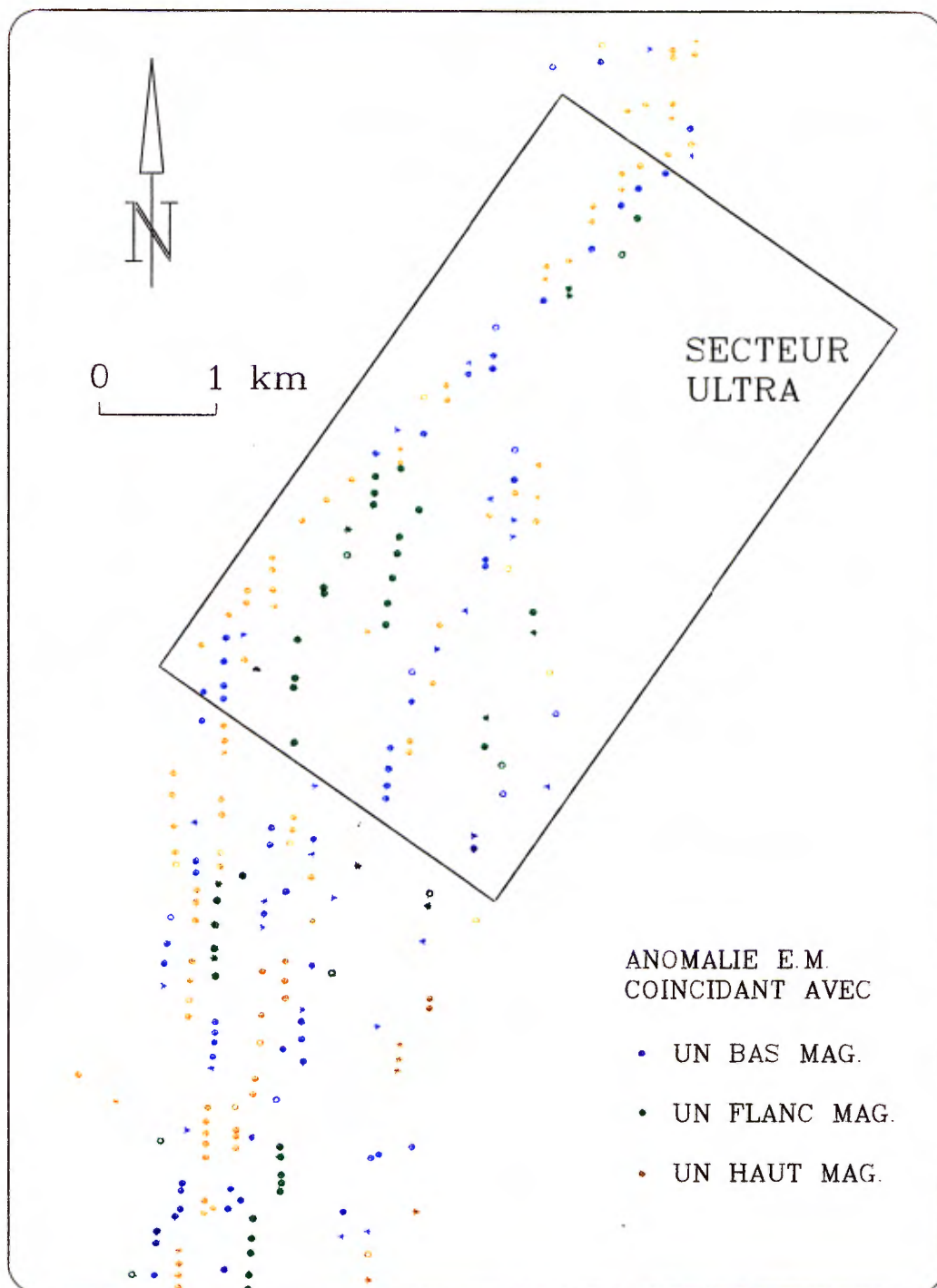


Figure 9. Distribution des anomalies électromagnétiques du levé aérien dans le secteur du Lac Ultra et son voisinage.

U4) faisant probablement office de relais entre les deux zones de cisaillement issues de la susdite zone de cisaillement majeure. Les relations angulaires entre ces différentes zones de cisaillement laissent croire à un mouvement sénestre général.

En tenant compte de la localisation et des mouvements observés ou présumés des différents marqueurs de la déformation, ainsi que de leurs relations chronologiques et spatiales, le modèle d'évolution tectonique suivant a été élaboré: (Figure 10)

- 1) création des zones de déformation Ouest et Est le long de la bordure Est de la ceinture métavolcanique du Lac Yasinski et introduction tardive de sills de péridotite, maintenant complètement serpentinitisée;
- 2) transposition locale de la foliation régionale, orientée NNE-SSO, à l'intérieur de corridors de déformation sécants, orientés ENE-OSO et à mouvement tangentiel dextre;
- 3) déplacement sénestre tardif le long de structures sécantes définissant les corridors de déformation susmentionnés;
- 4) déplacement sénestre le long de faisceaux de fractures orientés NO-SE, particulièrement là où on observe des décrochements d'anomalies aéromagnétiques importants (ces faisceaux de fractures n'apparaissent pas sur le Plan 3);
- 5) mouvement tangentiel sénestre le long de cette partie de la zone de déformation Ouest ne se butant pas sur le socle granito-gneissique et création concomitante de plusieurs zones de cisaillement-relais dont la plus méridionale détermine, avec l'extrémité Nord de cette partie de la zone de déformation Ouest se butant sur le socle granito-gneissique, une amygdale d'amphibolite lambda.

Ce modèle structural sera repris ultérieurement en tenant compte des anomalies-or relevées dans le secteur d'intérêt et retenues pour leur intérêt dans la recherche d'accumulations-or. Celles-ci sont décrites, ci-après, en même temps que plusieurs autres anomalies en métaux de base ou autres métaux précieux. Ainsi, du Sud vers le Nord, on trouve:

-les anomalies 1A, 1B et 1C, associées à la zone de déformation Ouest et à une zone de déformation sécante d'orientation ENE-OSO; plus particulièrement:

- l'anomalie 1A (RV-370; 56 ppbAu; 0.79 ‰Cu) se trouve dans un gabbro folié, chloritisé et sulfuré (pyrite et pyrrhotine);
- l'anomalie 1B (RV-379, -380, -382 et -383; 50 à 229 ppbAu; jusqu'à 0.23 ‰Cu, 0.32 ‰Zn et 1.2 gAg/t) se trouve dans des veines de quartz discordantes, fracturées et contenant des enclaves d'amphibolite variablement chloritisée et biotitisée, ainsi que de la chalcopryrite et de la pyrite;
- l'anomalie 1C (RV-371, -372, -375, -377, -387 et -388; jusqu'à 0.14 ‰Cu et 0.26 ‰Zn), en réalité un halo autour des deux anomalies précédentes, se trouve dans un gabbro folié, chloritisé, biotitisé et sulfuré (pyrrhotine et chalcopryrite), pratiquement identique à celui recelant l'anomalie 1A;

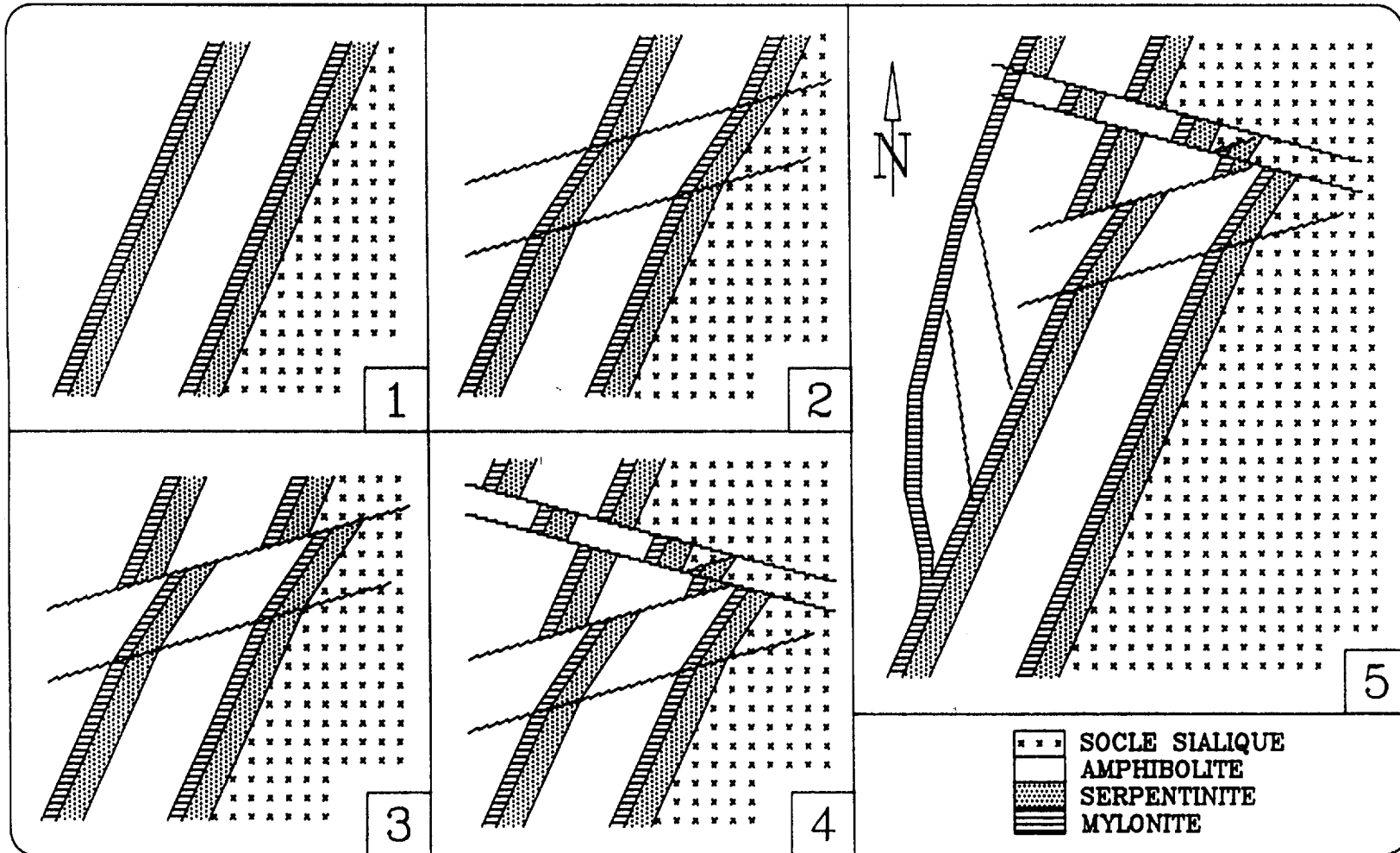


Figure 10. Modèle d'évolution tectonique pour le secteur du Lac Ultra

- l'anomalie 2 (RV-290, -291, -297 à -299, -367 et -368; jusqu'à 42 ppbAu, 0.35 %Cu, 0.29 %Ni, 191 ppb Pt et 973 ppb Pd), située le long de la bordure Ouest de la bande de serpentinite Ouest, plus particulièrement à l'intersection d'une zone de déformation sécante d'orientation ENE-OSO (la même que précédemment), et se trouvant dans un lithotype indéfini, constitué essentiellement de ce qui pourrait être de la trémolite avec de l'antigorite et de la chlorite, ainsi que de pyrrhotine et de chalcopyrite (les rapports Cr:Ni de ce lithotype sont identiques à ceux des sills de serpentinite et il est vraisemblable que ce lithotype soit un faciès altéré de la serpentinite);
- l'anomalie 3 (RV-284; 54 ppbAu; 0.12 %Ni), dans le même contexte litho-structural que précédemment et se trouvant dans une serpentinite talqueuse;
- les anomalies 4A et 4B, associées à la zone de déformation Est et à une zone de déformation sécante d'orientation ENE-OSO (la même que précédemment); plus particulièrement:
  - l'anomalie 4A (RV-248, -249, -254 et -255; 75 à 303 ppbAu; jusqu'à 0.76 %Cu) se trouve dans une mylonite à muscovite recoupée de veines de quartz discordantes et broyées, l'ensemble contenant de la chalcopyrite et de la pyrite;
  - l'anomalie 4B (RV-261, -262 et -270; 138 à 1030 ppbAu; jusqu'à 0.37 %Cu) se trouve dans une amphibolite recristallisée ou foliée au voisinage de la mylonite susdécrite et recoupée par des veines de quartz-calcite- chalcopyrite;
- l'anomalie 5 (RV-217; 70 ppbAu), dans le même contexte lithostructural que précédemment mais en bordure de la bande de serpentinite Est et se trouvant dans un schiste à muscovite-magnétite-grenat (? formation de fer, faciès oxyde);
- les anomalies 6A (RV-410 et -411; jusqu'à 84 ppbAu, 0.15 %Cu et 1.4 gAg/t), 6B (RV-423; 37 ppbAu; 0.15 %Cu), 6C (RV-420; 40 ppbAu), 6D (RV-466; 68 ppbAu) et 6E (RV-529; 98 ppbAu), associées à la zone de déformation Ouest et se trouvant dans ses épontes d'amphibolite foliée, localement recristallisée, contenant de la pyrite, de la pyrrhotine et de la chalcopyrite, de même qu'un peu d'arsénopyrite, et recoupée par des veinules de quartz-calcite;
- les anomalies 7A (RV-467; 71 ppbAu) et 7B (RV-87; 42 ppbAu), associées à la zone de déformation Ouest et à une zone de déformation sécante d'orientation ENE-OSO, et se trouvant dans des amphibolites chloritisées, silicifiées et pyritisées;
- l'anomalie 8 (RV-474; 32 ppbAu), dans le même contexte lithostructural que précédemment et se trouvant dans une formation de fer (faciès oxyde) recoupée par des veinules de quartz;
- les anomalies 9A, 9B et 9C, dans le même contexte lithostructural que précédemment; plus particulièrement:
  - l'anomalie 9A (RV-500 à -502, -504, -507 à -510 et -514 à -516; 75 à 481 ppbAu; jusqu'à 0.29 %Cu) se trouve dans une amphibolite recristallisée, sinon foliée et alors biotitisée et chloritisée, recoupée par des veinules de quartz et contenant des quantités variables de pyrite, de pyrrhotine, d'arsénopyrite et de chalcopyrite;

- l'anomalie 9B (RV-167, -169 à -171, -481, -483 et -522; 36 à 1081 ppbAu; jusqu'à 0.47 %Cu) se trouve dans une amphibolite foliée et chloritisée, parfois mylonitisée et grenatifère, recoupée par des veinules de quartz-calcite et contenant des quantités variables de pyrite, de chalcoppyrite et de pyrrhotine;
- l'anomalie 9C (RV-165; 37 ppbAu; 0.15 %Cu) se trouve dans une amphibolite recristallisée, contenant de la chalcoppyrite, de la pyrite et de la pyrrhotine;
- l'anomalie 10 (RV-142, -163, -215 et -216; 48 à 325 ppbAu; jusqu'à 0.29% Cu), associée à la zone de déformation Est et à une zone de déformation sécante d'orientation ENE-OSO (la même que précédemment), et se trouvant dans une amphibolite recristallisée, biotitisée, localement chloritisée et silicifiée, et contenant de l'arsénopyrite, de la chalcoppyrite et de la pyrite;
- les anomalies 11A, 11B et 11C, associées à la zone de déformation Ouest; plus particulièrement:
  - l'anomalie 11A (RV-76; 48 ppbAu) se trouve dans une amphibolite foliée, chloritisée et talqueuse, contenant des veinules de calcite et de la pyrite;
  - l'anomalie 11B (RV-74; 34 ppbAu) se trouve dans une amphibolite mylonitisée et talqueuse, contenant de la pyrrhotine;
  - l'anomalie 11C (RV-26 et -27; 631 et 5670 ppbAu) se trouve dans un assemblage d'amphibolite foliée, mylonitisée ou recristallisée, généralement chloritisée et biotitisée, et contenant de l'arsénopyrite, de la chalcoppyrite et de la pyrite;
- l'anomalie 12 (RV-108 et -113; 50 ppbAu; jusqu'à 0.17 %Cu), probablement associée à la zone de déformation Est et se trouvant dans une amphibolite chloritisée avec chalcoppyrite, à l'intersection d'une zone de déformation sécante d'orientation ENE-OSO;
- l'anomalie 13 (RV-209; 199 ppbAu; 0.25 %Cu), probablement associée à la zone de déformation Est et se trouvant dans une amphibolite mylonitisée, biotitisée, chloritisée, contenant des veinules de calcite et de la chalcoppyrite;
- l'anomalie 14 (RV-7; 12080 ppbAu), probablement associée à la zone de déformation Est et se trouvant dans une amphibolite foliée, contenant des veines de quartz, ainsi que de l'arsénopyrite et de la chalcoppyrite.

La plus grande partie, sinon la totalité, de ces anomalies-or est de toute évidence reliée à l'une ou l'autre des deux zones de déformation connues dans le secteur d'intérêt. La grandeur des ces anomalies-or, quoique variable, est nettement plus élevée à proximité des zones de déformation sécantes d'orientation ENE-OSO.

A partir de ce qui précède, on peut raisonnablement supposer que les zones de déformation Est et Ouest ont permis une première concentration de l'or, tandis que les zones de déformation sécantes ont permis une seconde concentration de l'or.

Dans l'état actuel des connaissances, il est difficile d'appréhender les possibilités de reconcentration qui pourraient être liées aux fais-

ceaux de fractures sécantes d'orientation NO-SE, aucune des anomalies-or susdécrites n'étant clairement liée à ces structures.

Considérant le potentiel aurifère des zones de déformation Est et Ouest, il est permis de croire que les zones de déformation signalées par les axes conducteurs U2 à U4 présentent un certain intérêt pour la recherche d'accumulations-or. Cependant, celles-ci semblent postérieures aux zones de déformation sécantes d'orientation ENE-OSO et pourraient donc ne pas receler d'accumulations-or résultant d'une intersection favorable avec ces dernières. Quoiqu'il en soit, il reste que chacune de ces zones de déformation intersectent la zone de déformation Ouest, là où elles fusionnent avec elle, déterminant autant d'intersections favorables.

#### LAC KAYCHIKWAPICHU (Plan 4)

Le secteur du Lac Kaychikwapichu se situe à l'extrémité Est de la bordure Sud de la ceinture métavolcanique du Lac Yasinski, là où elle se fusionne avec la sous-ceinture métavolcanique du Lac Wapistan. Ce secteur, situé en grande partie en-dehors des limites de la propriété, a été examiné au moment où il était impossible de continuer de façon sécuritaire le travail de prospection géologique alors en cours dans les secteurs des Lacs Miakadow et Ultra. L'objectif a alors été de couvrir la plus grande étendue de terrain, tout en établissant une coupe lithostratigraphique minimale dans la couverture métavolcanique.

Le socle granito-gneissique a été observé uniquement dans le quart Nord-Ouest du secteur d'intérêt. A cet endroit, il est généralement bien folié.

La couverture métavolcanique, d'une largeur de 2 km, est essentiellement constituée d'amphibolite lambda et divisée par des zones de déformation de largeur variable, dont deux de largeur hectométrique:

- la première longe la rive Nord-Ouest du Lac Kaychikwapichu et se trouve être l'extension Est d'une zone de déformation présente dans la sous- ceinture métavolcanique du Lac Wapistan; elle est caractérisée par une mylonite à chlorite-biotite, à laquelle est attachée une formation de fer (faciès oxyde) de longueur kilométrique;
- la seconde se situe à 500 m au Nord-Ouest de la précédente et se trouve vraisemblablement être le lien entre d'éventuelles zones de déformation présentes le long des bordures Est et Sud de la ceinture métavolcanique du Lac Yasinski; elle est caractérisée par une mylonite à muscovite; une petite intrusion de péridotite serpentinisée est visible à proximité du contact Sud de cette zone de déformation.

D'autres zones de déformation ont été repérées dans la moitié Nord de la couverture métavolcanique. Contrairement aux précédentes, celles-ci sont moins larges et ne sont pas jalonnées d'anomalies électromagnétiques.

Plusieurs anomalies-or ont été relevées mais leur intérêt est difficile à apprécier, étant donné le peu d'information disponible. Cependant, les relations qui existent entre ces anomalies-or et les zones de déformation susdécrites permettent de les comparer aux anomalies-or relevées dans le secteur des Lacs Miakadow et Ultra. Ainsi, du Sud vers le Nord, on trouve:

- l'anomalie 1 (PC-220, -221, -226, -227, -229 à -231, -235, -239, -246, -247 et -250; jusqu'à 109 ppbAu, 0.19 %Cu et 4.1 gAg/t), le long du contact Sud de la zone de déformation recelant une formation de fer (faciès oxyde) et se trouvant dans une amphibolite, soit foliée, chloritisée et localement biotitisée, soit mylonitisée, et contenant des laminations sulfurées (pyrite, pyrrhotine et chalcopyrite), ainsi que des veinules de quartz-chalcopyrite;
- l'anomalie 2 (PC-214, -218 et -219; jusqu'à 425 ppbAu et 0.2 %Cu), dans le même contexte lithostructural que précédemment mais le long du contact Nord de la zone de déformation d'intérêt;
- l'anomalie 3 (RV-343 et -344; 33 et 89 ppbAu; jusqu'à 0.16 %Cu), à proximité d'une zone de déformation présumée au contact du socle granito-gneissique et se trouvant dans une amphibolite recoupée de veines de quartz-calcite, l'ensemble étant sulfuré (pyrite, chalcopyrite);
- l'anomalie 4 (PC-263 et RV-352; 701 et 1093 ppbAu), associée à une zone de déformation présumée au contact socle-couverture et se trouvant, soit dans une mylonite à chlorite, soit dans la granodiorite foliée, contenant des laminations de pyrite et des veines de quartz-pyrite discordantes

Le lecteur aura certainement noté qu'aucune anomalie-or notable n'est associée à la zone de déformation majeure se trouvant à 500 m au Nord-Ouest de celle contenant une formation de fer (faciès oxyde). La raison en est peut-être qu'aucun échantillon ne provient de cette partie de la zone de déformation d'intérêt qui est jalonnée d'anomalies électromagnétiques, laquelle est masquée par le recouvrement glaciaire.

#### AILLEURS (Figure 7)

Plusieurs autres secteurs ont été rapidement visités, notamment les abords des Lacs Wapistan et Nichikw, ainsi que les bandes de terrain longeant 1) cette partie de la route 109 située entre le contact socle-couverture de la bordure Nord de la ceinture métavolcanique du Lac Yasinski et le kilomètre 534.5 et 2) le chemin conduisant aux installations hydroélectriques de LG/3 et LG/4 entre l'intersection avec la route 109 et le contact socle-couverture de la bordure Est de la ceinture métavolcanique du Lac Yasinski.

A partir de l'embouchure de la Rivière aux Peupliers dans le Lac Wapistan et sur quelques centaines de mètres vers l'Est, plusieurs affleurements d'amphibolite mylonitisée, souvent chloritisée, généralement

sulfurée (pyrite, pyrrhotine, chalcopyrite) et envahie de veinules de quartz permettent de délimiter une large étendue anormale en ce qui a trait à l'or. En effet, des échantillons de roche et de veines de quartz (PC-195 à -197, -206 et -212) montrent l'existence d'anomalies-or et -cuivre significatives (de 35 à 310 ppbAu; jusqu'à 1.8 %Cu). Ces anomalies sont toutes situées au Nord d'un axe conducteur signalant vraisemblablement l'une des deux zones de déformation mises au jour à proximité du Lac Kaychikwapichu.

Un autre axe conducteur, signalant vraisemblablement, quant à lui, l'autre zone de déformation mise au jour à proximité du Lac Kaychikwapichu, passe à 2 km au Nord du précédent dans le secteur du Lac Wapistan. Un échantillon de veine de quartz-chalcopyrite (PC-474) prélevé dans son voisinage immédiat constitue une anomalie-or isolée (424 ppbAu; 3.9 gAg/t; 0.17 %Cu). A environ 6 km à l'Ouest, à proximité du Lac Nichikw, le même axe conducteur est encore présent. Aucun des échantillons de roche prélevés à son voisinage ne peut encore être désigné comme anomalie-or mais certains de ces échantillons montrent une ressemblance frappante avec la mylonite à fuchsite recelant une accumulation métallifère (Zn, Cu, Ag, Au) à l'intérieur des limites de la propriété de Mines JAG. Fait non-négligeable, une sill de serpentinite a été vu longeant cet axe conducteur; la serpentinite était complètement silicifiée et sulfurée sur une longueur de plusieurs centaines de mètres.

Finalement, là où la route 109 traverse l'extrémité Est de la cuvette du Lac Missisakhegin, se trouvent des amphibolites silicifiées, sulfurées (pyrite, pyrrhotine), contenant localement des fragments lenticulaires subcentimétriques d'un matériau siliceux et rubéfié, et recoupées par des veines de quartz discordantes, parfois à remplissage de pyrite grossière (DC-11 et -12; 439 et 124 ppbAu). Ces amphibolites altérées sont en continuité avec un axe conducteur suivant l'axe médian de la cuvette du Lac Missisakhegin.

## CONCLUSIONS

A la lumière des observations faites sur l'ensemble de la propriété, ainsi que sur celles de Ressources Minières Platinor, il apparaît clairement que:

- 1) les anomalies-or sont liées à des zones de déformation matérialisées par des mylonites quartzofeldspathiques à micas potassiques (muscovite, biotite, fuchsite);
- 2) là où on peut l'observer, les anomalies-or les plus significatives sont associées aux intersections entre les mylonites susmentionnées et des zones de déformation sécantes, les plus intéressantes en termes d'accumulations-or étant vraisemblablement celles où une transposition de la foliation régionale est présente;
- 3) l'or se trouve généralement au sein des amphibolites adjacentes aux mylonites, les premières permettant aux fluides hydrothermaux

de déposer leur précieuse cargaison dans des ouvertures ménagées à cette fin, les secondes permettant le mouvement des fluides hydrothermaux dans des zones à perméabilité structurale élevée.

Les mylonites sont pour la plupart jalonnées d'anomalies électromagnétiques; seules celles caractérisées par la présence de muscovite n'ont pas de réponse électromagnétique. Dans une certaine mesure, ces mylonites sont aussi identifiées par leur faible susceptibilité magnétique par rapport aux amphibolites, mais la présence de nombreuses formations de fer à l'intérieur des zones de déformation ne permet pas d'utiliser cette signature magnétique sans risque d'erreur. Cependant, il est possible que cette dichotomie (susceptibilité magnétique faible ou forte) présente quelque intérêt pour la recherche d'accumulations-or. En effet, là où les formations de fer sont présentes au sein des mylonites, on note la présence d'anomalies-or significatives. Celles-ci sont probablement dues à une accumulation préférentielle au voisinage des formations de fer, lithotype au comportement mécanique et à la composition chimique des plus favorables en ce qui a trait aux conditions de mise en place de l'or. Cette réactivité vis-à-vis des fluides hydrothermaux aurifères n'est pas différente de celles des amphibolites adjacentes aux mylonites (conclusion #3).

Quant aux zones de déformation sécantes, leur présence a généralement été observée pour la première fois, soit sur des photographies aériennes, soit sur le terrain, pour ensuite être reconnues comme des linéaments sur la carte du gradient vertical des anomalies aéromagnétiques. Certains de ces linéaments ont été retenus pour marquer le lieu possible d'autres zones de déformation sécantes, invisibles sur le terrain parce que masquées par le recouvrement glaciaire, notamment dans le secteur du Lac Miakadow.

**SECTION 4**

**INTERPRETATION STRUCTURALE PAR PHOTOGRAPHIE AERIENNE**

L'ensemble des photographies aériennes disponibles couvrant la ceinture métavolcanique du Lac Yasinski (Photocartothèque Québécoise; lignes de vol R-1225, R-1233, R-1250, R-1251 et R-1252; 1:31760) a été examiné par l'auteur et Rémy Nolet afin de relever les directions de la foliation régionale et des fractures, tant que ces marqueurs de la déformation étaient visibles sur les affleurements rocheux. Tout linéament relevé par un des deux observateurs devait pouvoir être retrouvé par qui-conque pour être accepté comme donnée de base dans l'interprétation structurale. Par la suite, là où plusieurs segments colinéaires semblaient appartenir à un même linéament et pouvaient raisonnablement être réunis, un linéament continu plutôt que discontinu a été dessiné. Les résultats de ce travail apparaissent sur le Plan 5.

A l'examen du Plan 5, il apparaît clairement que:

- 1) une foliation primaire, orientée ENE-OSO, affecte autant le socle granito-gneissique que la majeure partie de la couverture métavolcanique; elle est reliée à l'orientation des sous-ceintures métavolcaniques des Lacs Miakadow et Wapistan rattachées à la bordure Sud de la ceinture métavolcanique du Lac Yasinski, de même qu'à l'orientation de la bordure Nord de la ceinture métavolcanique du Lac Yasinski;
- 2) une foliation secondaire, orientée NNE-SSO, affecte les bordures Est et Ouest de la ceinture métavolcanique du Lac Yasinski; elle est aussi reliée aux fractures de même orientation, recoupant indifféremment le socle granito-gneissique et la couverture métavolcanique, et affectée d'un mouvement horizontal sénestre, d'après les déplacements observés du contact socle-couverture;
- 3) une foliation tardive, orientée ONO-ESE, affecte localement autant le socle granito-gneissique que la couverture métavolcanique; elle n'est pas obligatoirement reliée aux fractures de même orientation qui originent souvent des zones de déformation associées à la foliation primaire.

Si chacune de ces trois foliations est associée à un événement tectonique distinct, alors on peut présumer que:

- 1) un premier épisode de contraintes régionales orientées NNO-SSE a amené la création de la foliation primaire orientée ENE-OSO, de même que la mise en place de dykes de diabase généralement orientés NNO-SSE (voir carte géologique #1879 du MER; RG 184);
- 2) un second épisode de contraintes régionales orientées ESE-ONO a amené la création de la foliation secondaire orientée NNE-SSO quand tout déplacement tangentiel dextre a été rendu impossible le long des zones de déformation associées à la foliation primaire;
- 3) un troisième épisode de contraintes régionales, d'orientation passablement difficile à déterminer, auraient permis à des zones de déformation associées aux foliations ONO-ESE de se développer et d'être le siège de mouvement tangentiels, dextres ou sénestres.

Plusieurs relations de recoupement ajoutent leur poids aux présomptions structurales susdécrites; ainsi:

- les relations de recoupement entre les foliations primaire et secondaire visibles le long des bordures Est et Ouest de la ceinture métavolcanique du Lac Yasinski;
- les relations de recoupement entre la foliation tardive, d'une part, et les foliations primaire et secondaire, d'autre part, visible notamment à l'extrémité Nord-Est de la ceinture métavolcanique du Lac Yasinski.

A partir de ce schéma tectonique, sachant que les lieux de recoupement constituent autant de lieux privilégiés d'accumulation pour d'éventuels fluides hydrothermaux métallifères, on peut en déduire les possibilités suivantes, quant aux dépôts aurifères épigénétiques par exemple:

- intersections entre la foliation primaire et la foliation secondaire, le long de la foliation secondaire; plusieurs telles intersections sont visibles le long des bordures Est et Ouest de la ceinture métavolcanique du Lac Yasinski;
- intersections entre la foliation primaire et les fractures orientées ONO-ESE, le long de la foliation primaire; ces fractures originent souvent de zones de déformation associées à la foliation primaire, suite à un mouvement tangentiel dextre lié au second épisode tectonique; ces zones de fractures peuvent éventuellement confiner à des zones de cisaillement avec transposition conséquente de la foliation primaire selon une orientation ONO-ESE, comme il est visible à l'extrémité Nord-Est de la sous-ceinture métavolcanique du Lac Miakadow;
- intersections entre la foliation primaire et la foliation tardive, le long de la foliation primaire; cette situation ressemble beaucoup à celle susdécrite mais diffère par le moment de sa création: elle lui est postérieure; plusieurs exemples sont visibles le long de la bordure Ouest de la ceinture métavolcanique du Lac Yasinski, de même que dans le socle granito-gneissique adjacent;
- intersections entre la foliation secondaire et la foliation tardive, le long de la foliation secondaire; ces dernières sont peu fréquentes et sont visibles aux mêmes endroits que précédemment.

**SECTION 5**

**RECOMMENDATIONS**

-Continuer et terminer la prospection géologique sur l'ensemble de la propriété.

A partir des résultats obtenus suite à la prospection géologique effectuée dans les secteurs des Lacs Miakadow, Ultra et Kaychikwapichu, il est suggéré de continuer cet exercice et de le compléter au plus tard à la fin de l'été 1990 pour l'ensemble de la propriété, plus particulièrement là où les probabilités de découverte sont les plus élevées, notamment le long des axes conducteurs. Ainsi, quatre équipes de deux personnes pourraient se partager la tâche de la façon suivante:

- une première équipe pour la sous-ceinture métavolcanique du Lac Wapistan;
- une seconde équipe pour la moitié Ouest de la bordure Sud de la ceinture métavolcanique du Lac Yasinski;
- une troisième équipe pour la moitié Est de la bordure Sud de la ceinture métavolcanique du Lac Yasinski et l'extrémité Est de la sous- ceinture métavolcanique du Lac Miakadow;
- une quatrième équipe pour la bordure Ouest de la ceinture métavolcanique du Lac Yasinski.

-Etablir deux réseaux de layons dans le secteur du Lac Miakadow, le premier englobant les zones de déformation Nord et Sud, ainsi que les axes conducteurs M1 et M2, le second chevauchant la zone de déformation centrale autour de l'axe conducteur M3, et y effectuer des levés magnétique, électromagnétique et de polarisation provoquée.

Afin 1) de préciser le lieu des contacts entre les amphibolites et les mylonites, ainsi que des zones de déformation sécantes, 2) de localiser avec précision les anomalies électromagnétiques déjà connues et possiblement d'en établir la continuité, et 3) de définir des zones à la fois résistives (silicifiées ou non-hydratées) et polarisables (à sulfures disséminés), encore inconnues mais vraisemblablement présentes, il est suggéré d'effectuer des levés magnétique, électromagnétique et de polarisation provoquée, de façon systématique à la maille de 100mx25m le long de layons orientés perpendiculairement à la direction de la foliation régionale, et ce avant la fin de l'hiver 1989-1990. La Figure 11 montre la localisation et l'étendue des réseaux de layons proposés. Les paramètres des deux réseaux de layons proposés sont les suivants:

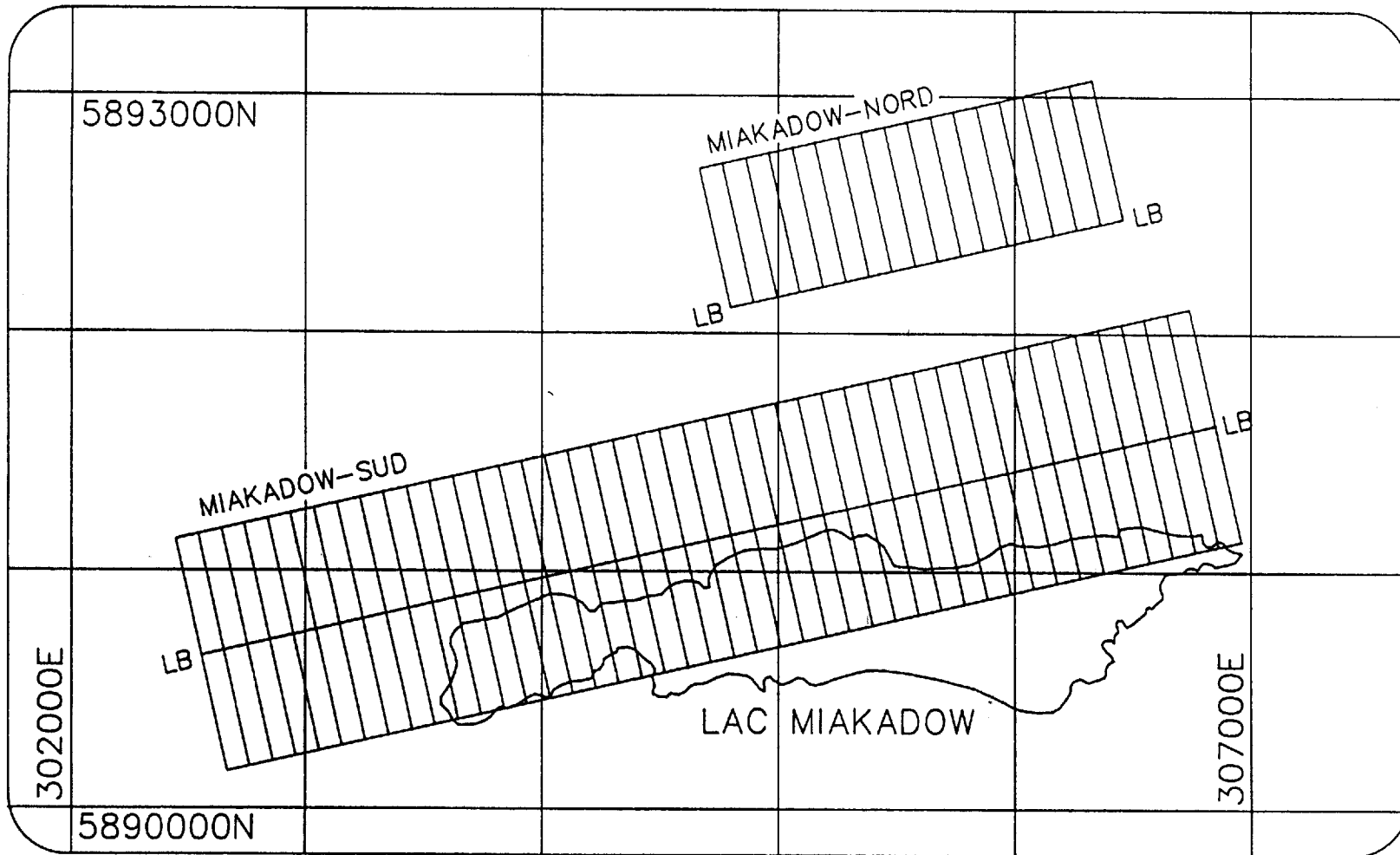


Figure 11. Localisation et étendue des réseaux de layons proposés pour le secteur du Lac Miakadow (réseau UTM à maille kilométrique; Nord géographique à N2°E du Nord du réseau UTM)

RESEAU	LAYON DE BASE	
	DIRECTION	LONGUEUR
Miakadow-Sud	N75°E	4.4 km
Miakadow-Nord	N75°E	1.7 km

RESEAU	LAYONS TRANSVERSAUX	
	NOMBRE	Σ LONGUEURS
Miakadow-Sud	45	45.0 km
Miakadow-Nord	18	10.8 km

-Localiser le plus grand nombre possible de zones de déformation sécantes potentielles à partir des cartes géophysiques disponibles.

Etant donné l'existence de données fiables et utiles pour la définition de linéaments à signification géologique, notamment les données aéromagnétiques acquises par Dighem et des données spectrales acquises à partir des satellites Landsat, ainsi que la disponibilité de logiciels pouvant objectivement extraire des linéaments répondant à des critères d'orientation notamment, il est suggéré de traiter les données susmentionnées pour définir des linéaments pouvant correspondre à des zones de déformation sécantes. Dans le cas particulier des données spectrales, il est suggéré de retenir un cliché obtenu le plus tard possible à l'automne pour maximiser l'effet d'ombre résultant de la faible inclinaison du Soleil sur l'horizon, tout en conservant les variations de réflectance du couvert végétal et minéral avant qu'il ne soit masqué par la neige.

-Remanier les limites de la propriété afin de se départir des secteurs les moins prometteurs.

Puisque les mylonites, généralement signalées par des axes conducteurs, constituent une cible de premier ordre, il est suggéré de réduire l'étendue de la propriété à ces secteurs les plus prometteurs. Par la suite, quand les segments les plus fertiles le long des zones de déformation auront été repérés, il sera alors possible de réduire davantage l'étendue de la propriété. Les nouvelles limites proposées de la propriété sont présentées sur la Figure 12.

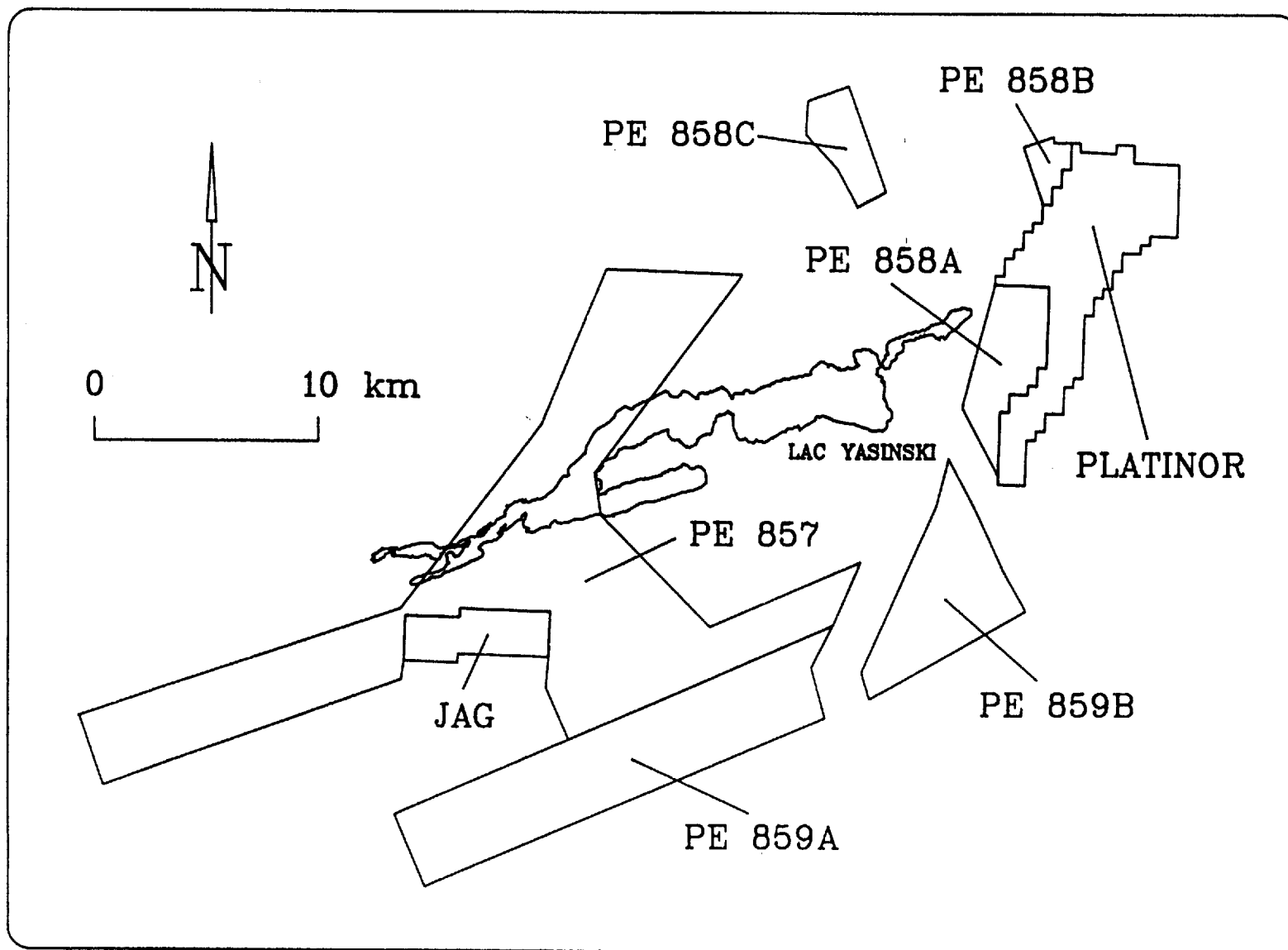


Figure 12. Limites proposées pour la propriété

## LISTE DES REFERENCES

CARD, KD, CIESIELSKI, A (1986)  
DNAG #1. Subdivisions of the Superior Province of the Canadian Shield  
Geoscience Canada, 13(1), 5-13

SHARMA, KNM (1977)  
Région de La Grande Rivière  
Ministère de l'Energie et des Ressources du Québec, RG, 184, 75 p.

SMITH, PA (1989)  
Dighem IV survey for Exploration Noranda Ltée, Projet Radisson, Québec  
Dighem Surveys & Processing Inc., Report #1062

ST.-SEYMOUR, K, KUMARAPALI, S, VLASSOPOULOS, D (1988)  
Petrotectonics of Archean Yasinski metabasalts, Superior Province,  
Canada: implications for genesis of Archean greenstone belts  
Neuen Jahrbuchs für Geologie und Paläontologie, Abh., 177, 165-183

**ANNEXE 1**

**TITRES**

Ministère de l'Énergie et des Ressources

Permis d'exploration no 857

Nom de l'acquéreur: Explorations Noranda Limitée (L.R.P.)

Adresse: C.P. 1270  
MATAGAMI (Québec)  
JOY 2A0

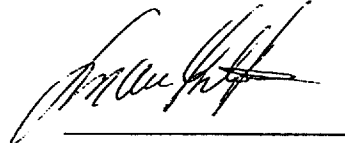
Le ministre délégué aux Mines et aux Affaires autochtones autorise, par les présentes, Explorations Noranda Limitée (L.R.P.) à rechercher les substances minérales, sauf le pétrole et le gaz naturel, conformément à la Loi sur les mines (L.R.Q. chapitre M-13) sur l'étendue de terrain ci-après désignée, d'une superficie approximative de trois cent dix-sept (317) kilomètres carrés située dans le territoire du Nouveau-Québec et plus précisément désignée dans une description technique accompagnée d'un plan annexés aux présentes.

Ce permis est accordé pour une période de 5 ans à compter du 21 octobre 1988.

Le détenteur du présent permis est en outre assujéti à la Loi sur les mines et à ses règlements plus précisément aux articles 298, 299 et 300 de cette loi et au Règlement concernant la délivrance des permis d'exploration pour la recherche des substances minérales dans le Nouveau-Québec adopté en vertu du décret 3171-80 du 8 octobre 1980.

Québec, le 21 octobre 1988

Le directeur général de  
l'Industrie minière,



Yvan Godbout

Permis d'exploration No 857

## Ministère de l'Énergie et des Ressources

Description technique du territoire  
couvert par le permis d'exploration pour  
la recherche de substances minérales  
dans le Nouveau-Québec numéro 857 accordé  
à Explorations Noranda Limitée (L.R.P.)

Un territoire d'une superficie de trois cent dix-sept (317) kilomètres carrés situé dans le territoire du Nouveau-Québec, district électoral d'Ungava, délimité par une ligne brisée reliant les points suivants, exprimés en coordonnées transverses universelles de Mercator (U.T.M.):  
Zone U.T.M. 18

POINTS	COORDONNEES EST	COORDONNEES NORD	PERMIS ADJACENT	ZONE
A	Rencontre de la coordonnée nord avec la soustraction au jalonnement D-979-86 De là vers le sud en suivant ladite soustraction jusqu'au point B	5912000		18
B	Rencontre de la coordonnée nord avec la soustraction au jalonnement D-979-86	5896650		18
C	328000	5893650		18
D	322150	5893850		18
E	Coin sud-est du claim 337068-5 De là vers le nord en suivant la limite est des claims 337068-5, 337067-5, 337066-5, 337065-5, 337064-5 jusqu'au point F			18
F	Coin nord-est du claim 337064-5 De là vers l'ouest en suivant la limite nord des claims 337064-5, 337064-4, 337064-3, 337064-2, 337064-1, 337063-5, 337063-4, 337063-3, 337063-2, 337063-1 jusqu'au point G			18
G	Coin nord-ouest du claim 337063-1 De là vers le sud en suivant la limite ouest du claim 337063-1 jusqu'au point H			18
H	Coin sud-ouest du claim 337063-1 De là vers l'ouest en suivant la limite nord des claims 337055-5, 337055-4, 337055-3, 337055-2, 337055-1 et 326857-1 jusqu'au point I			18
I	Coin nord-ouest du claim 326857-1 De là vers le sud en suivant la limite ouest des claims 326857-1, 326857-2, 326857-3, 326857-4 et 326857-5 jusqu'au point J			18
J	Coin sud-ouest du claim 326857-5 De là vers le sud jusqu'au point K			18
K	315750	5894200		18
L	302500	5889450		18

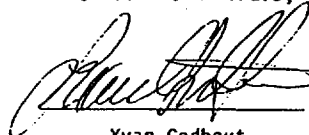
<u>POINTS</u>	<u>COORDONNEES EST</u>	<u>COORDONNEES NORD</u>	<u>PERMIS ADJACENT</u>	<u>ZONE</u>
M	301400	5892550		18
N	315750	5897350		18
O	322000	5905500		18
P	324850	5912350		18

Superficie approximative: 317 km<sup>2</sup>

Le tout tel qu'indiqué en rouge sur les cartes de claims numéros 2912, 3012, 3013, 3014 (à l'usage du ministère) à l'échelle de 1:50 000, lesquelles sont signées par le Directeur général de l'Industrie minière du ministère de l'Énergie et des Ressources et classées au dossier du service des Titres miniers de ce ministère.

QUÉBEC, le 21 octobre 1988

Le directeur général de  
l'Industrie minière,



Yvan Godbout

Permis d'exploration no 857

Ministère de l'Énergie et des Ressources

Permis d'exploration no 858

Nom de l'acquéreur: Explorations Noranda Limitée (L.R.P.)

Adresse: C.P. 1270  
MATAGAMI (Québec)  
JOY 2A0


Le ministre délégué aux Mines et aux Affaires autochtones autorise, par les présentes, Explorations Noranda Limitée (L.R.P.) à rechercher les substances minérales, sauf le pétrole et le gaz naturel, conformément à la Loi sur les mines (L.R.Q. chapitre M-13) sur l'étendue de terrain ci-après désignée, d'une superficie approximative de soixante-seize (76) kilomètres carrés située dans le territoire du Nouveau-Québec et plus précisément désignée dans une description technique accompagnée d'un plan annexés aux présentes.

Ce permis est accordé pour une période de 5 ans à compter du 21 octobre 1988.

Le détenteur du présent permis est en outre assujéti à la Loi sur les mines et à ses règlements plus précisément aux articles 298, 299 et 300 de cette loi et au Règlement concernant la délivrance des permis d'exploration pour la recherche des substances minérales dans le Nouveau-Québec adopté en vertu du décret 3171-80 du 8 octobre 1980.

Québec, le 21 octobre 1988

Le directeur général de  
l'Industrie minérale,



Yvan Godbout

Permis d'exploration No 858

Ministère de l'Énergie et des Ressources

Description technique du territoire  
couvert par le permis d'exploration pour  
la recherche de substances minérales  
dans le Nouveau-Québec numéro 858 accordé  
à Explorations Noranda Limitée (L.R.P.)

Un territoire d'une superficie de soixante-seize (76) kilomè-  
tres carrés situé dans le territoire du Nouveau-Québec, district électo-  
ral d'Ungava, délimité par une ligne brisée reliant les points suivants,  
exprimés en coordonnées transverses universelles de Mercator (U.T.M.):  
Zone U.T.M. 18

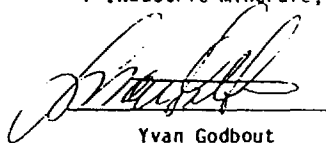
<u>POINTS</u>	<u>COORDONNEE EST</u>	<u>COORDONNEE NORD</u>	<u>PERMIS ADJACENT</u>	<u>ZONE</u>
A	335600	5920500	0846-G	18
B	337250	5915800	0846-F	18
C	Rencontre de la limite sud du P.E. 0846 avec la limite ouest du claim 461953-3			18
	De là vers le sud en suivant la limite extérieure des claims 461953-3-2, 460444-1-2-3, 460450-5, 460451-1, 460456-2-3, 460462-1-2, 460468-2-3, 460473-4-5, 460478-4-5, 460483-4-3-2-1, 460482-5-4, 460484-1, 460486-1-2, 460487-5, 460488-1, 460489-3-4, 460491-1-2, 460492-5, 460493-1, 460494-3-5-4, 460496-5, 460497-1, 460498-5, 460499-1, 460500-2-3, 460501-3-4, 460502-4 jusqu'au point D.			
D	Rencontre de la soustraction au jalonnement S. 2582-75 avec le côté ouest du claim 460502-4 De là vers le nord-ouest en suivant la limite exté- rieure des soustractions au jalonnement S. 2582-75 et D 979-86 jusqu'au point E			18
E	Rencontre de la coor- donnée nord avec la soustraction au jalon- nement S. 2582-75		5918350	18
F	333800	5919850		18

Superficie approximative: 76 km<sup>2</sup>

Le tout tel qu'indiqué en rouge sur les cartes de claims numéros 3014, 3114 (à l'usage du ministère) à l'échelle de 1:50 000, lesquelles sont signées par le Directeur général de l'Industrie minière du ministère de l'Énergie et des Ressources et classées au dossier du service des Titres miniers de ce ministère.

QUÉBEC, le 21 octobre 1988

Le directeur général de  
l'Industrie minière,



Yvan Godbout

Permis d'exploration no 858

## PROVINCE DE QUEBEC

Ministère de l'Énergie et des Ressources

Permis d'exploration no 859

Nom de l'acquéreur: Explorations Noranda Limitée (L.R.P.)

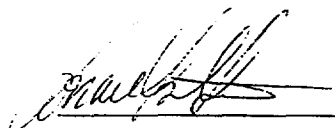
Adresse: C.P. 1270  
MATAGAMI (Québec)  
JOY 2A0

Le ministre délégué aux Mines et aux Affaires autochtones autorise, par les présentes, Explorations Noranda Limitée (L.R.P.) à rechercher les substances minérales, sauf le pétrole et le gaz naturel, conformément à la Loi sur les mines (L.R.Q. chapitre M-13) sur l'étendue de terrain ci-après désignée, d'une superficie approximative de cent vingt-trois (123) kilomètres carrés située dans le territoire du Nouveau-Québec et plus précisément désignée dans une description technique accompagnée d'un plan annexés aux présentes.

Ce permis est accordé pour une période de 5 ans à compter du 21 octobre 1988.

Le détenteur du présent permis est en outre assujéti à la Loi sur les mines et à ses règlements plus précisément aux articles 298, 299 et 300 de cette loi et au Règlement concernant la délivrance des permis d'exploration pour la recherche des substances minérales dans le Nouveau-Québec adopté en vertu du décret 3171-80 du 8 octobre 1980.

Québec, le 21 octobre 1988

Le directeur général de  
l'Industrie minière,

Yvan Godbout

Permis d'exploration No 859

GOVERNEMENT DU QUÉBEC

Ministère de l'Énergie et des Ressources

63

Description technique du territoire  
couvert par le permis d'exploration pour  
la recherche de substances minérales  
dans le Nouveau-Québec numéro 859 accordé  
à Explorations Noranda Limitée (L.R.P.)

Un territoire d'une superficie de cent vingt-trois (123) kilomètres carrés situé dans le territoire du Nouveau-Québec, district électoral d'Ungava, délimité par une ligne brisée reliant les points suivants, exprimés en coordonnées transverses universelles de Mercator (U.T.M.):

Zone U.T.M. 18

<u>Etendue A</u>				
<u>POINTS</u>	<u>COORDONNEE EST</u>	<u>COORDONNEE NORD</u>	<u>PERMIS ADJACENT</u>	<u>ZONE</u>
A	Rencontre de la coordonnée nord avec la soustraction au jalonnement D 979-86	5896650	0857-B	18
B	Rencontre de la coordonnée nord avec la soustraction au jalonnement D 979-86	5892550		18
C	316800	5885000		18
D	315450	5888200		18

Superficie approximative: 71 km<sup>2</sup>

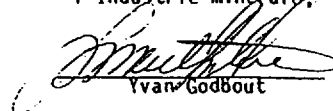
<u>Etendue B</u>				
A	Rencontre de la soustraction au jalonnement S. 2582-75 avec la soustraction au jalonnement D 979-86 De là vers le sud-est en suivant la soustraction au jalonnement S. 2582-75 jusqu'au point B			18
B	Rencontre de la coordonnée nord avec la soustraction au jalonnement S. 2582-75	5893075		18
C	Rencontre de la coordonnée nord avec la soustraction au jalonnement D 979-86 De là vers le nord en suivant la soustraction au jalonnement D 979-86 jusqu'au point de départ.	5893400		18

Superficie approximative: 52 km<sup>2</sup>

Le tout tel qu'indiqué en rouge sur les cartes de claims numéros 2912, 2913, 2914, 3013, 3014 (à l'usage du ministère) à l'échelle de 1:50 000, lesquelles sont signées par le Directeur général de l'Industrie minière du ministère de l'Énergie et des Ressources et classées au dossier du service des Titres miniers de ce ministère.

QUÉBEC, le 21 octobre 1988

Le directeur général de  
l'Industrie minière

  
Ivan Godbout

Permis d'exploration no 859

ANNEXE 2

EXTRAITS DE LA CONVENTION DE LA BAIE JAMES  
A PROPOS DES TERRES DE CATEGORIE II

5.2.1 *Définition*

- C.C.3 Les terres de la catégorie II ont une superficie de vingt cinq mille cent trente milles carrés (25 130 mi<sup>2</sup>) au sud du 55° parallèle de latitude où les Cris de la Baie James ont le droit exclusif de chasser, de pêcher et de trapper et possèdent également les droits créés par le chapitre 24 de la Convention. De ces vingt cinq mille cent trente milles carrés (25 130 mi<sup>2</sup>), les Inuit de Fort George ont droit à une superficie de deux cent trente et un milles carrés (231 mi<sup>2</sup>) comme terres de la catégorie II tel qu'il est prévu au chapitre 4 et à l'alinéa 7.2.1 du chapitre 7. L'utilisation des terres de la catégorie II à des fins autres que la chasse, la pêche et le trappage est soumise aux dispositions ci-dessous.

Les terres de la catégorie II demeurent de compétence provinciale.

Le sigle ● suivi de C.C.1 signifie: modifié par la Convention complémentaire n° 1.

---

Convention complémentaire n° 3

---

10. L'alinéa 5.2.1 du chapitre 5 de la Convention est amendé en le remplaçant par le suivant:

5.2.1 *Définition*

Les terres de la catégorie II ont une superficie de vingt-cinq mille cent trente milles carrés (25 130 mi<sup>2</sup> ou 65 081.7 km<sup>2</sup>) au sud du 55° parallèle de latitude où les Cris de la Baie James ont le droit exclusif de chasser, de pêcher et de trapper et possèdent également les droits créés par le chapitre 24 de la Convention. L'utilisation des terres de la catégorie II à des fins autres que la chasse, la pêche et le trappage est soumise aux dispositions ci-dessous.

Les terres de la catégorie II demeurent de compétence provinciale.

### 5.2.3 Développement

Le Québec peut prendre possession de terres de la catégorie II à des fins de développement, à condition de les remplacer ou, si les autochtones le désirent et si un accord est conclu à cet effet, de leur accorder une indemnisation.

À moins que ces activités ne soient directement reliées aux étapes précédant le développement, les droits ou l'exercice des droits des non - autochtones, relativement à leurs activités légales sont contrôlés par le Québec au moyen d'une loi ou de règlements appropriés de même qu'au moyen d'un mécanisme de surveillance raisonnable lorsqu'elles viennent en conflit ou lorsqu'on peut raisonnablement s'attendre à ce qu'elles viennent en conflit avec les droits accordés aux autochtones en vertu du chapitre 24 de la Convention sur la chasse, la pêche et le trappage.

Aux fins de la Convention, en ce qui a trait aux terres de la catégorie II, le « développement » désigne tous faits ou gestes qui empêchent les autochtones d'exercer les activités de chasse, de pêche et de trappage, à l'exception des étapes précédant le développement; et les « étapes précédant le développement » désignent tous faits ou gestes relatifs à l'exploration au cours d'une période de temps limitée, avec l'intention d'obtenir des renseignements permettant de décider si le développement se fera ou non.

En cas de développement, toute communauté crie qui choisit de demander le remplacement de la terre doit signifier son choix au Québec, dès que la décision d'entreprendre le développement est prise et lui a été communiquée.

S'il y a désaccord quant au choix des terres, le Québec doit alors proposer à la communauté crie, en tenant compte de la préférence de celle - ci, une aire possédant, dans la mesure du possible des caractéristiques similaires à celles des terres de la catégorie II dont Québec cherche à prendre possession et contiguës à ces terres de la catégorie II. Cette aire de remplacement proposée doit avoir une superficie double de celle de l'aire à remplacer. La communauté crie a alors le droit de choisir dans cette aire une superficie égale à celle effectivement prise, aux fins de ce développement, à titre d'indemnisation complète pour la prise de ces terres. L'indemnisation peut aussi se faire par versements monétaires convenus entre les parties.

Cette procédure doit précéder la prise de possession de terres à des fins de développement ou pour tous travaux de construction connexes. Cependant, cette procédure doit se faire à l'intérieur d'une période de cent - vingt (120) jours pour autant que la prise de possession des terres à des fins de développement ou tous travaux de construction connexes puissent se faire après soixante (60) jours.

Ce développement est soumis au régime de protection de l'environnement et du milieu social institué par le chapitre 22 de la Convention.

### 5.2.5 Richesses naturelles

67

#### a) *Droits aux minéraux et autres droits tréfonciers*

L'exploration de minéraux et les levés techniques ne constituent pas des activités de développement au sens des présentes et ils peuvent être effectués sans donner lieu à un remplacement de terres ou au versement d'une indemnité, mais sont soumis aux conditions du régime de protection de l'environnement et du milieu social prévu dans la Convention. De plus, l'exploration de minéraux et les levés techniques doivent être effectués de façon à éviter tout conflit déraisonnable avec les activités d'exploitation de la faune.

#### b) *Utilisation de la stéatite*

Les autochtones peuvent acquérir par l'intermédiaire de leur Administration locale, au moyen d'un permis délivré par le ministère des Richesses naturelles du Québec, le droit d'utiliser la stéatite destinée à l'art et l'artisanat traditionnels. Ce permis ne sera pas indûment refusé. Il sera accordé aux termes de la Loi des mines et s'étendra exclusivement au droit d'utiliser cette substance minérale pour l'art et l'artisanat traditionnels.

Les terres en question seront indiquées sur le terrain par les autochtones qui utiliseront à cet effet des méthodes analogues à celles utilisées pour piqueter les claims. La zone sera limitée aux affleurements auxquels les autochtones ont facilement accès. De plus, le droit d'exploiter la stéatite sera toujours subordonné aux droits relatifs aux autres substances minérales, afin de ne pas empêcher le développement minier éventuel des terres en question.

### 5.2.6 Accès

Sous réserve des droits des autochtones, aux termes des dispositions du chapitre 24 de la Convention sur la chasse, la pêche et le trappage, les personnes qui exercent un droit compatible avec les droits des autochtones ainsi que les personnes qui s'acquittent de devoirs imposés par la loi, ont accès aux terres de la catégorie II, peuvent y demeurer et y ériger des bâtiments. L'exercice de ces droits est assujéti à des restrictions générales imposées par la loi et prévues par le présent chapitre, y compris les restrictions additionnelles suivantes:

#### b) *Exploration, étapes précédant le développement, études scientifiques et fins administratives*

Les personnes qui désirent entreprendre les activités susdites doivent obtenir du Québec une autorisation à cet effet. La demande doit comprendre les renseignements ci-après: objet, nature, importance et durée des activités, et description des installations en cause. Lorsqu'une autorisation est accordée, les renseignements fournis au Québec doivent être communiqués aux autochtones dès que possible.

Toutefois, les travaux qui n'entraînent pas d'activités importantes sur place, comme les études géoscientifiques et les explorations minières du type prévu dans la Loi des mines du Québec, ne donneront pas lieu à la communication de renseignements ou à la demande d'autorisation mentionnée ci-dessus.

Néanmoins, ces activités doivent se dérouler de façon à éviter tout conflit déraisonnable avec l'exercice des droits que possèdent les autochtones en vertu du régime de chasse, de pêche et de trappage.

**5.5.1** Nonobstant toute autre disposition de la Convention et sous réserve de toutes les lois et tous les règlements applicables, le Québec, la Société d'énergie de la Baie James, l'Hydro-Québec et la Société de développement de la Baie James, ainsi que leurs délégués et toute autre personne dûment autorisée ont le droit de développer les terres et les ressources des terres de la catégorie III et, aux fins de ce développement, le Québec a le droit de prendre possession des terres de la catégorie II, sous réserve des dispositions relatives au remplacement ou à l'indemnisation prévues au présent chapitre, et ces terres de la catégorie II deviennent alors des terres de la catégorie III.

Plus particulièrement, les droits et garanties accordés aux autochtones en vertu du chapitre sur la chasse, la pêche et le trappage, sont assujettis aux droits qu'ont le Québec, l'Hydro-Québec, la Société d'énergie de la Baie James et la Société de développement de la Baie James, ainsi que leurs délégués et toute personne dûment autorisée, à développer les terres des catégories III et II, conformément à la loi.

Toutefois, les promoteurs sont soumis au régime sur l'environnement, lequel prend en considération le régime de chasse, de pêche et de trappage.

---

**5.6 Législation**

---

Les dispositions du présent chapitre ne peuvent être amendées qu'avec le consentement du Canada et de la partie autochtone intéressée, pour les matières relevant de la compétence fédérale et qu'avec le consentement du Québec et de la partie autochtone intéressée pour les matières relevant de la compétence provinciale.

Les lois adoptées pour mettre en vigueur les dispositions du présent chapitre peuvent être modifiées en tout temps par l'Assemblée nationale du Québec, pour les matières relevant de la compétence provinciale et par le Parlement pour les matières relevant de la compétence fédérale.

**ANNEXE 3**

**DONNEES DE TERRAIN  
ET RESULTATS D'ECHANTILLONNAGE**

## LISTE DES PARAMETRES

- #: numéro d'échantillon
- REPERE: système de repérage (UTM: quadrillage transverse universel de Mercator, zone 18U; GPN: Grille Nord de Platinor)
- X: Coordonnée Est-Ouest
- Y: Coordonnée Nord-Sud
- FOLIATION: attitude de la foliation, suivant la règle du pendage à droite
- FRACTURATION: attitude de la fracturation ou de veine de quartz ([vq]) ou de dyke ([dk]) ou d'une brèche ([bx]), suivant la règle du pendage à droite, suivie d'une mesure de densité -- en fractures/mètre -- dans le cas de la fracturation
- LITHOTYPE: voir liste des abréviations
- Au: teneur en or (ppb)
- Cu: teneur en cuivre (ppm; extraction à l'eau régale); "nd" si non-déterminée
- ALIAS: indications supplémentaires quant à l'existence d'une anomalie magnétique (MG) ou électromagnétique (CD), ou d'une anomalie géochimique pour un ou plusieurs des éléments suivants: Pb, Zn ou Ni si > 0.1%; Cr si > 1%; Pt si > 100 ppb; Pd si > 500 ppb; Ag si > 1 g/t

## LISTE DES ABREVIATIONS

I1	intrusif felsique	Ama	amas	ac	actinote
I1B	granite	Ecv	enclave	amp	amphibole
I1G	pegmatite	Eye	oeil	bio	biotite
I3A	gabbro	Stg	veinule	cal	calcite
I3B	diabase	VeI	veine	chl	chlorite
I4N	serpentinite			chy	chrysotile
M1	gneiss	Aci	aciculaire	epi	épidote
M8	schiste	Bou	boudiné	fk	feldspath-K
M16	amphibolite	Bro	broyé	fp	plagioclase
M24	mylonite	Brc	brélique	fs	feldspath-Cr
S9B	formation de fer (faciès oxyde)	Cat	cataclase	fu	fuchsite
		Ccd	concordant	gr	grenat
		Cis	cisaillé	hbl	hornblende
Apy	arsénopyrite	Dcd	discordant	mg	magnésite
Az	azurite	Dis	disséminé	mv	muscovite
Bo	bornite	Fol	folié	qtz	quartz
Cpy	chalcopyrite	Frc	fracturé	tm	tourmaline
Cv	covellite	Gne	gneissique	tlc	talc
Gn	galène	Lam	laminé		
Gph	graphite	Myl	mylonitique	Bio	biotitisé
Mc	malachite	Pbl	porphyroblastique	Cal	calcitisé
Mt	magnétite	Peg	pegmatique	Chl	chloritisé
Po	pyrrhotine	Por	porphyrique	Epi	épidotisé
Py	pyrite	Prx	poreux	Fel	feldspathisé
Sp	sphalérite	Pst	plissé	Hem	hématisé
		Rcx	recristallisé	Lim	limonitisé
		Rou	rouillé	Mv	muscovitisé
		Rub	rubané	Sil	silicifié
				Spt	serpentinisé
				Tlc	talqueux

/ indique une étendue ou un développement semblable

, indique une diminution dans l'étendue ou le développement

() indique une hétérogénéité dans l'étendue ou le développement

#	REPERE	.. X ..	.. Y ..	FOLIATION	FRACTURATION	LITHOTYPE	Au	Cu	ALIAS
DC-1	UTM	331820	5916445	080/90	nil	M16 Fel, Stg qtz Ccd, Rou	2	35	-
DC-2	UTM	331820	5916470	080/90	nil	I1 fk/Par, Stg qtz Ccd, (Py)	4	8	-
DC-3	UTM	331890	5916470	080/90	???/??[uq]	Vel qtz Dcd	1	31	-
DC-4	UTM	331890	5916470	080/90	???/??[uq]	Vel qtz Dcd, Py	293	860	-
DC-5	UTM	331910	5916485	???/??	???/??[uq]	Vel qtz Lam, Ecu chl, Py	3	10	-
DC-6	UTM	331725	5916650	???/??	???/??[uq]	Vel qtz Frc/Ccd, Py	3	72	-
DC-7	UTM	331725	5916650	???/??	???/??[uq]	Vel qtz Frc/Ccd, Py	<1	30	-
DC-8	UTM	331850	5916700	065/90	nil	M24 mu/(Pbl), Py	1	23	-
DC-9	UTM	331790	5916885	065/90	nil	M16 (Chl), Sil, Py	5	101	-
DC-10	UTM	331790	5916900	065/90	nil	M16 (Chl), Sil, Py/Po	6	140	-
DC-11	UTM	331815	5916895	065/90	???/??[uq]	Vel qtz Frc/Dcd, Py	439	213	-
DC-12	UTM	331835	5916915	065/90	???/??[uq]	Stg qtz Dcd	124	136	-
DC-13	UTM	331750	5917350	nil	nil	M16 Fel/Hem, Py	<1	21	-
DC-14	UTM	331750	5917350	nil	???/??[uq]	Vel qtz Frc/Dcd, Py	<1	12	-
DC-15	UTM	331675	5917775	095/90	nil	M16 Fel/(Hem), Py, [Epi]	2	147	-
DC-16	UTM	331500	5918150	095/90	nil	M16 Fel/(Hem), Py, [Epi]	2	32	-
DC-17	UTM	331350	5918500	nil	???/??[uq]	Vel qtz Dcd, Py	<1	115	-
DC-18	UTM	331350	5918500	nil	025/??[uq]	Vel qtz Dcd, (Py)	33	64	-
DC-19	UTM	331350	5918500	nil	050/??[uq]	Vel qtz (Bro)/Dcd/Lam, chl, Py/Po	2	75	-
DC-20	UTM	331300	5918500	nil	nil	M16 Sil, Py	<1	72	-
DC-21	UTM	332700	5915975	nil	???/??[uq]	Vel qtz Dcd	<1	116	-
DC-22	UTM	333450	5915525	260/45	???/??[uq]	Vel qtz Dcd	<1	6	-
DC-23	UTM	336975	5909025	095/90	nil	M16 Fol/Sil/Stg qtz, Bio, (Py)	4	16	-
DC-24	UTM	336975	5909025	095/90	095/90[uq]	Vel qtz Lam/Ccd, (Frc), chl/(Py)	10	34	-
DC-25	UTM	337035	5908080	nil	nil	I38 hbl	3	14	-
DC-26	UTM	337035	5908100	nil	nil	I18 hbl/epi, qtz, (Hem)	<1	3	-
DC-27	UTM	337035	5908115	nil	nil	I18 hbl/epi, qtz, (Hem)	<1	9	-
DC-28	UTM	337035	5908100	nil	nil	M8 chl/(bio), Py + Vel qtz Ccd	68	114	-
DC-29	UTM	337035	5908100	nil	???/??[uq]	Vel qtz, (Frc)	5	61	-
DC-30	UTM	337175	5907750	nil	nil	M16 Chl/(Bio), Sil	43	52	-
DC-31	UTM	337175	5907750	nil	nil	M16 Chl/Sil, Bro, Ama Py	53	11	-
DC-32	UTM	337175	5907750	nil	305/70[uq]	Vel qtz Lam, chl, (Bro)	23	7	-
DC-33	UTM	337125	5907875	nil	???/??[uq]	Vel qtz Lam, chl, (Bro)	<1	13	-
DC-34	UTM	338850	5905400	085/90	225/65[uq]	Vel qtz Frc	1	64	-
DC-35	UTM	339050	5904050	060/90	???/??[uq]	Vel qtz Dcd, Py	<1	15	-
DC-36	UTM	338950	5903700	165/90	nil	I1 fk/Par/Ccd, bio, Py	<1	12	-
DC-37	UTM	338950	5903700	165/90	???/??[uq]	Vel qtz/Py Dcd	206	99	-
DC-38	UTM	339225	5901825	035/90	???/??[uq]	Stg qtz/Py Dcd	6	331	-
DC-39	UTM	324830	5900995	275/80	nil	M16 Fel, Py	2	43	-
DC-40	UTM	324845	5900965	275/80	075/90[uq]	Vel qtz, (Bro), (Py), ?Cpy	30	34	-

#	REPERE	.. X ..	.. Y ..	FOLIATION	FRACTURATION	LITHOTYPE	Au	Cu	ALIAS
DC-41	UTM	324865	5900955	275/80	??/?[vq]	Ama qtz, Hem, (Bro)	<1	9	-
DC-42	UTM	324865	5900950	275/80	nil	M16, Py	3	25	-
DC-43	UTM	324870	5900925	105/90	nil	I1 fk/Pr/Ccd, Py	3	9	-
DC-44	UTM	324960	5900615	105/90	??/?[vq]	Ama qtz, Hem, (Bro), (Py)	5	19	-
DC-45	UTM	325305	5900515	155/90	155/90[vq]	Vei qtz Frc/Ccd, Hem, Py	38	359	-
DC-46	UTM	325265	5900485	155/90	085/90[vq]	Vei qtz Frc/Ccd, Hem, chl, Py	5	91	-
DC-47	UTM	325375	5900430	145/90	075/90[vq]	Vei qtz Frc/Ccd, (Hem), (Py)	<1	19	-
DC-48	UTM	325375	5900430	145/90	nil	M16 Brx/Sil, Epl, (Py)	1	65	-
DC-49	UTM	325375	5900430	145/90	nil	M16 Brx/Sil, Epl, (Py)	<1	6	-
DC-50	UTM	325375	5900430	145/90	145/90[vq]	Vei qtz Bro/Ccd, Py	44	33	-
DC-51	UTM	325375	5900430	145/90	145/90[vq]	Vei qtz Bro/Ccd, (Hem), (Py)	3	5	-
DC-52	UTM	326550	5901740	075/90	??/?[vq]	Vei qtz Dcd, (Frc), chl, Py	2	290	-
DC-53	UTM	326550	5901740	075/90	150/90[vq]	I1 Dcd/Bro, Py	<1	17	-
DC-54	UTM	326625	5901750	075/90	??/?[vq]	Vei qtz Frc	1	51	-
DC-55	UTM	326680	5901770	075/90	??/?[vq]	I1 Dcd/Ccd/Bro, Py	<1	18	-
DC-56	UTM	326960	5901450	040/90	nil	I1B hbl, (Fol), amp, Py	19	38	-
DC-57	UTM	303370	5890800	280/75	nil	M24 Sil/Stg qtz Ccd	<1	11	-
DC-58	UTM	303340	5890680	270/75	nil	M16 Fol, gr, (Chl), Ama Py/Po, Vei qtz Ccd, Rou	9	161	-
DC-59	UTM	303340	5890680	270/75	nil	I1 Peg/Ccd, (Rou)	<1	4	-
DC-60	UTM	303340	5890680	270/75	nil	M16 Fol, gr, (Chl), Vei qtz Ccd, Ama Py/Po, Rou	36	242	-
DC-61	UTM	303340	5890680	270/75	nil	M24 Prx/Lim, Py Lam/Ama, Stg qtz Frc	127	49	-
DC-62	GPN	-45	1580	045/90	nil	M16 Rcx/Sil, Apy/Cpy + M24, Rou	820	nd	CO
DC-63	GPN	-45	1580	045/90	nil	M16 Rcx/Sil, Apy/Cpy + M24, Rou	130	nd	CO
DC-64	GPN	-45	1580	045/90	nil	M16 Rcx/Sil, Apy/Cpy + M24, Rou	130	nd	CO
DC-65	GPN	-45	1580	045/90	nil	M16 Rcx/Sil, Apy/Cpy + M24, Rou	1020	nd	CO
DC-66	GPN	-45	1580	045/90	nil	M16 Rcx/Sil, Apy/Cpy + M24, Rou	300	nd	CO
DC-67	GPN	-45	1580	045/90	nil	M16 Rcx/Sil, Apy/Cpy + M24, Rou	240	nd	CO
DC-68	GPN	-45	1580	045/90	nil	M16 Rcx/Sil, Apy/Cpy + M24, Rou	410	nd	CO
DC-69	GPN	-45	1580	045/90	nil	M16 Rcx/Sil, Apy/Cpy + M24, Rou	440	nd	CO
DC-70	GPN	-45	1580	045/90	nil	M16 Rcx/Sil, Apy/Cpy + M24, Rou	340	nd	CO
DC-71	GPN	-45	1580	045/90	nil	M16 Rcx/Sil, Apy/Cpy + M24, Rou	130	nd	CO
DC-72	GPN	-45	1580	045/90	nil	M16 Rcx/Sil, Apy/Cpy + M24, Rou	200	nd	CO
DC-73	GPN	-45	1580	045/90	nil	M16 Rcx/Sil, Apy/Cpy + M24, Rou	<100	nd	CO
DC-74	GPN	-45	1580	045/90	nil	M16 Rcx/Sil, Apy/Cpy + M24, Rou	<100	nd	CO
DC-75	GPN	-45	1580	045/90	nil	M16 Rcx/Sil, Apy/Cpy + M24, Rou	340	nd	CO
DC-76	GPN	-45	1580	045/90	nil	M16 Rcx/Sil, Apy/Cpy + M24, Rou	<100	nd	CO
DC-77	UTM	344050	5911575	015/90	nil	Vei qtz Dcd, cal/Py/Po/Cpy	32	1460	-
DC-78	UTM	344050	5911575	015/90	nil	M16 Sil, Py	2	10	-
DC-79	UTM	344050	5911575	015/90	nil	Vei qtz Dcd, cal/Py/Po/Cpy	9	680	-
DC-80	UTM	344050	5911575	015/90	nil	M16 Sil, Py	<1	77	-

#	REPERE	.. X ..	.. Y ..	FOLIATION	FRACTURATION	LITHOTYPE	Au	Cu	ALIAS
DC-81	UTM	344005	5911310	015/90	nil	Vel Qtz Dcd, cal/Py/Po/Cpy	<1	4160	-
DC-82	UTM	342900	5911400	040/90	nil	Vel Qtz Bro/Ccd	5	13	MG
DC-83	UTM	343200	5911450	??/??	nil	M16, gr, (Sil), Po Lam	4	24	MG
DC-84	UTM	343200	5911450	??/??	nil	M16, gr/Sil, Po	7	20	-
DC-85	UTM	343475	5911500	??/??	nil	M16 Sil, Py	2	42	-
DC-86	UTM	343575	5911525	??/??	nil	M16 Rcx, Sil/Ama Po	1	226	-
DC-87	UTM	343575	5911525	??/??	nil	Vel Qtz Dcd, Po	4	12	-
DC-88	UTM	345600	5911175	025/90	nil	M16 Sil, Po Lam	1	335	-
DC-89	UTM	345600	5911175	025/90	nil	M16 Rcx + Vel Qtz Frc/Hen, Py	255	2080	-
DC-90	UTM	345600	5911175	025/90	nil	M16 (Myl), Py/Po	2	300	-
DC-91	UTM	345800	5911175	025/90	nil	M16 Sil, Po	8	188	-
DC-92	UTM	346125	5911200	??/??	nil	M16 Rcx, Py/Po	28	900	-
DC-93	UTM	346125	5911200	??/??	nil	?M24 mv, (Py)	6	301	-
DC-94	UTM	346225	5911200	??/??	nil	Vel Qtz Bou/Ccd, Hen	1	125	-
DC-95	UTM	346225	5911200	??/??	nil	M16 fol, Sil/Po	<1	165	-
DC-96	UTM	346225	5911200	??/??	nil	M16 fol, Chl/Po	2	500	-

#	REPERE	.. X ..	.. Y ..	FOLIATION	FRACTURATION	LITHOTYPE	Au	Cu	ALIAS
PC-1	UTM	308430	5892430	065/??	nil	M16 Myl/Bio	9	43	CD
PC-2	UTM	308700	5892600	??/??	??/??[uq]	Vei qtz Frc/Bou, (Py/Cpy)	<1	15	-
PC-3	UTM	308695	5892600	060/??	nil	M16 Myl, Stg qtz, Stg Sp/gr, Py/Cpy	3	125	-
PC-4	UTM	308760	5892700	065/??	015/??[uq]	Vei qtz Frc, Cpy	<1	350	-
PC-5	UTM	308760	5892695	065/??	015/??[uq]	Vei qtz Frc, Gn/Cpy	4	349	Ag
PC-6	UTM	308760	5892690	065/??	015/??[uq]	Vei qtz Frc, Cpy	1	880	-
PC-7	UTM	308765	5892720	065/??	015/??[uq]	Vei qtz, Gn/Cpy, Hem	28	7040	Ag
PC-8	UTM	308765	5892725	065/??	015/??[uq]	Vei qtz, Cpy	<1	800	-
PC-9	UTM	309520	5893020	060/??	nil	M16 Myl, Bio, (Py)	<1	235	-
PC-10	UTM	309520	5893020	060/??	??/??[uq]	Vei qtz/fp Dcd	35	9	-
PC-11	UTM	309500	5893015	060/??	nil	M16, gr, Po	2	46	-
PC-12	UTM	309510	5893020	060/??	??/??[uq]	Vei qtz/fp, mu/gr, Hem	8	12	-
PC-13	UTM	309380	5893050	060/??	nil	M16 Myl/Bio, Stg qtz	8	332	-
PC-14	UTM	309380	5893050	060/??	??/??[uq]	Vei qtz/fp	2	12	-
PC-15	UTM	309330	5893050	060/??	nil	M16, Cpy, (Py)	5	540	-
PC-16	UTM	309345	5893040	060/??	nil	M16 Fol, Po, (Cpy)	1	1000	-
PC-17	UTM	309360	5893035	060/??	nil	M16 Fol, Stg qtz, Po	1	540	-
PC-18	UTM	308065	5892180	??/??	nil	M16, Po, (Cpy/Py), Rou	20	168	-
PC-19	UTM	308415	5892440	065/??	065/??[uq]	Vei qtz Frc/Bou, Hem, (Py/Po)	33	100	-
PC-20	UTM	308415	5892440	065/??	nil	M16 Myl/Chl, Py	3	38	-
PC-21	UTM	308415	5892445	065/??	nil	M16 Fol, gr, Po/Py	<1	202	-
PC-22	UTM	308415	5892450	??/??	nil	M16 Fol	<1	3	CD
PC-23	UTM	308415	5892455	065/??	nil	M16 Myl/Mu, gr	<1	640	CD
PC-24	UTM	308460	5892430	070/??	nil	M16 Fol, Stg qtz, Po, (Py/Cpy)	3	81	-
PC-25	UTM	308460	5892430	070/??	nil	M16 Fol, Cpy, Py, (Po)	17	139	-
PC-26	UTM	308460	5892440	070/??	nil	M16 Myl	12	79	CD
PC-27	UTM	308450	5892445	070/??	nil	M16 Myl/Bio/Mu, gr, Po, Py, (Cpy)	3	37	-
PC-28	UTM	308450	5892445	070/??	070/??[uq]	Vei qtz Frc/Bou, Ecu M16, Py, (Hem)	1	7	-
PC-29	UTM	308460	5892445	070/??	nil	M16 Myl/Bio/Mu, gr, Po, Py, (Cpy)	20	580	-
PC-30	UTM	308750	5892530	225/85	245/85[uq]	Vei qtz Frc/Bou	1	9	-
PC-31	UTM	308755	5892525	235/85	235/85[uq]	Vei qtz/fk	6	7	-
PC-32	UTM	308755	5892520	235/85	235/85[uq]	Vei qtz/fk, gr	1	31	-
PC-33	UTM	308635	5892785	245/85	nil	M16 Fol/Chl/Bio	13	207	CD
PC-34	UTM	308250	5892240	065/??	nil	M16 Fol/Bio/Mu, gr, Py/Po	2	176	-
PC-35	UTM	308250	5892220	020/??	020/??[uq]	Vei qtz Frc/Bou, Hem, mu	3	9	-
PC-36	UTM	308300	5892300	??/??	??/??[uq]	Vei qtz Bou, Hem	2	10	-
PC-37	UTM	308390	5892400	065/??	nil	M16 Fol, Py/Po	1	121	CD
PC-38	UTM	308400	5892400	065/??	??/??[uq]	Vei qtz Bou/Hem, (Cpy)	1	15	CD
PC-39	UTM	308380	5892395	065/??	nil	M16 Myl/Bio, Py Lam, (Cpy)	1	111	CD
PC-40	UTM	308065	5892210	070/??	000/??[uq]	Vei qtz Frc, Ecu M16, Cpy/Mc	119	1020	-

#	REPERE	.. X ..	.. Y ..	FOLIATION	FRACTURATION	LITHOTYPE	Au	Cu	ALIAS
PC-41	UTM	308065	5892180	070/??	000/??[vq]	Vei qtz Frc, Ecu M16, Cpy/Mc	1	230	-
PC-42	UTM	308065	5892180	070/??	nil	M16 Fol/Bio/Chl, gr, Cpy/Py/?Po	3	84	-
PC-43	UTM	308065	5892145	070/??	000/??[vq]	Vei qtz Frc, Ecu M16, Cpy/Mc	13	1400	-
PC-44	UTM	308065	5892115	070/??	000/??[vq]	Vei qtz Frc, Ecu M16, Cpy/Mc	1	356	-
PC-45	UTM	307945	5891955	245/75	??/?[vq]	Vei qtz Frc, Ecu M16, (Cpy)	1	126	-
PC-46	UTM	307510	5891910	??/?	010/??[vq]	Vei qtz Rub	3	53	-
PC-47	UTM	307510	5892050	??/?	010/??[vq]	Vei qtz Rub, Cpy	1	660	-
PC-48	UTM	307510	5892040	??/?	010/??[vq]	Vei qtz Rub, Cpy	1	172	-
PC-49	UTM	307560	5891910	??/?	010/??[vq]	Vei qtz Frc	2	25	-
PC-50	UTM	307560	5891910	??/?	nil	M16 Fol, (Sil/Rou)	10	31	-
PC-51	UTM	307320	5891690	??/?	nil	M16 Fol/Bio,gr, Py	6	300	-
PC-52	UTM	307270	5891740	??/?	nil	M16 Fol/Bio, Stg qtz, Py	1	56	-
PC-53	UTM	306910	5891405	070/??	nil	M24, Py/Po, Cpy	7	109	-
PC-54	UTM	306905	5891405	070/??	035/??[vq]	Vei qtz/fp Frc, Py	1	12	-
PC-55	UTM	306905	5891405	070/??	070/??[vq]	Vei qtz Bou, Hem	1	13	-
PC-56	UTM	306910	5891455	070/??	nil	M24, Py/Po, Cpy	17	212	-
PC-57	UTM	309665	5893115	250/50	000/??[vq]	Vei qtz	4	121	-
PC-58	UTM	309665	5893120	250/50	nil	M16 Myl/Bio, Stg qtz Ccd, Py/Po	2	1020	-
PC-59	UTM	308405	5892405	??/?	??/?[vq]	Vei qtz Frc/Bou, Py/Po, Cpy	1	249	-
PC-60	UTM	308405	5892405	??/?	nil	M16 Fol, Py, Cpy	<1	350	CD
PC-61	UTM	308290	5892480	??/?	??/?[vq]	Vei qtz Frc/Bou/Ccd, Po, Py, Cpy/Mc	1	51	-
PC-62	UTM	308330	5892500	??/?	nil	M16 Fol, gr, Py/Po	4	460	-
PC-63	UTM	308400	5892400	??/?	??/?[vq]	Vei qtz Frc, bio, mv/fu, tm	6	8	(CD)
PC-64	UTM	308100	5892065	065/??	??/?[vq]	Vei qtz Bou, Hem	1	14	-
PC-65	UTM	308100	5892065	065/??	nil	M24 (chl)	2	136	-
PC-66	UTM	308125	5892070	065/??	nil	M16 Myl + Vei qtz Bou, (Py)	1	8	-
PC-67	UTM	308900	5892820	??/?	nil	M16 Myl, Stg qtz Bou, Py	4	22	CD
PC-68	UTM	308850	5892815	??/?	nil	M16 Myl, Stg qtz Bou, Cpy/Py	3	28	-
PC-69	UTM	308800	5892815	??/?	??/?[vq]	Vei qtz Frc, Ecu chl, Py, Rou	21	22	-
PC-70	UTM	308910	5892835	??/?	??/?[vq]	Vei qtz Frc/Ccd, Py/Po	21	27	MG
PC-71	UTM	308835	5893135	245/70	nil	M16 Myl, Py Lam	29	113	-
PC-72	UTM	308750	5893365	??/?	nil	M16 Fol/Pst, Stg qtz, Py/Po, Cpy	800	70	CD, (MG)
PC-73	UTM	308770	5893365	??/?	??/?[vq]	Vei qtz Frc/Bou/Ccd, Ecu M16 Chl, Py/Po	8	13	CD
PC-74	UTM	308435	5893285	??/?	nil	S9B, Stg qtz, Cpy	338	13	MG
PC-75	UTM	308460	5893285	??/?	nil	M16 Chl, Stg qtz, Cpy	1760	6	MG
PC-76	UTM	307600	5891700	??/?	nil	M16 Fol/Bio, Cpy/Py/Po	9	55	-
PC-77	UTM	307620	5891695	??/?	??/?[vq]	Vei qtz Frc/Bou/Ccd/Hem, Ecu chl, Py/Cpy	3	35	-
PC-78	UTM	307650	5891705	200/80	nil	M16 Fol, gr, Stg qtz, Py/Po	6	238	-
PC-79	UTM	307635	5891700	200/80	nil	M16 Fol/Bio, Stg qtz, Cpy/Py/Po	5	72	(CD)
PC-80	UTM	307635	5891670	035/??	nil	M16 Pst, (Py)	4	193	-

#	REFERE	.. X ..	.. Y ..	FOLIATION	FRACTURATION	LITHOTYPE	Ru	Cu	ALIAS
PC-81	UTM	307635	5891685	??/?/?	nil	M16, Py/Po	5	206	-
PC-82	UTM	307655	5891665	??/?/?	nil	M16 Fol/Bio/Chl, gr, Stg Qtz, Py/Po/Cpy	10	600	-
PC-83	UTM	308030	5892030	245/80	065/??[uq]	Vei Qtz Bou, Py/Po, (Cpy), (Hem)	9	117	CO, MG
PC-84	UTM	308030	5892030	245/80	nil	M24 chl, Py/Po	68	324	CO, MG
PC-85	UTM	302920	5891105	050/85	nil	M16 Myl, Stg Qtz/Cpy/Po/Py	51	86	-
PC-86	UTM	302905	5891130	045/80	nil	M16 Fol/Sil, Py/Cpy/Po	55	59	-
PC-87	UTM	302890	5891145	045/80	055/??[uq]	Vei Qtz, Py/Po	34	42	-
PC-88	UTM	302120	5890590	105/70	??/?/?[uq]	Vei Qtz Pst + M16 Fol/Sil, Bio, Py/Po/Cpy	1	251	-
PC-89	UTM	302110	5890530	065/??	065/??[uq]	Vei Qtz	21	6	-
PC-90	UTM	302115	5890730	105/70	nil	M16 Fol/Bio, Py/Po, Mt	2	52	CO, MG
PC-91	UTM	305395	5891480	??/?/?	nil	M16 Fol, Py/Po/Cpy, Rou	29	222	-
PC-92	UTM	309710	5893125	??/?/?	nil	M16 Pst/Sil/Chl/Cal + Vei Qtz, Py	10	21	-
PC-93	UTM	310300	5893260	??/?/?	nil	M16 Myl, Py	1	12	-
PC-94	UTM	310300	5893260	??/?/?	nil	M16 Myl, Hem	4	109	-
PC-95	UTM	310600	5893350	245/65	??/?/?[uq]	Vei Qtz Bou, Cpy/Mc	12	1490	-
PC-96	UTM	310600	5893390	245/65	nil	M16 Gne/Bio/Eye, Cal, Cpy/Mc	8	1220	-
PC-97	UTM	310605	5893350	245/65	245/65[uq]	Vei Qtz Ccd, Cpy	45	1080	-
PC-98	UTM	310620	5893500	065/??	065/??[uq]	M16 Fol, Stg Qtz/epi, Py/Po/Cpy	10	226	CO
PC-99	UTM	308900	5892840	??/?/?	??/?/?[uq]	Vei Qtz, Py	2	41	-
PC-100	UTM	308710	5892800	??/?/?	??/?/?[uq]	Vei Qtz Ccd, Gn, Ama Cpy, Py	523	60	Ag
PC-101	UTM	308000	5892390	065/??	nil	M16 Myl, Stg Qtz, Py, Po, Cpy	30	172	CO
PC-102	UTM	307960	5892400	065/??	045/??[uq]	Vei Qtz/fp Peg, mv, tm	167	7	-
PC-103	UTM	307970	5892410	065/??	065/??[uq]	Vei Qtz Ccd, Cpy	342	420	-
PC-104	UTM	308090	5892330	065/??	nil	M16 Myl, Stg Qtz, Py/Po/Cpy	7	117	CO
PC-105	UTM	311800	5893735	??/?/?	??/?/?[uq]	Vei Qtz Bou	1	79	-
PC-106	UTM	311800	5893735	??/?/?	nil	M16 Myl, Stg Qtz, Py	1	101	-
PC-107	UTM	312835	5894115	??/?/?	nil	M16 Myl, Stg Qtz, Py/Po/Cpy, Rou	61	860	-
PC-108	UTM	312835	5894115	??/?/?	??/?/?[uq]	Vei Qtz	17	155	-
PC-109	UTM	313000	5894235	145/??	nil	M16 Myl	9	109	-
PC-110	UTM	313000	5894235	065/??	nil	M24 bio, Eye Qtz	4	64	-
PC-111	UTM	313070	5894280	??/?/?	060/??[dk]	I38, Py	2	49	-
PC-112	UTM	306905	5891455	075/??	nil	M24 bio, Stg Qtz, Py/Cpy	5	45	CO
PC-113	UTM	306905	5891455	075/??	nil	M16 Myl, Py/Cpy	3	54	CO
PC-114	UTM	306905	5891435	075/??	nil	M24, Py	34	133	-
PC-115	UTM	306915	5891470	075/??	nil	M24 Brc/Sil	3	99	-
PC-116	UTM	308030	5892030	245/80	nil	M16 Myl, Vei Qtz, Rou	8	26	CO, MG
PC-117	UTM	306850	5893170	??/?/?	??/?/?[uq]	Vei Qtz	<1	3	-
PC-118	UTM	306860	5893105	060/??	060/??[uq]	Vei Qtz	5	7	-
PC-119	UTM	306720	5893000	??/?/?	??/?/?[uq]	Vei Qtz (Frc)	20	15	-
PC-120	UTM	306215	5892840	055/??	105/??[uq]	Vei Qtz/fp Peg/Bou	25	9	-

#	REPERE	.. X ..	.. Y ..	FOLIATION	FRACTURATION	LITHOTYPE	Au	Cu	ALIAS
PC-121	UTM	305920	5892785	??/?	??/?[vq]	Vei qtz Frc, chl, Py	153	45	MG
PC-122	UTM	305800	5892690	??/?	??/?[vq]	Vei qtz Dcd	5	5	MG
PC-123	UTM	305575	5892630	??/?	nil	M16 Myl, Stg qtz, Hem/Py, Rou	134	29	CD, MG
PC-124	UTM	305575	5892630	??/?	??/?[vq]	Vei qtz Frc/Ccd, chl/bio, ?Po	17	11	MG
PC-125	UTM	308630	5892780	060/?	nil	M16 Fol, Py	17	35	-
PC-126	UTM	308610	5892760	060/?	060/?[vq]	Vei qtz Bou	54	33	-
PC-127	UTM	308580	5892760	060/?	nil	M16 Myl, Vei qtz, Py	5	53	-
PC-128	UTM	308335	5892570	065/?	nil	M16 Fol/Chl/Sil, Stg qtz, Py	113	43	-
PC-129	UTM	308275	5892570	035/?	nil	M16 Myl, Stg qtz	25	100	-
PC-130	UTM	308470	5892430	065/?	??/?[vq]	Vei qtz Frc/Bou/Hem	2	24	-
PC-131	UTM	308470	5892465	065/?	065/?[vq]	Vei qtz, bio, tm	<1	4	-
PC-132	UTM	308445	5892440	065/?	065/?[vq]	Vei qtz, (Hem)	<1	59	CD
PC-133	UTM	308435	5892460	115/85	115/85[vq]	Vei qtz/fp	1	3	(CD)
PC-134	UTM	308435	5892460	115/85	nil	M16 Fol/Bio, gr	<1	89	(CD)
PC-135	UTM	308430	5892420	??/?	??/?[vq]	Vei qtz/fp, bio, tm, Po	<1	9	-
PC-136	UTM	308560	5892400	??/?	??/?[vq]	Vei qtz frc	1	14	-
PC-137	UTM	308495	5892380	??/?	nil	M16 Fol, Stg qtz/Py/Po/[Cpy]	4	620	-
PC-138	UTM	303435	5890745	065/?	nil	M16 fol/Bio, Py/Po, [Cpy]	1	315	(CD)
PC-139	UTM	303435	5890725	105/?	nil	M24 Bio	6	30	-
PC-140	UTM	303435	5890725	??/?	nil	M16 Fol/Bio, Py/Cpy/Bo, Rou	54	560	(CD)
PC-141	UTM	303435	5890725	??/?	??/?[vq]	Vei qtz/fp Peg, bio	1	3	-
PC-142	UTM	303425	5890820	285/80	??/?[vq]	Vei qtz/fp Peg/Frc, bio	3	6	-
PC-143	UTM	303425	5890825	285/80	285/80[vq]	Vei qtz, Ecu M16 Myl	42	17	-
PC-144	UTM	303375	5890810	285/80	??/?[vq]	Vei qtz (Bou), (cal/epi/fp), Cpy	<1	6	-
PC-145	UTM	303375	5890810	285/80	nil	M16 Myl, Epi/Cal, Eye qtz	8	7	-
PC-146	UTM	303425	5890810	285/80	110/?[vq]	Vei qtz Frc/Hem, Py	3	12	-
PC-147	UTM	303425	5890810	285/80	nil	M24, Stg qtz Bou	<1	46	-
PC-148	UTM	303125	5891525	285/45	??/?[vq]	Vei qtz (Frc)/Bou, cal/epi, Ecu chl	4	34	-
PC-149	UTM	303150	5891520	285/45	nil	M24 bio, Cpy	19	30	-
PC-150	UTM	303155	5891550	285/45	nil	M24 bio, Cpy	4	38	-
PC-151	UTM	305160	5891575	285/45	nil	M24 bio, Cpy	5	22	-
PC-152	UTM	305160	5891600	285/45	nil	M24 bio, Cpy	3	18	-
PC-153	UTM	305165	5891625	285/45	nil	M24 bio, Cpy	3	23	-
PC-154	UTM	302815	5891040	050/85	nil	M16 Myl, Stg qtz, Py/Cpy, (Lim)	33	179	CD, (MG)
PC-155	UTM	302815	5891040	050/85	nil	M16 Myl, Stg qtz, Py/Po/Sp	6	115	CD, (MG)
PC-156	UTM	302165	5891955	140/?	140/?[vq]	Vei qtz/fp Peg/Ccd	16	8	-
PC-157	UTM	302305	5891940	095/?	095/?[dk]	IIC fp/qtz/bio	1	8	-
PC-158	UTM	302315	5891925	095/?	nil	M24 bio/chl	2	44	-
PC-159	UTM	302315	5891985	095/?	nil	M24, Stg qtz	42	12	-
PC-160	UTM	306700	5891320	065/?	025/?[vq]	Vei qtz/fp Peg, tm, gr/mv	8	8	-

#	REFERE	.. X ..	.. Y ..	FOLIATION	FRACTURATION	LITHOTYPE	Au	Cu	ALIAS
PC-161	UTM	306700	5891300	065/??	065/??[vq]	Vei qtz Bou, Lim	2	8	-
PC-162	UTM	306655	5891280	065/??	nil	M24 bio, Py	5	35	-
PC-163	UTM	306650	5891280	065/??	065/??[vq]	Vei qtz Frc/Bou, Hem/Lim	<1	32	-
PC-164	UTM	306650	5891280	065/??	065/??[vq]	Vei qtz Frc/Bou, Hem/Lim	7	17	-
PC-165	UTM	306675	5891820	065/??	000/??[30]	M24 chl/epi, (Py)	154	26	-
PC-166	UTM	306675	5891820	065/??	???/??[vq], 000/??[30]	Vei qtz Frc/Pst	43	7	-
PC-167	UTM	306350	5891210	065/??	nil	M16 Fol, gr, Stg qtz, Py/Cpy, Rou	337	159	-
PC-168	UTM	306050	5891230	065/??	040/??[vq]	Vei qtz Bou/Ocd/Hem, Py	5	70	-
PC-169	UTM	306050	5891230	065/??	nil	M16 Myl/Bio, gr, Rou	1	86	-
PC-170	UTM	303320	5890940	075/??	nil	M16 Fol/Bio, Stg Py, Po/Cpy, Rou	39	1220	CO
PC-171	UTM	303320	5890930	075/??	nil	M16 Fol/Bio, Stg qtz/Py/Cpy, Rou	13	314	CO
PC-172	UTM	303320	5890905	270/80	270/80[vq], 140/??[30]	Vei qtz/fp (Bou)	5	44	-
PC-173	UTM	303355	5890940	075/??	nil	M16 Fol, Py/Cpy, Stg qtz	3	353	-
PC-174	UTM	303335	5890950	075/??	nil	M16 Fol, Stg qtz/Py, Rou	8	296	CO
PC-175	UTM	303365	5890955	085/??	nil	M16 Myl/Bio, Py/Po	<1	74	(MG)
PC-176	UTM	303245	5891050	090/??	140/??[30]	M24 bio, Py/Po	4	146	-
PC-177	UTM	303245	5891050	090/??	140/??[30]	M24 bio, Py/Po	4	182	-
PC-178	UTM	303345	5890980	245/70	245/70[vq]	Vei qtz Frc/Bou, tm	<1	102	-
PC-179	UTM	303405	5890920	065/??	nil	M16 Fol/Bio, Stg qtz, Stg Py, Rou	2	200	-
PC-180	UTM	303080	5890930	065/??	nil	M16 Fol/Bio, Py/Po	9	156	MG
PC-181	UTM	303070	5890950	065/??	nil	M24, Stg qtz, Py, (Cpy)	<1	64	-
PC-182	UTM	303070	5890945	065/??	nil	M16 Fol/Chl/Bio, Stg Py, Cpy/Po, (Stg qtz), Rou	43	98	CO
PC-183	UTM	303075	5890955	280/80	nil	M24 bio, Ama Py, Rou	3	95	-
PC-184	UTM	303075	5890955	280/80	nil	M24 bio	<1	40	-
PC-185	UTM	303075	5890960	280/80	nil	M24 chl, Stg/Eye qtz	1	39	-
PC-186	UTM	303075	5890960	280/80	nil	?M24, Rou	<1	31	-
PC-187	UTM	303075	5890955	280/80	???/??[vq]	Vei qtz Bou/Pst, Hem/Lim	4	7	-
PC-188	UTM	302835	5890975	055/85	nil	M16 Fol/Sil, Py, Rou	6	210	CO
PC-189	UTM	302830	5890975	055/85	nil	M16 Fol/Sil, Py	5	264	-
PC-190	UTM	303025	5890765	???/??	nil	M16 Fol/Bio/Chl, gr, Po/Py, Rou	455	201	MG
PC-191	UTM	302745	5890880	065/??	065/??[vq]	Vei qtz/fp Frc, cal, Ecu M16 Myl/Chl	6	16	-
PC-192	UTM	302750	5890875	065/??	nil	M24 chl, Py	47	340	(CO),MG
PC-193	UTM	302745	5890880	065/??	nil	M16 Myl, Py, Rou	5	53	-
PC-194	UTM	302695	5890870	140/??	nil	M16 Myl, Py/Po, Rou	5	114	CO, MG
PC-195	UTM	329750	5893685	270/75	nil	M16 Myl, Py/Cpy, Stg qtz	113	3540	-
PC-196	UTM	326550	5892185	???/??	245/70[vq]	Vei qtz Bro, Ecu bio, Cpy	310	18000	-
PC-197	UTM	329750	5893685	270/75	270/70[vq]	Vei qtz Frc, Py/Cpy	35	398	-
PC-198	UTM	329650	5833680	145/??	???/??[dk]	I1 Cis/Sil, (chl)	9	800	-
PC-199	UTM	303165	5890960	270/80	nil	M16 Fol/Bio, Stg qtz, Py	3	1060	-
PC-200	UTM	329750	5893690	270/75	240/80[vq]	Vei qtz Frc, (Py/Cpy), (Hem)	<1	8	-

#	REPERE	.. X ..	.. Y ..	FOLIATION	FRACTURATION	LITHOTYPE	Au	Cu	ALIAS
PC-201	UTM	329820	5893680	??/?	235/80[vq]	Vei qtz Frc, Cpy, (Lim)	5	174	-
PC-202	UTM	302995	5890960	090/?	nil	M16 Myl/Chl, Py, Lim/Hem	<1	142	-
PC-203	UTM	302990	5890905	090/?	085/?[vq]	Vei qtz/fp Peg, Py, Hem/Lim	<1	9	-
PC-204	UTM	329700	5893680	??/?	265/80[vq]	Vei qtz Frc, Cpy, (Hem/Lim)	<1	63	-
PC-205	UTM	329650	5893680	??/?	295/80[vq]	Vei qtz Frc/Pst/Bou, Cpy, (Hem/Lim)	<1	199	-
PC-206	UTM	330070	5893370	270/75	nil	M16 Myl/Chl, Po/Py, Stg qtz	95	32	MG
PC-207	UTM	330065	5893370	270/75	270/75[vq]	Vei qtz Frc/Bou/Hem/Lim, Ama Po	1	6	-
PC-208	UTM	302795	5890870	??/?	??/?[vq]	Vei qtz/fp Ccd, cal, epi, Py	<1	95	-
PC-209	UTM	302780	5890860	185/75	nil	M24, Py, (Cpy)	<1	95	-
PC-210	UTM	302965	5890980	055/?	nil	M16 Myl/Bio, Stg qtz, Py/Cpy	13	257	-
PC-211	UTM	330060	5893370	270/75	270/75[vq]	Vei qtz Frc/Bou	6	10	-
PC-212	UTM	330060	5893370	270/75	nil	M16 Myl/Chl, Py/Po, Stg qtz/Cpy, Hem/Lim	102	111	CD, MG
PC-213	UTM	330075	5893370	270/75	nil	M16 Myl/Chl, Py, Po/Cpy, Stg qtz	3	81	CD
PC-214	UTM	335415	5895935	??/?	225/80[vq]	Vei qtz Frc, Ecu bio/chl, Py, (Cpy), Hem/Lim	425	1040	-
PC-215	UTM	335395	5895900	235/80	nil	M16 (Fol)/Bio, Stg qtz, Py, (Rou)	7	480	-
PC-216	UTM	335400	5895905	235/80	235/80[vq]	Vei qtz, Ecu chl, Cpy/(Bo)/(Mc)	1	14	-
PC-217	UTM	335395	5895900	235/80	235/80[vq]	Vei qtz Frc, Ecu bio, (Py), (Lim)	3	172	-
PC-218	UTM	335390	5895845	025/85	nil	M16 Fol/(Tlc)/(Bio), (Py/Cpy), Hem	23	1020	-
PC-219	UTM	335390	5895845	025/85	nil	M24 chl/bio, Py/Cpy	23	2020	-
PC-220	UTM	335900	5896120	025/?	025/?[vq]	Vei qtz Frc/Ccd, Ama Cpy, Hem	11	480	MG, Ag
PC-221	UTM	335900	5896120	025/?	025/?[vq]	Vei qtz Frc, Ama Cpy/(Bo), Ecu M16, Lim	55	1120	MG, Ag
PC-222	UTM	335895	5896120	025/?	nil	M16 Fol/?Sil, (Cal), Py/Cpy, Rou	11	317	-
PC-223	UTM	335895	5896120	025/?	nil	M16 Fol/Bio, Py	6	256	-
PC-224	UTM	335950	5896100	??/?	nil	S9B, Chl, Py/Po, Rou	2	22	MG
PC-225	UTM	335950	5896100	??/?	nil	S9B, Chl, Rou	2	21	MG
PC-226	UTM	335955	5896095	??/?	nil	M16 Myl, Stg Cpy, Rou	16	1880	-
PC-227	UTM	335955	5896095	??/?	nil	M16, Stg Py	20	1200	-
PC-228	UTM	335950	5896095	??/?	??/?[vq]	Vei qtz	2	18	-
PC-229	UTM	335955	5896090	070/?	nil	M16 Fol/Bio/Chl, Py, Rou	62	104	Ag
PC-230	UTM	335965	5896085	070/?	nil	M16 Fol/Chl, Stg Cpy	14	1260	-
PC-231	UTM	335705	5895955	035/?	060/?[vq]	Vei qtz/chl Lam/Bro, Lim	40	19	-
PC-232	UTM	335705	5895955	035/?	nil	M16 Fol/Sil, gr, Cpy, Hem	13	183	-
PC-233	UTM	335620	5895855	035/?	nil	M16 Myl, (Lim)	2	20	-
PC-234	UTM	335645	5895850	035/?	nil	? M16 Fol, Py, Rou	8	70	-
PC-235	UTM	335645	5895850	035/?	nil	M24, epi, Lim	93	4	-
PC-236	UTM	335725	5895990	035/?	nil	S9B, Py, Lim	13	25	-
PC-237	UTM	335325	5895615	??/?	??/?[vq]	Vei qtz Bro, Ecu chl/ac, Lim	4	8	MG
PC-238	UTM	335325	5895615	??/?	??/?[vq]	Vei qtz Bro, Ecu chl/ac, Lim	28	19	MG
PC-239	UTM	335310	5895585	025/85	nil	M16 Myl, Stg qtz, Stg Po, Py/Cpy, Rou	4	520	Ag
PC-240	UTM	335295	5895570	025/85	nil	S9B, gr, (Py), (Lim)	5	33	MG

#	REPERE	X	Y	FOLIATION	FRACTURATION	LITHOTYPE	Au	Cu	ALIAS
PC-241	UTM	335295	5895570	??/??	??/??[uq]	Ve1 qtz Bro, Py/Po	15	116	MG
PC-242	UTM	335300	5895575	??/??	nil	M16 Myl/Bio/Chl, Stg Fo/Py, Rou	1	144	-
PC-243	UTM	335330	5895620	??/??	nil	M16 Fol/Sil, gr, Cpy	11	285	CO, MG
PC-244	UTM	335400	5895690	??/??	??/??[uq]	Ve1 qtz Bro, Ecu chl/az. (Fp)	7	25	CO
PC-245	UTM	335415	5895720	??/??	nil	S9B, (chl), Cpy	22	142	MG
PC-246	UTM	335165	5895385	015/80	nil	M16 Fol/Chl, Stg qtz, Py/Po, Stg Cpy	13	1900	CO, MG
PC-247	UTM	335165	5895385	045/80	nil	M16 Fol/Chl, Stg qtz, Cpy	39	480	-
PC-248	UTM	335160	5895385	045/80	045/80[uq]	Ve1 qtz Frc/Ccd, Lim/Hem	<1	9	-
PC-249	UTM	335160	5895415	??/??	nil	M16 Myl/Bio/Chl, Py/Cpy	7	154	CO
PC-250	UTM	335160	5895415	??/??	nil	M16 Myl/Chl, Py/Cpy	109	87	CO
PC-251	UTM	334710	5895890	??/??	065/??[uq]	Ve1 qtz Bro, Ecu Bio	<1	7	-
PC-252	UTM	335100	5895400	??/??	nil	S9B, Chl	<1	18	MG
PC-253	UTM	334765	5895915	060/85	nil	M1 bio/Eye fp/Eye qtz	8	96	-
PC-254	UTM	334715	5895890	060/??	nil	M16 Fol, Stg qtz, (Py/Cpy)	<1	135	-
PC-255	UTM	334710	5895890	060/??	nil	M24 bio	<1	27	-
PC-256	UTM	334765	5895975	060/??	095/??[80]	M1 bio/Eye fp/qtz, Py/Cpy	20	80	-
PC-257	UTM	334310	5896265	080/85	??/??[uq]	Ve1 qtz Ccd	<1	6	-
PC-258	UTM	334310	5896265	080/85	nil	M16 Myl/Bio, Cal	<1	113	-
PC-259	UTM	334280	5896305	??/??	125/??[uq]	Ve1 qtz	<1	12	-
PC-260	UTM	334400	5896275	265/75	nil	M16 (Fol)/Bio/Chl, Stg qtz (Lim), Cpy/Py	3	59	-
PC-261	UTM	334400	5896275	265/75	nil	M16 (Fol)/Bio/(Chl), Stg qtz, Py/Cpy	1	127	-
PC-262	UTM	334410	5896310	075/??	nil	M16 (Fol)/Chl, Stg qtz Ccd, Cpy	9	93	-
PC-263	UTM	335450	5897950	065/85	nil	?M24 (chl), Stg Py, Rou	701	138	(CO)
PC-264	UTM	335450	5897950	065/85	nil	M16 Myl, Py/Cpy	9	43	-
PC-265	UTM	335425	5897975	050/85	045/??[uq]	Ve1 qtz Ccd, Ecu M16 Fol, Cpy	4	47	-
PC-266	UTM	335425	5897985	050/85	nil	M16 (Myl)/Bio, Py/Cpy	4	229	-
PC-267	UTM	335405	5898005	050/85	nil	M16 Myl/Bio/Chl, Py/Cpy	<1	13	-
PC-268	UTM	335465	5897980	065/85	040/85[uq], 235/80[70]	Ve1 qtz Frc/Ccd, Lim, (Hem)	<1	10	-
PC-269	UTM	335465	5897980	065/85	nil	M16 Fol/Rcx/Sil, Py/Cpy, (Hem)	2	111	-
PC-270	UTM	335465	5897980	065/85	nil	M24 chl/amp, Py/Cpy, (Rz/Mc), Lim	24	2400	-
PC-271	UTM	335485	5897975	237/85	240/85[uq]	Ve1 qtz Bro/Ccd, Ecu chl/Py/Cpy	11	52	-
PC-272	UTM	335475	5897925	230/80	230/80[uq]	Ve1 qtz Bou/Ccd, Ama Py, Hem/Lim	2	155	-
PC-273	UTM	335475	5897925	230/80	nil	M16 Fol/Rcx, Ama Py	2	184	-
PC-274	UTM	335475	5897920	230/80	nil	M16 (Fol), Py	4	500	-
PC-275	UTM	335470	5897925	230/80	nil	M16 (Fol), Py, (Sp), Rou	4	660	-
PC-276	UTM	335435	5897965	??/??	065/85[uq]	Ve1 qtz, Ecu M16	<1	4	-
PC-277	UTM	335705	5895955	040/??	nil	M16 Fol/Chl, Stg qtz Frc, Po, Rou	10	170	MG
PC-278	UTM	303255	5890960	250/75	250/75[uq]	Ve1 qtz Hem/Lim/Ccd, Ecu M16 Chl, Py	<1	90	-
PC-279	UTM	303285	5890990	255/80	255/80[uq], 345/80[99]	Ve1 qtz Frc/Ccd, Ecu M16	<1	6	Ag
PC-280	UTM	303255	5890990	250/75	nil	M16 Fol/Bio, Stg qtz, Py	<1	70	-

#	REPERE	.. X ..	.. Y ..	FOLIATION	FRACTURATION	LITHOTYPE	Au	Cu	ALIAS
PC-281	UTM	303285	5890990	255/80	nil	M16 Fol, Stg qtz, Py	1	39	-
PC-282	UTM	303145	5890960	275/75	045/75[50], 170/35[20]	M16 Myl/Bio, Stg Py/Cpy	<1	98	-
PC-283	UTM	303100	5890935	085/85	175/40[40]	M16 Fol/Bio/Chl, gr, Py/Cpy, Lim	10	70	-
PC-284	UTM	303095	5890935	080/80	080/80[vq]	Vel qtz/bio, fp, Py, Lim	<1	9	-
PC-285	UTM	303100	5890935	265/70	135/??[60]	M16 Fol/Bio, gr, Stg qtz, ar, Py/Cpy, Lim	6	84	-
PC-286	UTM	302875	5890895	??/?/?	110/??[vq]	Vel qtz/fp Peg, bio, gr, Stg Py, Stg Cpy, Lim/Hem	10	179	-
PC-287	UTM	302860	5890895	080/??	135/??[99]	M16 Fol/Bio/Chl, gr, Stg Py/Cpy, Rou	<1	155	CO
PC-288	UTM	302840	5890880	045/??	nil	M16 Fol/Bio, gr, Py/Cpy, Rou	<1	500	CO
PC-289	UTM	302830	5890875	045/??	nil	M16 Fol/Bio, gr, Py/Cpy, Rou	2	1230	CO
PC-290	UTM	302795	5890870	??/?/?	nil	M24 chl/bio, Stg/Eye qtz, Ama Py	<1	59	-
PC-291	UTM	302695	5890865	140/??	nil	M16 Myl/Chl, Stg qtz, Py, (Cpy), Rou	18	259	CO, MG
PC-292	UTM	302690	5890860	140/??	nil	M16 Myl/Chl, Py, (Cpy), Rou	76	350	CO, MG
PC-293	UTM	302700	5890840	140/??	nil	M16 Myl, Py, (Cpy)	2	73	CO, MG
PC-294	UTM	302720	5890865	??/?/?	nil	M24 bio, gr, Py/Po, Ama Cpy, Rou	5	212	MG
PC-295	UTM	302655	5890895	??/?/?	nil	M16 Myl, Stg qtz, Cal, Po, Cpy/Py	<1	194	-
PC-296	UTM	303025	5890970	045/80	nil	M24 bio, Stg qtz Frc, Py, Rou	3	107	-
PC-297	UTM	302945	5890925	040/70	040/??[vq]	Vel qtz/fp Peg/Frc, cal, (Py), (Hem)	<1	14	-
PC-298	UTM	302945	5890925	045/??	??/?/?[vq]	Vel qtz, Stg cal, Py, Hem/Lim	1	29	-
PC-299	UTM	302945	5890925	045/??	nil	M24 bio/chl, Py, ?Cpy	<1	163	-
PC-300	UTM	302830	5890875	045/??	??/?/?[vq]	Vel qtz Dcd/Hem/Lim	<1	37	-
PC-301	UTM	302700	5890840	080/??	nil	M16 Myl/Bio, gr, Stg qtz, Stg Py/Cpy	3	53	MG
PC-302	UTM	302700	5890845	080/??	??/?/?[vq]	Vel qtz/fp Peg/Bro/Dcd, epi, gr, (Hem)	<1	8	-
PC-303	UTM	302705	5890840	065/??	nil	M24 chl, Stg Cpy/Py/Po	<1	90	CO, MG
PC-304	UTM	302750	5890875	??/?/?	055/??[vq]	Vel qtz/fp, Pst, cal/epi	3	9	-
PC-305	UTM	303410	5890565	??/?/?	055/??[vq]	Vel qtz Frc/Bou/Dcd, Py, (Hem/Lim)	1	78	-
PC-306	UTM	303410	5890565	??/?/?	nil	M16 Myl/Bio, Stg qtz Frc/Cpy/Py	<1	202	-
PC-307	UTM	303410	5890570	??/?/?	??/?/?[vq]	Vel qtz Frc, epi, (cal), (Lim)	<1	7	-
PC-308	UTM	303520	5890510	??/?/?	nil	M24 bio	<1	9	-
PC-309	UTM	303520	5890510	??/?/?	??/?/?[dk]	I16 qtz/fp/amp/gr/mv	2	6	-
PC-310	UTM	303010	5890805	350/50	090/??[60]	M24 bio/chl, gr, Stg qtz Hem, (Py), Rou	2	52	MG
PC-311	UTM	303010	5890830	350/50	nil	M16 Myl/Bio, gr, Py, Lim	1	269	-
PC-312	UTM	303015	5890800	055/??	nil	M16 Chl, gr, Py, (Cpy), Rou	2	62	MG
PC-313	UTM	303025	5890765	275/85	nil	M16 Fol/Bio/Chl, gr, Po, Py	228	226	MG
PC-314	UTM	303025	5890765	275/85	nil	M16 Fol/Chl/Bio, gr	2	3	-
PC-315	UTM	303035	5890855	280/60	nil	M16 Fol/Bio/Chl, gr, Stg qtz, Py	<1	29	-
PC-316	UTM	303035	5890875	280/60	050/??[vq]	Ama qtz Bro, Ecu chl, Py	9	29	-
PC-317	UTM	303720	5890960	260/80	nil	M24 chl, Stg qtz, Py, Cpy	22	253	MG
PC-318	UTM	303720	5890960	260/80	260/80[vq]	Vel qtz Bou, Py	7	143	-
PC-319	UTM	303850	5891000	265/65	nil	M16 Fol, gr, Py/Po	3	139	MG
PC-320	UTM	303560	5891060	265/65	nil	M16 Fol/Bio/Chl, Stg qtz/Py/(Cpy), (Epi/Cal)	16	101	-

#	REPERE	.. X ..	.. Y ..	FOLIATION	FRACTURATION	LITHOTYPE	Au	Cu	ALIAS
PC-321	UTM	303570	5891095	265/65	nil	M16 Fol/Chl/Bio, gr, Po, Py/Cpy, Rou	30	3060	MG
PC-322	UTM	303525	5891115	265/65	nil	M24 chl/ac, Stg qtz Frc, Po, (Cpy)	6	137	-
PC-323	UTM	303650	5891000	???/??	nil	M16 Bio, Stg qtz/chl, Po, Py/Cpy, Rou	75	271	-
PC-324	UTM	303645	5891000	105/85	???/??[uq]	Vel qtz/fp Peg/Dcd, bio	<1	6	-
PC-325	UTM	303645	5891015	105/85	155/80[50]	M16 Fol/Sil/Spt/Chl, Py	<1	9	-
PC-326	UTM	303550	5891100	???/??	nil	M24 bio/chl, Py/Cpy	11	215	-
PC-327	UTM	303595	5891110	???/??	nil	M24 chl, Po, (Cpy), gr, epi	9	262	MG
PC-328	UTM	303135	5890540	065/75	???/??[uq],025/??[50]	Vel qtz Bro/Dcd, bio/gr, Lim	16	6	-
PC-329	UTM	303125	5890535	065/75	nil	M24, Eye qtz/??fp/bio/chl	<1	52	-
PC-330	UTM	303650	5890950	065/85	215/65[uq],345/80[80]	Vel qtz/fp Peg/Frc/Dcd	<1	12	-
PC-331	UTM	303650	5890950	065/85	nil	M16 Fol/Bio, gr, (Chl), Cpy, (Lim/Hem)	<1	298	-
PC-332	UTM	303740	5890980	090/85	nil	M16 Fol/Bio, gr, Stg qtz Frc, Cpy/Py Dis/Stg, (Lim/Hem)	54	69	-
PC-333	UTM	303740	5890980	090/85	nil	M16 Fol/Bio, gr, Stg qtz Frc, Cpy/Py Dis/Stg, (Lim/Hem)	79	64	-
PC-334	UTM	303735	5890985	???/??	nil	M16 Fol/Bio/Chl, gr, Py	1	148	-
PC-335	UTM	303740	5890985	085/85	nil	M16 Myl, gr, Stg qtz/Py	12	38	-
PC-336	UTM	303695	5890970	075/85	170/85[30]	M16 Myl/Bio/Chl, gr, Stg qtz, Py/Cpy, Lim	17	35	-
PC-337	UTM	303695	5890970	085/85	nil	M24 chl/mu, Rou	6	11	-
PC-338	UTM	303695	5890970	085/85	075/85[uq]	Vel qtz/fp Peg, bio, (gr)	<1	9	-
PC-339	UTM	303125	5890485	140/??	140/??[uq]	Vel qtz/fp Peg/Frc, bio, fs	<1	3	-
PC-340	UTM	303125	5890455	285/55	015/85[99]	M24 bio, Py, (Cpy), Stg qtz Hem	<1	172	-
PC-341	UTM	303125	5890455	295/55	015/80[99]	M16 Fol/Bio/Mv, Stg qtz/epi Bou, (Lim)	<1	13	-
PC-342	UTM	303125	5890450	280/60	nil	M24 bio, Stg qtz, (Lim)	<1	4	-
PC-343	UTM	303035	5890400	265/70	nil	M16 Myl/Bio, Stg qtz/fp, (Lim)	<1	6	-
PC-344	UTM	303035	5890400	080/??	080/??[uq]	Vel qtz/fp/fs Peg/Frc, bio, (Hem/Lim)	<1	5	-
PC-345	UTM	303200	5890455	270/55	355/80[99]	M24 chl/bio, epi, Stg qtz, Py, Lim/Hem	<1	119	-
PC-346	UTM	303125	5890450	065/??	015/80[99]	M16 Myl/Chl/Bio, gr/epi, Py, (Lim/Hem)	<1	520	-
PC-347	UTM	303200	5890335	265/75	nil	M16 Fol/Chl/Bio, Stg qtz	<1	2	-
PC-348	UTM	303200	5890335	265/75	???/??[uq]	Vel qtz/fp Peg/Dcd, bio, (Lim)	<1	3	-
PC-349	UTM	303155	5890595	???/??	nil	M16 Fol/Chl/Bio, Py/Cpy, Rou	<1	660	CO
PC-350	UTM	303080	5890595	340/50	nil	M24 chl/bio/Prx, Py, Cpy, Lim/Hem	<1	136	-
PC-351	UTM	302960	5890595	275/55	nil	M16 Myl/Chl, Py/Po	<1	520	-
PC-352	UTM	302925	5890595	275/55	nil	M16 Myl/Chl, Cpy/Py/Po, Epi, Hem	<1	1840	-
PC-353	UTM	302940	5890575	280/60	280/60[uq]	Vel qtz/fp Peg, (Lim)	<1	7	-
PC-354	UTM	302940	5890575	280/60	nil	M24 bio, (Py/Cpy)	<1	44	-
PC-355	UTM	302940	5890550	280/60	nil	M24 bio, Po, (Cpy)	<1	97	-
PC-356	UTM	302945	5890575	280/60	nil	M24 bio, Po, (Cpy)	<1	85	-
PC-357	UTM	302930	5890545	255/70	nil	M24 bio, Eye qtz	<1	51	-
PC-358	UTM	302930	5890545	260/55	260/60[uq]	Vel qtz Frc, bio, Hem, (Lim)	<1	33	-
PC-359	UTM	302910	5890580	285/55	nil	M24 bio, Po, Py	<1	112	(MG)
PC-360	UTM	302910	5890575	???/??	???/??[uq]	Vel qtz Dcd, epi, Po, Sp	<1	71	MG

#	REPERE	.. X ..	.. Y ..	FOLIATION	FRACTURATION	LITHOTYPE	Ru	Cu	ALIAS
PC-361	UTM	302915	5890575	??/?/?	??/?/?[uq]	Vel qtz Dad, epi, Po, Sp	1	81	MG
PC-362	UTM	303155	5890595	??/?/?	075/?/?[uq]	Vel qtz (Frc), Py, (Lim)	<1	10	-
PC-363	UTM	303080	5890595	315/50	nil	M24 bio/chl, Py/Cpy/Po, Rou	<1	141	CD
PC-364	UTM	302720	5890920	265/80	nil	M24 bio, Py	<1	126	±
PC-365	UTM	302715	5890940	045/70	nil	M24 bio/chl, Py/Po/Cpy	19	151	-
PC-366	UTM	302730	5890930	325/60	320/?/?[uq]	?Vel qtz Bra, Lim	3	251	-
PC-367	UTM	302750	5890915	325/60	nil	M16 Myl/Chl, Stg Py/Cpy	65	1520	-
PC-368	UTM	303655	5890810	220/85	185/80[80]	M24 bio/chl, gr, Stg qtz Frc, Py, Cpy, Po	12	105	MG
PC-369	UTM	302540	5890890	245/85	165/75[99]	M24 (chl), Py, Stg qtz Frc	<1	121	-
PC-370	UTM	302620	5890905	060/85	nil	M16 Myl/Chl/Bio, Epi, Po, Lim/Hem	6	740	-
PC-371	UTM	302520	5890830	055/80	150/80[99]	M16 Myl/Bio/Chl, gr, Stg qtz Ccd, Lim/Hem, Py/Cpy	5	338	-
PC-372	UTM	302520	5890820	220/85	125/80[99]	M24 bio, gr, Stg qtz, Py, (Cpy)	11	57	-
PC-373	UTM	302540	5890860	220/85	nil	M16 Myl/Chl, Stg qtz/Py, Lim	36	43	-
PC-374	UTM	302295	5890920	025/80	nil	M16 Fol/Bio/Chl, gr, Py/Cpy, Lim	16	540	-
PC-375	UTM	303470	5890810	250/85	250/85[uq], 145/80[99]	Vel qtz Frc/Ccd, bio, Ecu chl, Py, Lim	3	21	MG
PC-376	UTM	303655	5890810	045/75	125/?/?[80]	M16 Fol/Chl/Bio, gr, Cpy, Po, Py, Lim	18	108	MG
PC-377	UTM	303500	5890805	300/85	300/85[uq]	Vel qtz Frc/Bou/Ccd, (Hem/Lim)	<1	5	-
PC-378	UTM	303500	5890810	300/85	nil	M24 bio/chl, gr, Stg/Eye qtz, Py	25	159	-
PC-379	UTM	303495	5890810	275/80	275/80[uq]	Vel qtz Frc/Ccd/Hem/Lim, Ecu M16 Chl, Py/Cpy	2	46	-
PC-380	UTM	303495	5890810	275/80	nil	M24 chl/bio, Stg qtz Pst, (Py)	<1	4	-
PC-381	UTM	302800	5890940	025/80	nil	M16 Fol, Stg qtz/Py/Cpy, Rou	<1	153	-
PC-382	UTM	302805	5890930	245/65	nil	M16 Myl/Chl, Stg qtz Ccd, Po	4	176	CD, (MG)
PC-383	UTM	302820	5890980	??/?/?	nil	M16 Chl, gr, Po, Rou	31	400	-
PC-384	UTM	302305	5890890	055/85	125/85[99]	M16 Myl/Bio, gr, Py, Cpy, Lim/Hem	<1	139	-
PC-385	UTM	302215	5890915	215/75	nil	M16 Myl/Bio, Py, Lim	<1	52	-
PC-386	UTM	301940	5891205	355/50	nil	M24 chl, gr, Stg qtz Frc/Py/Po, Rou	<1	116	-
PC-387	UTM	301880	5891215	210/70	nil	M16 Myl/Bio, Stg qtz Frc, Py/Po, Rou	<1	118	-
PC-388	UTM	301815	5891235	??/?/?	nil	M16 Myl/Bio/Chl, Stg qtz, Py/Po, (Cpy), Rou	<1	97	-
PC-389	UTM	301940	5891170	??/?/?	nil	M16 Myl/Chl, Stg qtz, Py/Cpy, Rou	<1	106	CD
PC-390	UTM	301940	5891170	??/?/?	nil	M16 Myl/Chl/Bio, Stg epi, Stg qtz, (Cal), Py, (Po), Rou	1	36	-
PC-391	UTM	301940	5891165	310/30	nil	M24 bio/chl, Py, Rou	2	57	CD
PC-392	UTM	301940	5891165	310/30	nil	M24 bio, Po/Cpy/Py, Hem/Lim	2	106	CD, MG
PC-393	UTM	301925	5891145	035/55	nil	M24 chl, Stg qtz, Lim	1	10	-
PC-394	UTM	301920	5891145	285/45	nil	M24 bio/amp, Py/Cpy, Lim/Hem	1	63	-
PC-395	UTM	301895	5891130	355/45	nil	M24 chl/bio/amp, Py/Cpy/Po, Lim	4	520	CD
PC-396	UTM	301900	5891120	355/45	nil	M16 Fol/Chl, Stg qtz, Py	1	83	CD
PC-397	UTM	301940	5891120	255/55	-nil	M24 chl, Py, (Lim)	<1	47	-
PC-398	UTM	302710	5890970	235/80	nil	M16 Myl/Chl, Py	7	262	MG
PC-399	UTM	302710	5891020	055/80	nil	?, Stg qtz/epi, Rou	2	191	-
PC-400	UTM	303045	5890915	055/80	nil	M16 Fol/Chl, gr, ?Bou/Rou	9	188	-

#	REPERE	X	Y	FOLIATION	FRACTURATION	LITHOTYPE	Au	Cu	ALIAS
PC-401	UTM	304760	5891340	255/75	nil	M16 Myl/Chl/Bio, Stg qtz Ccd, Po/Cpy/Py, Rou	15	87	MG
PC-402	UTM	304760	5891345	255/75	nil	M16 Myl/Chl/Bio, Stg qtz Ccd, Po/Cpy/Py, Rou	19	87	MG
PC-403	UTM	304700	5891390	255/70	nil	M24 bio/chl, (cal), (Py)	1	23	-
PC-404	UTM	304990	5891600	285/75	nil	M24 amp/chl, fp Pbl	4	28	-
PC-405	UTM	304550	5890980	265/80	nil	M16 Fal/Bio/(Chl), gr, Stg qtz/Cpy/Py	2	175	-
PC-406	UTM	304550	5890980	275/75	nil	M16 Fal/Bio/(Chl), gr, Stg qtz/Cpy/Py, Lim/Hem	<1	41	-
PC-407	UTM	304470	5890940	270/70	170/??[90]	M16 Fal/Bio/Chl, gr, Stg qtz, (Py), Rou	1	10	-
PC-408	UTM	304410	5890920	275/65	nil	M16 Myl/Bio/Chl, gr, Py, (Cpy), Lim	<1	50	-
PC-409	UTM	304060	5890495	065/??	065/??[uq]	Vel qtz Bro/Bou, bio, Hem/Lim	1	7	-
PC-410	UTM	304200	5891050	275/75	nil	M8 chl/amp, (Py)	19	23	-
PC-411	UTM	304200	5891050	305/70	nil	M16 Fal/Bio, gr, Epl, Py/Po	39	65	-
PC-412	UTM	304150	5891070	???	335/85[uq]	Vel qtz Frc, Ecu M16, (Hem/Lim), (Py)	3	31	-
PC-413	UTM	304105	5891095	250/80	nil	M16 Fal/Chl, gr, Stg qtz, Py/Po, Rou	7	110	-
PC-414	UTM	304060	5890495	065/??	???	Vel qtz Bro, (Py)	64	35	-
PC-415	UTM	304060	5890495	065/??	nil	M16 (Myl)/Chl, Py, Rou	228	68	-
PC-416	UTM	304190	5890340	???	355/55[uq]	Vel qtz	1	6	-
PC-417	UTM	304290	5890415	???	185/85[dk]	I3B	<1	81	-
PC-418	UTM	303050	5890840	295/50	nil	M16 Fal/Bio, gr, Po/Py, Rou	4	56	-
PC-419	UTM	303100	5890840	225/80	nil	M16 Fal/Bio/Chl, gr, Po/Py	29	95	MG
PC-420	UTM	303135	5890840	225/80	nil	M16 Fal/Chl/Bio, gr, Po/Py, (Cpy)	10	151	MG
PC-421	UTM	303170	5890845	070/70	nil	M16 Fal/Chl/Bio, gr, Stg qtz Bou, Po/Py	<1	114	MG
PC-422	UTM	303195	5890845	070/80	nil	M16 Fal/Bio/Chl, gr, Po, Py, (Cpy), Rou	6	58	MG
PC-423	UTM	303035	5890880	???	nil	M16 Fal/Chl/(Bio), gr, Cpy/Py/Po, Stg qtz Bou/Ccd, Lim/Hem	112	92	(MG)
PC-424	UTM	303180	5890805	255/70	nil	M16 Fal/Chl/(Bio), gr, Stg qtz, Stg/Ama Cpy/Py/Po, Lim/Hem	3	76	-
PC-425	UTM	303095	5890825	055/??	nil	M16 Myl/Bio/Chl, gr, Py	1	43	-
PC-426	UTM	303100	5890825	235/85	nil	M16 Fal/Chl, gr, Po, Py/Cpy, (Cu/Bo), Rou	1	114	MG
PC-427	UTM	303195	5890820	240/80	nil	M16 Fal/Chl, gr, Po, Py/Cpy, (Cu)	8	65	MG
PC-428	UTM	303360	5890845	060/75	130/70[99],000/85[50]	M16 Fal/Chl, gr, Py, Cpy, (Mc), Rou	5	460	-
PC-429	UTM	303350	5890820	275/75	105/80[99]	M16 Fal/Chl, gr, Py, Cpy, Rou	5	345	CD
PC-430	UTM	303360	5890820	275/75	105/80[99]	M16 Fal/Chl, gr, Py, Cpy, Rou	1	390	CD
PC-431	UTM	303360	5890820	275/75	105/80[99]	M16 Fal/Chl, gr, Py, Cpy, Rou	2	980	CD
PC-432	UTM	303365	5890820	275/75	105/80[99]	M16 Fal/Chl, gr, Py, Cpy, Rou	1	234	CD
PC-433	UTM	303370	5890810	075/??	nil	M16 Fal/Chl, gr, Py, Po	3	195	-
PC-434	UTM	303380	5890815	105/??	nil	M16 Fal/Pst/Chl, gr, Stg qtz, Py	5	119	-
PC-435	UTM	303395	5890810	285/80	nil	M16 Fal/Chl, gr, Py, Po/Cpy	19	640	(MG)
PC-436	UTM	303395	5890810	285/80	???	Ama qtz (Frc), (Py), (Hem)	2	43	-
PC-437	UTM	301960	5891390	245/65	nil	M16 Myl, Po, Py, Rou	2	259	MG
PC-438	UTM	301855	5891495	???	155/??[uq]	Vel qtz Frc/Bou/Hem	68	21	-
PC-439	UTM	302095	5891295	250/80	nil	M16 Myl, Py, Rou	<1	56	-
PC-440	UTM	302595	5890920	050/80	185/??[99]	M16 Pbl/Bio	7	10	-

N	REPERE	X	Y	FOLIATION	FRACTURATION	LITHOTYPE	Au	Cu	ALIAS
PC-441	UTM	303400	5889890	060/80	nil	Ecu M16 Myl/Bio, Stg qtz/Py/Cpy, Lim/Hem	<1	283	-
PC-442	UTM	302490	5889480	325/40	nil	Ecu M24 bio, Lim, (Py)	<1	55	-
PC-443	UTM	302550	5889020	065/??	235/65[40]	M16 Myl/Bio, Stg qtz/Cpy/(Py), Rou	<1	68	-
PC-444	UTM	302550	5890835	270/30	nil	M24 chl/bio, Po/Py/Cpy Lam/Dis	<1	149	(MG)
PC-445	UTM	302600	5890920	320/60	nil	M24 chl, Po, (Py/Cpy), Rou	1	106	-
PC-446	UTM	302750	5890915	??/??	??/??[vq]	? Vei qtz Bro, Stg Cpy/(Bo), Lim	118	1740	-
PC-447	UTM	330070	5893300	270/70	105/75[vq]	Vei qtz, Ecu chl, (col), (Py), Lim	<1	4	-
PC-448	UTM	330070	5893300	270/70	330/85[50]	M16 Fol/Chl	<1	2	-
PC-449	UTM	330055	5893320	270/65	160/80[90],200/85[30]	M16 Myl/Chl, Py, (Po), Stg qtz	<1	159	-
PC-450	UTM	330080	5893300	255/70	155/80[90]	M16 Myl/Chl, Stg Cpy/Py, Lim	4	2220	-
PC-451	UTM	330095	5893320	270/70	300/60[vq]	Vei qtz Frc/Bro/Dcd, Py/Cpy, Lim	1	32	-
PC-452	UTM	330095	5893325	270/70	095/??[vq]	Vei qtz Frc/Bou/Dcd, (Py), (Lim)	<1	4	-
PC-453	UTM	330145	5893315	??/??	085/??[vq],150/80[99]	Vei qtz Frc/Bou, (Py), Lim	8	12	-
PC-454	UTM	330150	5893310	270/80	270/80[vq]	Vei qtz Frc/(Bro)/Ccd, Py, (Lim)	2	37	-
PC-455	UTM	330050	5893240	265/65	nil	M16 Myl/Chl, Py/Cpy	3	1060	-
PC-456	UTM	330050	5893205	265/65	145/??[vq]	Vei qtz Frc/Bou, Ecu chl, Py/Cpy, (Lim)	8	240	-
PC-457	UTM	330070	5893190	105/??	325/80[50]	M16 ?Sil/Chl, Cpy	4	77	-
PC-458	UTM	330100	5893210	??/??	025/??[vq]	Vei qtz Frc/Bou, Ecu M16 Chl, Po, Py/Cpy	4	278	-
PC-459	UTM	330090	5893210	265/80	nil	M16 Fol/Rcx, (Py)	<1	178	-
PC-460	UTM	329955	5893350	075/??	075/??[vq],355/85[90]	Vei qtz Frc/Bou, Ecu M16 Chl, (Lim)	<1	6	-
PC-461	UTM	329900	5893295	??/??	310/55[vq],065/??[99]	Vei qtz Frc, Sp, Lim	2	12	-
PC-462	UTM	329890	5893290	??/??	060/??[vq]	Vei qtz Bro/Bou, Ecu chl, Sp/Cpy	<1	26	-
PC-463	UTM	329890	5893290	??/??	185/80[40]	M16 Myl/Chl, Stg qtz Frc/Sp, Py	<1	35	-
PC-464	UTM	329950	5893245	265/65	265/65[vq],150/??[50]	Vei qtz Frc/Ccd, Ecu chl, Sp, (Cpy), (Lim/Hem)	<1	25	-
PC-465	UTM	329875	5893255	265/75	305/55[vq],145/85[99]	Vei qtz/fp Bro/Dcd, Sp, Lim	<1	35	-
PC-466	UTM	329875	5893255	265/75	145/??[90],145/??[99]	M16 Myl Chl/Bio, Stg qtz, (Hem)	3	50	-
PC-467	UTM	329150	5895700	090/80	090/80[vq],185/75[80]	Vei qtz Frc/Ccd/Hem/Lim, Ecu M16 Chl	<1	15	-
PC-468	UTM	329115	5895655	??/??	095/??[vq]	Vei qtz Frc, (Py), Lim/Hem	<1	4	-
PC-469	UTM	329130	5895590	095/85	205/80[90]	M16 Fol/Chl/Bio, Stg/Ama Py, Stg qtz, Lim/Hem	13	313	-
PC-470	UTM	329140	5895565	080/65	080/65[vq]	Vei qtz Frc/Ccd, Ecu chl, Py Ama/Dis, Hem/Lim	30	20	-
PC-471	UTM	329170	5895900	nil	nil	I18 fk, Py	4	24	-
PC-472	UTM	329170	5895795	085/80	085/80[vq]	Vei qtz Frc/Bou/Ccd, (Py), Hem/Lim	3	38	-
PC-473	UTM	329125	5895750	280/75	nil	M16 Myl/Bio, Eye qtz, (Py)	2	27	-
PC-474	UTM	329110	5895565	090/??	090/??[vq]	Vei qtz Frc, Ecu M16 Chl, Cpy, Hem, (Lim)	424	1740	Ag
PC-475	UTM	329110	5895565	090/??	175/??[70]	M16 Myl, Stg Py, Lim	2	119	-
PC-476	UTM	329085	5895540	085/85	155/80[60]	M24 bio/chl, Py Ama/Dis	2	12	-
PC-477	UTM	329080	5895535	090/85	nil	M24 bio, Py Dis/Ama, Lim	12	10	-
PC-478	UTM	329090	5895525	145/??	000/??[99]	M16 Myl/Brc/Chl, Ecu Stg qtz, (Lim)	17	9	-
PC-479	UTM	329000	5894000	250/75	nil	I4N (Sil)	2	15	MG
PC-480	UTM	329700	5894790	075/80	nil	I18 bio/Cis	<1	26	-

#	REPERC	.. X ..	.. Y ..	FOLIATION	FRACTURATION	LITHOTYPE	Au	Cu	ALIAS
PC-481	UTM	329700	5894800	??/?	075/90[40]	Ecu M24 bio	<1	28	-
PC-482	UTM	329725	5894810	??/?	000/70[uq]	Vel qtz/fp Frc, (Hem)	<1	6	-
PC-483	UTM	329690	5894835	??/?	??/?[uq]	Vel qtz Frc, (Hem/Lim)	2	28	-
PC-484	UTM	329690	5894820	??/?	nil	I18 chl, Stg qtz	<1	7	-
PC-485	UTM	329670	5894860	070/85	nil	I18 bio/Cls, Stg cal	<1	12	-
PC-486	UTM	329710	5894810	075/90	nil	I18 bio/Cls	2	4	-
PC-487	UTM	329135	5895325	080/80	185/85[99]	M16 Myl/Chl, Stg qtz Frc	2	5	-
PC-488	UTM	329135	5895325	080/80	080/80[uq]	Vel qtz Frc/Bou/Ccd, Ecu M16 Myl, (Lim)	<1	14	-
PC-489	UTM	329175	5895335	080/??	080/??[uq]	Vel qtz Frc/Bou, Hem/Lim	<1	15	-
PC-490	UTM	329125	5895340	??/?	175/??[uq]	Vel qtz, (Lim)	<1	6	-
PC-491	UTM	329125	5895340	??/?	nil	M16 Sil/Chl	<1	42	-
PC-492	UTM	329130	5895375	075/85	355/85[80]	M24 bio	<1	22	-
PC-493	UTM	329205	5895490	??/?	080/90[uq]	Vel qtz Frc, Hem, (Lim)	<1	8	-
PC-494	UTM	329215	5895510	090/85	nil	M16 Myl/Bio, Py/Po	4	56	-
PC-495	UTM	329215	5895510	??/?	??/?[uq]	Vel qtz Frc, (Lim)	<1	11	-
PC-496	UTM	329165	5895510	??/?	105/85[uq]	Vel qtz Frc/Bou, (Hem/Lim)	<1	20	-
PC-497	UTM	326500	5891850	245/75	nil	M24 chl/bio, Stg epi/Cpy	4	131	-
PC-498	UTM	326550	5892185	??/?	245/70[uq]	Vel qtz Bro, Ecu bio, Cpy	<1	77	-
PC-499	UTM	326550	5892180	245/70	245/70[dk]	I1 Ccd/Lim, (Py)	<1	49	-
PC-500	UTM	326550	5892185	245/70	nil	M16 Fol/Bio, Stg qtz	<1	91	-
PC-501	UTM	325570	5891960	245/80	nil	? M24 fu, Py/Po	<1	14	-
PC-502	UTM	325570	5891960	245/80	nil	M16 Myl/Chl, gr, Py	<1	215	-
PC-503	UTM	325570	5891955	245/80	nil	M16 Myl/Pst/Chl, gr, Py	<1	220	-
PC-504	UTM	325565	5891960	??/?	000/80[uq]	Vel qtz Frc, Po, Hem	<1	86	-
PC-505	UTM	325560	5891945	??/?	335/85[dk], 250/55[99]	I3B, Py	<1	45	-
PC-506	UTM	325365	5891835	235/85	nil	? M24 bio	<1	3	-
PC-507	UTM	325365	5891835	240/80	240/80[uq]	Vel qtz Frc/Bou/Ccd, Hem, (Lim)	<1	30	-
PC-508	UTM	325365	5891860	245/80	nil	M16 Myl, Py, Rou	7	286	-
PC-509	UTM	325365	5891810	065/80	nil	M16 Myl/Chl, Py, Cpy	1	440	-
PC-510	UTM	325365	5891810	245/85	nil	M16 Myl/Bio, Stg Py	8	880	-
PC-511	UTM	328060	5893190	265/85	nil	M16 Myl, (Chl), Stg qtz, Py, (Lim)	<1	700	-
PC-512	UTM	328260	5893230	270/85	270/85[uq]	Vel qtz Frc/Bou/Ccd	<1	16	-
PC-513	UTM	328340	5893240	155/55	155/55[uq], 215/75[40]	Vel qtz, (Lim)	<1	61	-
PC-514	UTM	328340	5893265	270/85	nil	M16 Myl, Stg qtz Ccd, Py/Po	<1	720	-
PC-515	UTM	329890	5894150	250/85	250/85[uq]	Vel qtz Frc/Bou/Ccd, (Py), Ecu M24	<1	51	-
PC-516	UTM	328320	5893315	??/?	305/75[uq]	Vel qtz Frc, Ecu chl, Py/Cpy, ?Gn	<1	38	-
PC-517	UTM	328320	5893320	??/?	275/75[uq]	Vel qtz Frc, Ecu chl, Py/Cpy, ?Gn	<1	48	-
PC-518	UTM	328320	5893315	260/75	nil	M16 Myl/Chl, Py/Po	2	286	MG
PC-519	UTM	329895	5894155	??/?	255/85[uq]	Vel qtz Frc, Ecu chl, Py	5	140	-
PC-520	UTM	329895	5894160	??/?	050/85[uq]	Vel qtz Frc/Hem	7	61	-

#	REPERE	.. X ..	.. Y ..	FOLIATION	FRACTURATION	LITHOTYPE	Au	Cu	ALIAS
PC-521	UTM	329965	5894020	095/05	nil	?S98, Chl/Bio, Stg qtz Frc/Lim	1	28	MG
PC-522	UTM	329920	5894020	??/??	085/05[vq]	Vei qtz Frc, Py, (Po), Ecu M16 Chl	<1	53	-
PC-523	UTM	329920	5893850	nil	nil	I4N, Mt	4	23	(MG)

#	REPERE	.. X ..	.. Y ..	FOLIATION	FRACTURATION	LITHOTYPE	Au	Cu	ALIAS
RV-1	GPN	275	2185	135/85	nil	M24 bio	<1	7	-
RV-2	GPN	275	2185	085/80	nil	M16 Rcx/Bio	4	19	-
RV-3	GPN	275	2185	085/80	085/80[uq]	Vei qtz Ccd, Ecu chl/Py	1	16	-
RV-4	GPN	-10	2950	225/85	nil	M24 bio	7	33	-
RV-5	GPN	-10	2950	225/85	nil	M8 chl/bio, Py	8	104	CD
RV-6	GPN	-10	2950	225/85	225/80[uq]	Vei qtz Bro/Ccd, Ecu chl	1	6	-
RV-7	GPN	-265	3000	225/85	nil	M16 Fol/Tlc, Vei qtz/Apy, Py/Cpy	12080	305	-
RV-8	GPN	-265	3000	225/85	nil	M16 (Fol)	16	40	-
RV-9	GPN	-465	3025	230/80	255/85[uq]	Vei qtz Ccd, Ecu M16 (Fol), Py/Cpy/Mc	72	4640	CD
RV-10	GPN	-425	3000	225/85	175/90[50]	M16 Fol/Bio/Chl, Eye qtz	45	152	-
RV-11	GPN	-425	3000	225/85	225/85[uq]	Vei qtz Ccd	<1	5	-
RV-12	GPN	-575	3000	045/90	335/75[uq]	Vei qtz Ccd, Ecu chl/Cpy	4	193	-
RV-13	UTM	346580	5915250	055/90	180/90[uq]	Vei qtz Ccd, Ecu M16 (Fol), Cpy/Mc	108	3660	-
RV-14	GPN	-270	1990	045/90	nil	M24 chl, (Py)	12	37	-
RV-15	GPN	-270	1990	045/90	nil	M16 Myl/Tlc, Stg qtz/Py/Cpy	12	90	-
RV-16	GPN	-275	1985	230/80	nil	Vei qtz Bro/Ccd, Ecu chl, Hem, (Py)	1	9	-
RV-17	GPN	-270	1990	045/90	nil	M24 Prx	21	14	-
RV-18	GPN	-295	2000	225/80	nil	M16 (Fol), Py/Cpy/Py	12	164	(MG)
RV-19	GPN	-300	2010	205/80	145/90[50]	M16, Bio/Chl, Py/Cpy	9	121	-
RV-20	GPN	-300	2005	205/80	055/90[uq]	Vei qtz Ccd, Hem	1	10	-
RV-21	GPN	-325	1980	025/90	175/90[uq]	Vei qtz Ccd, Hem	1	30	-
RV-22	GPN	-325	1980	025/90	nil	M16 Myl, Stg cal, (Py)	2	121	-
RV-23	GPN	-325	2015	225/85	225/80[uq]	Vei qtz Ccd	<1	18	-
RV-24	GPN	-325	2015	225/85	105/90[60]	M24 fu/bio	4	110	-
RV-25	GPN	-340	2030	045/90	125/90[60]	M24 fu/bio, Cpy/Py	23	72	-
RV-26	GPN	-365	2065	220/80	125/90[40]	M16 Fol/Myl + M16 Rcx/Chl/Bio, Apy/Cpy/Py	5670	149	-
RV-27	GPN	-365	2065	220/80	125/90[40]	M16 Fol/Myl + M16 Rcx/Chl/Bio, Apy/Cpy/Py	631	34	-
RV-28	GPN	-400	2065	200/85	200/85[uq]	Vei qtz (Bro)/Ccd, Ecu chl	<1	12	-
RV-29	GPN	-400	2065	200/85	nil	M16 Chl, Pa/Py/Cpy, Stg cal	29	500	(MG)
RV-30	GPN	-475	2160	055/90	130/90[30]	M16, Py, Stg qtz/Py	3	277	CD
RV-31	GPN	-495	2160	??/?/?	235/85[uq]	Vei qtz	<1	6	-
RV-32	GPN	-505	2185	045/90	nil	M16 (Myl), (Py)	5	71	-
RV-33	GPN	-545	2205	045/90	nil	M24 chl/Prx, (Py)	1	15	-
RV-34	GPN	-570	2185	230/85	??/?/?[uq]	Ama qtz	1	5	-
RV-35	GPN	-590	2205	225/85	140/90[30], 095/85[30]	M16 (Fol)/Chl, Stg cal, Stg Cpy	8	1280	-
RV-36	GPN	-605	2210	225/85	225/85[uq]	Vei qtz Ccd, Ecu chl	1	6	-
RV-37	GPN	-635	2225	210/85	210/85[uq]	Vei qtz (Bro)/Ccd, Ecu chl	<1	5	-
RV-38	GPN	-635	2225	210/85	130/90[30], 085/90[50]	M16 Fol, Chl, (Py)	5	92	-
RV-39	UTM	346100	5914710	235/85	nil	I3A Gne, Stg qtz/Py/Cpy	1	65	-
RV-40	UTM	346030	5914750	230/85	230/85[uq]	Vei qtz Ccd/(Hem), Ecu chl/Py/Cpy	2	106	-

#	REPERE	.. X ..	.. Y ..	FOLIATION	FRACTURATION	LITHOTYPE	Au	Cu	ALIAS
RV-41	UTM	346030	5914750	230/85	315/75[30]	M16 Fol/Chl/Py/Cpy	2	107	-
RV-42	UTM	346030	5914750	230/85	230/85[uq]	Vel qtz Ccd, Ecu chl, Hem	30	107	-
RV-43	UTM	346030	5914750	230/85	050/90[uq]	Vel qtz Ccd	1	6	-
RV-44	UTM	345980	5914810	220/85	125/90[99],355/80[80]	M16 Fol, Chl, Stg cal, Py	1	114	-
RV-45	UTM	345940	5914900	240/85	nil	M16 Rou/Py	5	399	-
RV-46	UTM	345940	5914900	240/85	nil	M16 Frc, Stg qtz/cal/Py	1	205	-
RV-47	UTM	346690	5912580	025/90	nil	M8 chl/bio	6	19	-
RV-48	UTM	345810	5912820	???/??	235/85[uq]	Vel qtz, Ecu chl	2	6	-
RV-49	UTM	345750	5914820	220/80	315/75[80],175/??[99]	M16 Myl/Bio, Py/Cpy	2	46	-
RV-50	UTM	345750	5914820	220/80	220/80[uq]	Vel qtz Ccd	2	6	-
RV-51	UTM	345750	5914890	220/80	115/90[80]	M16 Fel/Bio, Cal, Py	2	99	-
RV-52	UTM	345700	5914900	225/80	165/??[30]	M16 Myl/Bio, Stg cal, Py/Cpy, (Stg fk)	<1	9	-
RV-53	UTM	345700	5914900	225/80	225/80[uq]	Vel qtz, Ecu chl	2	6	-
RV-54	UTM	345700	5914900	225/80	315/80[30]	M16 Sil/Epi, Chl	2	11	-
RV-55	UTM	345700	5914880	???/??	220/80[uq]	Vel qtz, Ecu chl/bio	3	9	-
RV-56	UTM	345690	5914940	???/??	225/80[uq]	Vel qtz, Py	2	33	-
RV-57	UTM	345630	5914920	230/80	165/90[99]	M16 Fol, (Fel/Epi/Py)	3	54	-
RV-58	UTM	345650	5914950	230/85	nil	M16 Epi/Fel	2	6	-
RV-59	UTM	345600	5914940	230/80	345/80[70]	M16 Myl, Stg epi/cal, (Py)	3	60	-
RV-60	UTM	345600	5914940	230/80	230/80[uq]	Vel qtz Ccd	2	9	-
RV-61	GPN	-370	1795	245/85	180/75[50]	M16 Fol/Bio, Stg chl/cal	3	116	-
RV-62	GPN	-360	1800	???/??	245/85[uq]	Vel qtz	<1	5	-
RV-63	GPN	-360	1790	225/80	160/75[50]	M16 Rcx, Stg chl/cal	11	121	-
RV-64	GPN	-320	1775	???/??	225/80[uq]	Vel qtz	<1	7	-
RV-65	GPN	-325	1710	225/80	145/??[50]	M24 chl/tlc, Stg cal	8	162	CD
RV-66	GPN	-325	1710	225/80	225/80[uq]	Vel qtz Ccd	<1	5	-
RV-67	GPN	-300	1695	235/80	235/80[uq]	Vel qtz Ccd, Ecu chl/bio/Py	4	64	-
RV-68	GPN	-295	1685	235/80	235/80[uq]	Vel qtz, Hem, Py	<1	33	-
RV-69	GPN	-285	1675	240/85	nil	M16 Myl/Epi/Cal (Py)	3	82	-
RV-70	GPN	-240	1645	220/85	140/80[99]	M24 Prx	2	9	-
RV-71	GPN	-250	1610	220/85	nil	M16 Myl/Rcx, gr, Chl/Tlc, Py/Cpy	<1	63	-
RV-72	GPN	-225	1680	220/85	015/70[50]	M16 Myl, Tlc, Stg qtz/Py/Cpy	10	170	CD
RV-73	GPN	-260	1735	215/85	215/85[uq]	Vel qtz Bro/Ccd, Ecu chl	4	7	CD
RV-74	GPN	-260	1735	220/85	nil	M16 Myl/Tlc, Po	34	259	CD, MG
RV-75	GPN	-270	1755	???/??	215/80[uq]	Vel qtz, Lim	<1	9	CD
RV-76	GPN	-240	1565	225/80	165/90[35]	M16 Fol/Tlc/Chl, Stg cal, Py	48	98	-
RV-77	GPN	-235	1565	055/90	170/90[30]	M16 Fol/Chl/Tlc, gr, Py	4	52	-
RV-78	GPN	-235	1565	055/90	030/80[bx]	M16 Bro/Epi	9	94	-
RV-79	GPN	-235	1565	225/80	nil	M24 tlc, Py/(Cpy), Rou	6	116	CD
RV-80	GPN	-245	1515	170/80	170/80[uq]	Vel qtz (Bro), Ecu chl	<1	4	-

#	REPERE	.. X ..	.. Y ..	FOLIATION	FRACTURATION	LITHOTYPE	Au	Cu	ALIAS
RV-81	GPN	-215	1490	315/75	315/75[30]	M16 Sil, (Py)	<1	150	-
RV-82	GPN	-215	1480	215/80	nil	M24 blo, Py	11	198	-
RV-83	GPN	-215	1480	215/80	nil	M16 Rcx, Cal, Py, Rou	2	81	-
RV-84	GPN	-165	1440	225/80	nil	M8 tlc/chl, Cal, Stg qtz	3	11	-
RV-85	GPN	-130	1410	225/80	320/??[50]	M16 Sil, Stg cal	1	10	-
RV-86	GPN	-110	1400	???	210/85[uq]	Vei qtz Hem	2	6	-
RV-87	GPN	-110	1410	045/90	nil	M16 Sil, Py/Po	42	364	-
RV-88	GPN	75	2400	125/??	050/??[75]	I18 chl/Fol, Py	2	12	-
RV-89	GPN	90	2380	???	125/60[uq]	Vei qtz	1	37	-
RV-90	GPN	90	2390	125/??	nil	Ecu M16, (Chl/Stg fk)	3	96	-
RV-91	GPN	125	2305	???	085/??[uq]	Vei qtz, Ecu chl, Hem	<1	7	-
RV-92	GPN	160	2310	???	075/90[uq]	Vei qtz Peg, Ecu chl, Hem	<1	4	-
RV-93	GPN	160	2310	075/90	nil	M16 Gne/Chl/Bio	12	83	-
RV-94	GPN	205	2350	075/85	nil	I18 mu/chl	2	4	-
RV-95	GPN	205	2350	???	075/85[uq]	Vei qtz	6	53	-
RV-96	GPN	215	2345	???	075/90[uq]	Vei qtz	<1	4	-
RV-97	GPN	285	2395	???	070/90[uq]	Vei qtz	<1	4	-
RV-98	GPN	280	2435	???	080/90[uq]	Vei qtz Bro, Ecu chl	7	4	-
RV-99	GPN	285	2445	080/85	nil	I18 chl/mu/Fol, (Cpy)	5	21	-
RV-100	GPN	350	2405	080/85	nil	M16	3	190	-
RV-101	GPN	440	2405	???	035/??[uq]	Vei qtz (Bro), Hem	4	83	-
RV-102	GPN	400	2380	nil	075/??[99], 345/??[99]	I18 chl	1	9	-
RV-103	GPN	475	2405	025/85	095/70[99], 015/80[70]	I18 chl/mu/Fol	1	18	-
RV-104	GPN	475	2410	???	025/85[uq]	Vei qtz Peg, Ecu chl	2	18	-
RV-105	GPN	530	2190	nil	nil	I4N (Tlc), Mt	1	16	MG, Ni
RV-106	GPN	255	2210	105/85	nil	M16 Fol, gr, ?Mt	7	18	-
RV-107	GPN	200	2200	255/80	nil	M16 Chl, Py/Cpy	1	169	-
RV-108	GPN	200	2205	065/90	165/90[80]	M16 Chl, Cpy/Mc, Py, Rou	50	1680	-
RV-109	GPN	195	2205	???	235/80[uq]	Vei qtz Bro, Ecu chl/tlc, Lim	2	5	-
RV-110	GPN	185	2210	???	210/80[uq]	Vei qtz Bro, Ecu chl/tlc, Lim	1	8	-
RV-111	GPN	180	2200	235/75	320/80[30]	M16, Stg cal, Py/Cpy	9	135	-
RV-112	GPN	175	2190	???	230/80[uq]	Vei qtz Bro, Ecu chl/tlc	1	5	-
RV-113	GPN	110	2235	080/85	nil	M16 Chl, (Cpy)	50	204	-
RV-114	GPN	100	2235	085/85	nil	I18 chl/(Fol)	1	4	-
RV-115	GPN	95	2220	???	355/50[uq]	Vei qtz Dcd	2	6	-
RV-116	GPN	90	2175	085/90	nil	I18 chl/Fol, (Py)	<1	14	-
RV-117	GPN	90	2175	???	295/85[uq]	Vei qtz Dcd, Ecu chl	<1	3	-
RV-118	GPN	90	2195	???	175/??[uq]	Vei qtz Bro/Dcd, Ecu chl, Lim	1	6	-
RV-119	GPN	-10	2210	085/??	175/90[50], 050/90[60]	I18 chl/Fol, Eye qtz, Py, Lim	1	10	-
RV-120	GPN	-10	2200	???	125/90[uq]	Vei qtz Bro, Ecu M16	<1	8	-

#	REPETE	.. X ..	.. Y ..	FOLIATION	FRACTURATION	LITHOTYPE	Au	Cu	ALIAS
RV-121	GPN	-150	2275	??/?	120/80[vq]	Vel qtz (Bro)	<1	5	-
RV-122	GPN	-150	2275	125/80	105/??[40]	M8 tlc/chl	5	25	-
RV-123	GPN	-140	2250	255/80	nil	M16, Stg qtz/Py/Cpy	18	99	-
RV-124	GPN	-125	2225	??/?	255/80[vq]	Vel qtz (Bro), tm Aci	2	5	-
RV-125	GPN	-120	2225	??/?	240/80[vq]	Vel qtz Bro, Lim	<1	68	-
RV-126	GPN	-115	2220	255/85	105/75[30]	M24 mv	<1	5	-
RV-127	GPN	-115	2210	105/90	nil	M8 chl, Eye qtz	<1	4	-
RV-128	GPN	35	1850	nil	nil	I4N Tlc, Mt, ?Po	1	4	MG, Ni
RV-129	GPN	170	2070	??/?	??/?[vq]	Vel qtz Bro, Ecu chl, Hem	<1	8	-
RV-130	GPN	180	2070	??/?	195/80[vq]	Vel qtz Bro, Py, Hem	2	9	-
RV-131	GPN	180	2070	205/80	nil	M16, Rcx, (Cal)	6	60	-
RV-132	GPN	190	2085	205/80	nil	M24 chl, Stg cal	<1	11	-
RV-133	GPN	190	2085	185/80	nil	M16, (Cal)	4	58	-
RV-134	GPN	190	2085	185/80	nil	M16 Bio, Stg cal/qtz, Py/Cpy	20	243	-
RV-135	GPN	190	2085	035/90	nil	?	5	157	-
RV-136	GPN	190	2100	035/??	nil	M16 Myl/Vel qtz, (Cal), Py	4	43	-
RV-137	GPN	200	2135	235/80	nil	M16 Stg epl/cal, Py/Cpy	3	104	-
RV-138	GPN	205	2245	225/80	135/85[50]	M16 Myl, Cal	3	65	-
RV-139	GPN	230	2245	075/90	nil	I4N, Stg chy/tlc, Mt	2	23	MG, Ni
RV-140	GPN	380	1905	065/??	090/??[40]	M16 (Fol), Bio, Stg chl, Py/Cpy	18	115	-
RV-141	GPN	385	1880	??/?	025/??[vq]	Vel qtz Bro, Ecu chl, Lim	2	6	-
RV-142	GPN	390	1870	220/80	nil	M16 Rcx, Bio, Apy/Cpy	78	339	-
RV-143	GPN	390	1870	220/80	nil	M16 Rcx, Bio, Stg qtz	14	261	-
RV-144	GPN	390	1870	??/?	200/80[vq]	Vel qtz, (Ecu chl)	<1	4	-
RV-145	GPN	385	1855	020/90	nil	M16 Fol/Bio	2	32	-
RV-146	GPN	380	1855	205/80	nil	I18 chl/Fol, Py	<1	34	-
RV-147	GPN	360	1845	??/?	045/90[vq]	Vel qtz Bro, Ecu chl, Lim	<1	5	-
RV-148	GPN	355	1845	055/80	nil	M16 Rcx	<1	92	-
RV-149	GPN	350	1840	065/80	nil	M8 tlc	11	2	-
RV-150	GPN	455	1890	??/?	235/85[vq]	Vel qtz (Bro), Ecu chl	2	5	-
RV-151	GPN	465	1885	085/90	105/60[30]	M16 (Fol), Bio, Stg qtz/Py	3	124	-
RV-152	GPN	470	1890	??/?	085/90[vq]	Vel qtz Bro, Ecu chl	1	8	-
RV-153	GPN	480	1900	245/80	nil	M16 Rcx/Frc, Py/Cpy	13	740	-
RV-154	GPN	495	1905	??/?	045/??[vq]	Vel qtz Bro	1	5	-
RV-155	GPN	635	1900	nil	nil	I4N, Tlc, Mt	4	3	MG
RV-156	GPN	615	1795	nil	nil	I4N, Tlc, Stg Mt	4	5	MG
RV-157	GPN	525	1810	220/75	nil	M24 mv/(chl), (Rou)	<1	3	-
RV-158	GPN	550	1765	195/80	nil	M16, (Cpy)	11	500	-
RV-159	GPN	500	1760	205/75	125/90[30]	M24 mv/(chl)	<1	3	-
RV-160	GPN	500	1760	??/?	205/80[vq]	Vel qtz (Bro), Lim	5	4	-

N	REPERE	X	Y	FOLIATION	FRACTURATION	LITHOTYPE	Au	Cu	ALIAS
RV-161	GPN	450	1680	195/80	nil	M16 Myl, (Py)	6	29	-
RV-162	GPN	450	1680	??/?	195/80[uq]	Vel qtz Bro, Ecu chl, cal	<1	3	-
RV-163	GPN	435	1720	085/?	nil	M16 Rcx/Chl, Py/Cpy/?Po	127	880	-
RV-164	GPN	150	1685	??/?	nil	M16 Rcx, (Cpy)	3	80	-
RV-165	GPN	150	1685	015/90	nil	M16 Rcx, Cpy/Py/?Po/Gph	37	1520	CO
RV-166	GPN	0	1560	255/85	105/90[40]	S98 Prx, Chl	8	15	-
RV-167	GPN	35	1585	075/?	nil	M16 Fol, gr, Cpy	92	900	-
RV-168	GPN	65	1570	??/?	245/80[uq]	Vel qtz (Bro), Ecu chl, (Rou)	<1	18	-
RV-169	GPN	75	1550	245/80	nil	M16 Fol, Chl, Stg qtz, Cpy/Mc, Stg cal	146	4720	-
RV-170	GPN	25	1615	245/85	150/90[99]	M24 Prx, Py/Po/?Apy, Hem/Lim	1081	175	MG
RV-171	GPN	25	1615	245/85	150/90[99]	M8 Chl, ?gr	47	37	-
RV-172	GPN	25	1615	245/85	150/90[99]	M24, Hem/Lim	3	13	-
RV-173	GPN	65	1570	??/?	??/?[uq]	Vel qtz Bro, Ecu chl, Stg cal, Hem	6	122	-
RV-174	GPN	85	1520	??/?	nil	M16, Po, Cpy	18	2260	MG
RV-175	GPN	90	1520	??/?	nil	M16, Po, Cpy	6	1120	MG
RV-176	GPN	95	1520	??/?	nil	M16, Po, Cpy	8	1840	-
RV-177	GPN	100	1500	??/?	040/90[uq]	Vel qtz (Bro), Ecu chl, (Hem)	<1	9	-
RV-178	GPN	95	1485	170/?	nil	M16 (Pbl)/Fel, (Epi), (Py)	1	43	-
RV-179	GPN	75	1490	045/90	nil	M8 chl, (gr)	<1	3	-
RV-180	GPN	75	1490	??/?	045/90[uq]	Vel qtz Bro, Ecu chl, cal, (Py/Cpy)	3	56	-
RV-181	GPN	70	1470	045/90	nil	M16 Fol/Chl, gr, Po, Hem	16	170	(MG)
RV-182	GPN	55	1475	??/?	055/85[uq]	Vel qtz Hem, Ecu chl/ac	8	15	-
RV-183	UTM	347800	5913910	055/90	135/80[99]	I18 chl/mu/Fol, (Py)	1	26	-
RV-184	UTM	347800	5913910	??/?	145/?[uq]	Vel qtz Ded/(Bro)	<1	3	-
RV-185	UTM	347600	5913860	070/90	125/80[50]	M16 Stg qtz/Cpy	6	377	-
RV-186	UTM	347600	5913860	??/?	070/90[uq]	Vel qtz Bro/Ccd, Ecu chl/blo	<1	13	-
RV-187	UTM	347420	5913670	035/?	160/?[99]	I18 chl/Fol, (Py)	<1	16	-
RV-188	UTM	347420	5913670	??/?	040/80[uq]	Vel qtz Bro/Ccd, Ecu chl	<1	22	-
RV-189	UTM	347420	5913670	035/80	nil	M16 (Fol), Stg qtz, (Py)	<1	119	-
RV-190	GPN	5	1515	055/85	nil	M16 Myl, Eye qtz, Po, Cpy	6	188	(MG)
RV-191	GPN	300	1375	055/90	155/90[30]	M16, Stg qtz/cal, (Cpy)	2	95	-
RV-192	GPN	315	1385	??/?	255/60[75]	M16 Myl/Vel qtz Bro, Cal, (Cpy)	1	59	-
RV-193	GPN	315	1385	??/?	255/60[75]	M24 chl, Cpy/Mc/Py, Rou	4	1040	-
RV-194	GPN	290	1400	040/90	nil	M8 tlc, Mt, Stg cal	3	110	MG
RV-195	GPN	270	1350	nil	085/?[40]	I4N, Mt	<1	28	MG
RV-196	GPN	315	1250	??/?	030/90[uq]	Vel qtz, Ecu chl, (Stg cal), (Lim)	<1	11	-
RV-197	GPN	535	1165	205/80	nil	M16, Rcx, Stg qtz, (Py)	<1	78	-
RV-198	GPN	535	1165	??/?	035/90[uq]	Vel qtz Bro, Ecu chl, Po/Py, Hem	11	136	-
RV-199	GPN	565	1085	??/?	025/90[uq]	Vel qtz Bro, Ecu chl, (Stg cal), (Py/Cpy), Hem	2	5	-
RV-200	GPN	565	1085	025/90	nil	M16 Fol/Chl, (Py), Rou	<1	3	-

#	REPERE	.. X ..	.. Y ..	FOLIATION	FRACTURATION	LITHOTYPE	Au	Cu	ALIAS
RU-201	GPN	590	1050	030/90	nil	M24 mu/chl, (Hem)	2	17	-
RU-202	GPN	590	1050	???/??	020/90[uq]	Vei qtz Bro/Hem/Lim, Ecu chl	<1	32	-
RU-203	GPN	590	1050	???/??	160/90[uq]	Vei qtz (Bro)/Dcd/Hem, Ecu chl/bio/Cpy	10	480	-
RU-204	GPN	780	1045	045/90	110/??[30]	I4N Cal, Tlc, Mt, Po	2	9	MG
RU-205	GPN	755	1025	030/90	nil	M24 mu/chl, Ecu M16, Hem, Stg qtz	2	13	-
RU-206	GPN	760	965	045/90	nil	M16, (Chl), Stg cal, (Py)	<1	241	-
RU-207	GPN	750	965	???/??	025/90[uq]	Vei qtz Bro, Ecu chl, Hem	<1	5	-
RU-208	GPN	775	885	???/??	015/85[uq]	Vei qtz Bro, Ecu chl/bio/Py, Lim	<1	34	-
RU-209	GPN	-150	2260	255/80	nil	M16 Myl/Bio/Chl, Eye M24, Stg cal, Cpy/Mc	199	2540	-
RU-210	GPN	-150	2235	???/??	250/80[uq]	Vei qtz Bro, tm	<1	8	-
RU-211	GPN	-150	2235	???/??	250/80[uq]	Vei qtz Bro, Ecu chl/bio, tm, Hem	<1	5	-
RU-212	GPN	-155	2275	???/??	040/??[uq]	Vei qtz (Bro), Ama tm	<1	5	-
RU-213	GPN	-140	2235	???/??	075/90[uq]	Vei qtz Bro, tm, (Hem)	<1	4	-
RU-214	GPN	-140	2285	255/85	nil	I3A (Fol), (Py)	21	116	-
RU-215	GPN	380	1910	190/80	nil	M16 Rcx/Chl/Bio, Stg qtz/Apy/Cpy	48	216	-
RU-216	GPN	390	1865	025/90	nil	M16 Gne/Sil/Chl, Cpy/Mc	325	2860	-
RU-217	UTM	346400	5912750	035/90	nil	M8 mu, gr, Mt	70	19	MG
RU-218	UTM	346380	5912680	210/80	135/90[30]	M16 (Fol), Stg qtz/fk/Py	8	192	-
RU-219	UTM	346380	5912680	???/??	210/85[uq]	Vei qtz Bro, Ecu chl, Lim, (Py)	<1	4	-
RU-220	UTM	346380	5912680	???/??	210/85[uq]	Vei qtz Bro, Ecu, chl/bio, Hem, (Py)	<1	5	-
RU-221	UTM	346380	5912680	???/??	210/85[uq]	Vei qtz Bro, (Ecu chl)	<1	3	-
RU-222	UTM	346480	5912630	???/??	210/85[uq]	Vei qtz Bro, Ecu chl/mu, Hem	<1	4	-
RU-223	UTM	346400	5912610	205/85	075/??[35]	M16, Stg qtz/cal/Py	1	127	-
RU-224	UTM	346400	5912610	???/??	295/50[uq]	Vei qtz (Bro)/Dcd, Hem	4	11	-
RU-225	UTM	346380	5912600	???/??	210/85[uq]	Vei qtz Bro, Ecu chl/mu, (Lim)	1	4	-
RU-226	UTM	346340	5912570	210/80	nil	M24 bio/mu, Hem	1	5	-
RU-227	UTM	346340	5912600	055/90	nil	M16 Myl/Bio, (Py)	1	4	-
RU-228	UTM	346340	5912600	185/85	025/??[99]	M16 Myl/Mu	1	2	-
RU-229	UTM	346400	5912610	???/??	205/85[uq]	Vei qtz Bro, Ecu chl/mu, Hem, (Py)	<1	4	-
RU-230	UTM	346210	5912380	nil	nil	I4N, Mt, Stg mg	3	4	MG
RU-231	UTM	346290	5912540	???/??	035/90[uq]	Vei qtz (Bro)/Hem/Lim, Py, Ecu chl/bio	11	43	-
RU-232	UTM	346290	5912540	???/??	215/85[uq]	Vei qtz Bro, Ecu chl/mu, Hem	<1	4	-
RU-233	UTM	346290	5912540	025/90	115/90[99]	M16, Stg qtz/cal/Py/Cpy	5	98	-
RU-234	UTM	346290	5912540	215/85	nil	M24 mu	<1	6	-
RU-235	UTM	346200	5912540	???/??	210/85[uq]	Vei qtz/Hem/Lim, Ecu chl/bio	<1	30	-
RU-236	UTM	346200	5912540	210/85	nil	M16 Myl/Bio, Stg qtz/Py, Stg cal	4	73	-
RU-237	UTM	346200	5912500	nil	nil	I3A, Py, Hem	1	82	-
RU-238	UTM	346000	5912300	???/??	215/80[uq]	Vei qtz Bro, Ecu chl/mu, Hem, (Py)	1	51	-
RU-239	UTM	346000	5912300	???/??	220/80[uq]	Vei qtz Bro/Hem, Ecu chl/Py/Cpy/Mc	4	125	-
RU-240	UTM	346300	5912330	045/??	115/65[30], 255/45[60]	M16 Rcx/Chl/Bio, Cal, (Py)	13	134	-

#	REPERE	.. X ..	.. Y ..	FOLIATION	FRACTURATION	LITHOTYPE	Au	Cu	ALIAS
RV-241	UTM	346300	5912330	045/??	115/65[30],255/45[60]	M16 Chl/Bio, Stg cal, Py, Rou	19	294	-
RV-242	UTM	346400	5912330	??/?/?	220/80[uv]	Vel qtz Bro, Ecu chl/mv, Hem, (Py)	<1	25	-
RV-243	UTM	346400	5912340	nil	nil	I3A, Stg fk/Py/Cpy, Hem	3	125	-
RV-244	UTM	346100	5912300	040/??	nil	M16 Myl/Bio, Hem	3	17	-
RV-245	UTM	346100	5912300	225/75	nil	M16 Fol, Stg fk	2	52	-
RV-246	UTM	346050	5912450	??/?/?	235/80[uv]	Vel qtz Bro/Hem/Lim, Ecu chl, Stg cal, Cpy/Mc/Bo	11	440	-
RV-247	UTM	346050	5912450	??/?/?	235/80[uv]	Vel qtz Bro, Ecu chl/bio, Cpy/Mc, Stg cal	12	480	-
RV-248	UTM	346050	5912450	210/80	135/90[40]	M24 chl/bio, Cpy/Mc/Py/?Apy, Stg cal, Rou	75	10800	CD
RV-249	UTM	346050	5912450	??/?/?	210/80[uv]	Vel qtz Bro, Cpy, Hem	303	17600	CD
RV-250	UTM	346050	5912450	215/80	085/??[50]	M16 Fol, Eye qtz, Bio, (Stg cal)	<1	8	-
RV-251	UTM	346050	5912500	215/80	080/??[99]	M16 Sil, Stg cal/qtz, Py/Cpy	4	117	-
RV-252	UTM	346110	5912570	??/?/?	230/80[uv]	Vel qtz Bro, Ecu chl/bio, Py/Cpy, Hem/Lim	3	480	-
RV-253	UTM	346100	5912550	215/80	075/90[99]	M24 mv/chl, Stg qtz, Hem	<1	5	-
RV-254	UTM	346110	5912510	??/?/?	250/80[uv]	Vel qtz Bro, Ecu chl, Py/Cpy, Hem	90	7240	-
RV-255	UTM	346110	5912510	??/?/?	250/80[uv]	Vel qtz Bro, Ecu chl, Py/Cpy, Hem, Stg cal	243	1580	-
RV-256	UTM	346110	5912530	065/??	nil	M16 Myl/Bio, Stg qtz, Hem, Stg cal, (Py)	<1	28	-
RV-257	UTM	346210	5912600	215/80	nil	M16 Rcx, Stg qtz, Hem, (Py)	1	153	-
RV-258	UTM	346210	5912600	??/?/?	215/80[uv]	Vel qtz (Bro), Ecu chl, Hem/Lim	1	19	-
RV-259	GPN	665	690	??/?/?	215/80[uv]	Vel qtz (Bro), Ecu chl, Hem/Lim, (Py)	2	46	-
RV-260	UTM	346200	5912760	??/?/?	220/80[uv]	Vel qtz, Ecu chl, Lim	<1	7	-
RV-261	GPN	675	570	230/80	075/90[40]	M16 Fol/Rcx, Eye qtz/Cpy/Mc, Stg cal	917	3500	-
RV-262	GPN	675	610	040/90	nil	M16 Rcx, Stg cal/qtz/Cpy/Mc	1030	3700	-
RV-263	GPN	610	700	000/90	075/90[30]	M16, Stg qtz/Py, Stg cal, Hem	<1	183	-
RV-264	GPN	610	700	??/?/?	000/90[uv]	Vel qtz/cal, Bro/Ccd, Ecu chl, Hem, (Py)	5	219	-
RV-265	GPN	665	700	??/?/?	225/80[uv]	Vel qtz/cal, Bro/Hem, Ecu chl/bio	3	97	-
RV-266	GPN	700	700	??/?/?	220/80[uv]	Vel qtz Bro, Ecu chl, Cpy/Mc	6	112	-
RV-267	GPN	635	745	225/80	070/70[50]	M16 Sil, Ama/Stg Po, Stg epi, Rou	2	115	CD
RV-268	GPN	615	775	230/80	115/90[99]	M16 Sil, Ama/Stg Po, Stg epi, Rou	7	292	CD
RV-269	GPN	725	715	??/?/?	070/??[uv]	Vel qtz Bro/Dcd, Ecu chl/bio	2	34	-
RV-270	GPN	660	700	205/80	105/90[30]	M16 Fol/(Rcx), Stg qtz/cal, Bio, Po	138	940	-
RV-271	GPN	765	675	205/75	115/80[99]	M16 Myl, Cal, Stg qtz	1	8	-
RV-272	GPN	765	675	??/?/?	250/45[uv]	Vel qtz Dcd	<1	6	-
RV-273	GPN	575	790	??/?/?	245/70[uv]	Vel qtz Bro, Stg cal, Hem, Lim	<1	5	-
RV-274	GPN	620	890	195/75	nil	M16 Fol/(Rcx), Stg qtz/cal, (Py)	2	41	-
RV-275	GPN	620	890	??/?/?	195/75[uv]	Vel qtz, (Bro), Ecu chl, Hem	<1	19	-
RV-276	GPN	575	830	??/?/?	095/90[uv]	Vel qtz (Bro), Ecu chl, Hem/Lim	<1	4	-
RV-277	GPN	595	845	240/70	015/80[30],075/80[99]	M16 Fol/(Myl), Po, Hem, Stg cal	3	370	-
RV-278	GPN	590	860	245/80	120/90[35]	M16 Fol, Po, Hem	2	304	-
RV-279	GPN	590	860	??/?/?	075/90[uv]	Vel qtz (Bro), Ecu chl, Stg cal	<1	5	-
RV-280	GPN	605	875	075/90	nil	M16, Bio, Po	<1	74	-

#	REPERE	.. X ..	.. Y ..	FOLIATION	FRACTURATION	LITHOTYPE	Au	Cu	ALIAS
RV-281	GPN	155	410	035/80	nil	M16 Fol, Chl	<1	7	-
RV-282	GPN	175	430	040/85	nil	M8 chl/bio/tlc, (Py)	<1	71	-
RV-283	GPN	175	430	nil	nil	I3A, Chl	6	74	-
RV-284	GPN	275	365	nil	nil	I4N, Tlc, Mt, (Py)	54	12	MG, Ni
RV-285	GPN	260	350	020/85	nil	M8 tlc/chl/bio, Cal, Py/Cpy	3	480	-
RV-286	GPN	205	320	025/85	nil	M16 Fol/Rcx, gr, Chl/Tlc, Hem	<1	241	-
RV-287	GPN	215	315	??/?/?	025/90[dk]	I1 bio/Fol, Hem	8	111	-
RV-288	GPN	230	305	??/?/?	250/85[uq]	Vei qtz Bro/Dcd, Ecu chl, Lim	<1	15	-
RV-289	GPN	250	225	??/?/?	??/?/?[uq]	Vei qtz Bro, Ecu chl, (Py)	<1	12	-
RV-290	GPN	320	-5	nil	nil	I3A Chl, Po, Cpy	31	1260	CO, Ni
RV-291	GPN	320	10	nil	nil	I3A, Po, Cpy	1	1200	CO, Ni
RV-292	GPN	285	-15	??/?/?	025/90[uq]	Vei qtz Bro, Ecu chl/epi	<1	38	-
RV-293	GPN	270	-10	025/85	nil	M16 Fol/Chl/Bio, Py/Cpy, Hem	<1	940	-
RV-294	GPN	245	50	??/?/?	040/90[uq]	Vei qtz Frc, Ecu chl, Cpy/Mc, Hem	<1	126	-
RV-295	GPN	245	50	??/?/?	040/90[uq]	Vei qtz Bro/Dcd, Ecu chl, Stg cal, Hem	17	880	-
RV-296	GPN	240	95	??/?/?	030/?/?[uq]	Vei qtz	<1	6	-
RV-297	GPN	320	75	025/90	nil	I3A, Chl, Po/Cpy, Rou	25	2720	Ni, Pt, Pd
RV-298	GPN	315	80	025/85	nil	I3A, Chl, Po, Cpy, Rou	42	3540	Ni, Pt, Pd
RV-299	GPN	320	45	nil	nil	I3A, Chl, Po/Cpy/Py, Rou	3	1120	CO, Ni
RV-300	UTM	336210	5896200	080/80	035/90[99]	M16 Fol/Chl, Py	3	1360	CO
RV-301	UTM	336205	5896195	??/?/?	230/80[uq]	Vei qtz Bro, Ecu chl, Hem	4	85	-
RV-302	UTM	336200	5896190	055/?/?	nil	I3A, (Cal)	1	61	-
RV-303	UTM	336190	5896300	045/85	175/90[75], 015/90[99]	M16 (Fol), Stg epi/fk, (Py)	1	161	-
RV-304	UTM	336100	5896700	??/?/?	060/90[uq]	Vei qtz	1	5	-
RV-305	UTM	335960	5896640	??/?/?	065/90[uq]	Vei qtz Bro, Ecu chl, Hem, cal, (Py)	<1	9	-
RV-306	UTM	335920	5896630	??/?/?	065/90[uq]	Vei qtz (Bro), Ecu chl/Hem, cal	<1	6	-
RV-307	UTM	335960	5896640	065/90	nil	M16 Fol/Bio, Stg qtz/cal	2	21	-
RV-308	UTM	336010	5896700	??/?/?	145/65[dk], 145/65[40]	I1 Dcd, Cal, Ecu M16 Chl, Hem, (Cpy)	1	6	-
RV-309	UTM	336005	5896670	070/90	155/90[99]	I3A, Chl, Py	1	91	-
RV-310	UTM	336005	5896670	??/?/?	255/85[uq]	Vei qtz Bro/Hem, Ecu chl, (Py)	2	20	-
RV-311	UTM	335930	5896730	??/?/?	050/90[dk]	I3B Dcd, Cal, Mt	1	262	MG
RV-312	UTM	335850	5896775	050/90	065/90[dk], 135/90[75]	I3B Dcd, Cal, Mt	2	217	MG
RV-313	UTM	335820	5896660	??/?/?	135/90[uq]	Vei qtz Dcd/(Bro), Ecu chl, Hem	1	9	-
RV-314	UTM	335950	5896760	065/90	nil	M24, Py, Hem	11	50	CO
RV-315	UTM	335760	5896670	240/85	020/90[99]	M16 Myl/Bio, Stg qtz/cal, Py	7	55	-
RV-316	UTM	335780	5896650	??/?/?	255/85[uq]	Vei qtz Bro, Ecu chl, Hem, cal	<1	28	-
RV-317	UTM	335780	5896650	??/?/?	025/90[dk]	I3B Dcd, Cal, Mt	<1	207	MG
RV-318	UTM	335850	5896705	??/?/?	040/?/?[uq]	Vei qtz Frc/Dcd, Hem	5	14	-
RV-319	UTM	335890	5896860	??/?/?	315/80[uq]	Vei qtz Dcd, cal/epi, Cpy, Hem	<1	39	-
RV-320	UTM	335890	5896860	??/?/?	nil	M16 Sil/Stg qtz/Epi, Cpy, Py, Cal	<1	56	-

#	REPERE	X	Y	FOLIATION	FRACTURATION	LITHOTYPE	Au	Cu	ALIAS
RU-321	UTM	335840	5896810	070/90	nil	M16 Fol/Chl/Tlc, Py, Hem	16	349	MG
RU-322	UTM	335960	5896920	???/??	050/90[dk]	I3B Dcd, Cal, Mt	<1	222	MG
RU-323	UTM	335985	5896930	???/??	045/90[uq]	Vei qtz, Ecu chl/cal, (Py)	<1	18	-
RU-324	UTM	335985	5896930	045/90	nil	M16 Fol/Chl/Bio, cal, Stg Py/Po	8	265	-
RU-325	UTM	335620	5896850	265/80	nil	M16 Sil/Stg qtz, cal, Cpy/Py	3	53	-
RU-326	UTM	335620	5896860	260/85	nil	M16 Fol/Chl, Eye qtz, Cal, Stg Py, Rou	8	480	-
RU-327	UTM	335625	5896890	???/??	250/80[uq]	Vei qtz Frc, Ecu chl/cal, (Py)	<1	24	-
RU-328	UTM	335625	5896940	250/85	nil	M16 Fol/Rcx/Chl, Ama Cpy/Py, Stg qtz/cal	<1	199	-
RU-329	UTM	335630	5896960	250/85	nil	M16 Fol/Chl, Py/Cpy, Stg qtz/cal	1	358	-
RU-330	UTM	335800	5897130	015/90	055/90[uq]	Vei qtz/cal Bro, Ecu chl, Hem	1	21	-
RU-331	UTM	335800	5897130	???/??	355/85[dk]	I3B Dcd/Cal, Py	1	120	-
RU-332	UTM	335700	5897210	???/??	240/75[uq]	Vei qtz/cal Dcd, (Py)	<1	36	-
RU-333	UTM	335705	5897230	???/??	060/90[dk]	I1 amp Dcd, Py	<1	109	-
RU-334	UTM	335720	5897375	???/??	150/75[uq]	Vei qtz, Ecu M16 (Chl), Py	<1	33	-
RU-335	UTM	335725	5897390	???/??	050/90[uq]	Vei qtz Bro/Hem, Ecu chl, cal	<1	11	-
RU-336	UTM	335480	5897080	???/??	065/80[uq]	Vei qtz Bou/Frc, Stg Cpy, Hem	18	2920	-
RU-337	UTM	335460	5897130	???/??	065/90[uq]	Vei cal/qtz	<1	8	-
RU-338	UTM	335495	5897140	060/90	165/85[99],125/85[99]	M16 Fol/Chl/Cal	1	23	-
RU-339	UTM	335510	5897135	065/90	315/70[99],170/90[99]	M24 mu/chl, Cal	<1	10	-
RU-340	UTM	335510	5897120	???/??	065/90[uq]	Vei qtz Bro, Ecu mu	<1	10	-
RU-341	UTM	335440	5897200	???/??	125/45[uq]	Vei qtz	<1	7	-
RU-342	UTM	335440	5897510	065/90	nil	M16 Fol, Chl/Bio, Cal, (Py)	1	59	-
RU-343	UTM	335500	5897700	085/50	145/90[99]	M16, Stg qtz, Py	33	800	-
RU-344	UTM	335470	5897685	075/90	055/90[uq]	Vei qtz/cal, Ecu chl, Py/Cpy, Hem	189	1580	-
RU-345	UTM	335555	5897750	045/90	nil	M16 Myl/Bio, Stg cal, Py	3	79	-
RU-346	UTM	335650	5897695	???/??	070/90[dk]	I1 amp/Dcd	<1	18	-
RU-347	UTM	335625	5897690	060/90	nil	I3A Chl, Py/Cpy, Hem/Lim	17	286	-
RU-348	UTM	335280	5897895	225/80	nil	I1B chl/Fol, Py	5	60	-
RU-349	UTM	335295	5897860	070/90	nil	I1B chl/Fol, Py	1	38	-
RU-350	UTM	335295	5897945	???/??	185/50[uq]	Vei qtz Dcd/Hem, Ecu chl, cal, (Py/Cpy)	2	25	-
RU-351	UTM	335305	5897960	???/??	175/90[uq]	Vei qtz Dcd, Ecu chl, cal, (Py)	3	23	-
RU-352	UTM	335335	5897965	???/??	185/45[uq]	Vei qtz Dcd, Ecu chl/cal/Hem, Py	1093	53	-
RU-353	UTM	335225	5897930	???/??	165/??[uq]	Vei qtz/cal, Ecu chl, Py	3	10	-
RU-354	UTM	336700	5897900	235/85	140/90[75]	M16 Myl/Chl/Bio, Stg/Eye qtz, Stg Cal	5	8	-
RU-355	UTM	336615	5897945	???/??	240/85[uq]	Vei qtz, cal, Ecu chl, Hem, Py	3	38	-
RU-356	UTM	336605	5897945	???/??	240/85[uq]	Vei qtz Bou, Ecu chl, Hem, (Py)	4	21	-
RU-357	UTM	336625	5897885	045/90	145/90[99]	M16 Myl, Stg qtz/cal, Py	10	44	-
RU-358	UTM	336615	5897900	245/85	155/90[99]	M16 Fol/Chl, Stg cal/qtz, Py	1	51	-
RU-359	UTM	336615	5897900	???/??	245/85[uq]	Vei qtz, Ecu chl, cal, (Py)	1	10	-
RU-360	UTM	336635	5897910	???/??	315/80[uq]	Vei qtz/cal, Ecu chl	3	45	-

#	REPERE	.. X ..	.. Y ..	FOLIATION	FRACTURATION	LITHOTYPE	Au	Cu	ALIAS
RV-361	UTM	336350	5897490	060/90	nil	M16 Myl, Cal, ?Po	1	3	-
RV-362	UTM	336320	5897515	???/??	065/90[uq]	Vel qtz, Ecu chl, cal, fu	<1	3	-
RV-363	UTM	336330	5897540	060/90	175/90[99]	M16 Fol/Brc/Chl/Bio, Cal, Py	<1	41	-
RV-364	UTM	336280	5897570	nil	nil	M16 Chl, Stg epi/qtz, Chl, Cal, Po	<1	3	-
RV-365	UTM	336205	5897565	045/??	nil	M16 ?Mu/Chl, Cpy, ?Po	19	4020	-
RV-366	UTM	336205	5897565	065/90	345/75[99]	M16 Fol/Chl, Po, Cpy	3	860	-
RV-367	GPN	320	45	nil	nil	I3A, Chl, Py/Po/Cpy, Rou	1	1060	CD,M1
RV-368	GPN	325	40	nil	nil	I3A, Chl, Po, Cpy, Rou	5	1240	CO,M1
RV-369	GPN	235	90	035/85	120/90[30]	M16 Fol/Chl, gr + M16 Sil/Stg qtz, Cpy	<1	147	M1
RV-370	GPN	120	-10	205/80	nil	I3A Fol, Chl, Py/Po, Hem	56	7880	MG
RV-371	GPN	100	5	205/80	nil	I3A (Fol), Chl, Po, Cpy, Hem	<1	1020	CD
RV-372	GPN	105	-15	205/80	145/90[30]	I3A (Fol), Chl/Bio, Po, Py, Cpy, Hem	5	1360	CD
RV-373	GPN	55	25	205/80	145/90[30]	I3A Fol, Chl/Bio, Cal, Py	<1	148	-
RV-374	GPN	100	-95	???/??	035/90[uq]	Vel qtz Bro/Dcd, Ecu chl, Stg cal, Py/Cpy/Mc, Hem	2	143	-
RV-375	GPN	90	-95	nil	135/90[50],055/90[50]	I3A, Chl, Po, Cpy, Py, Hem, Rou	<1	1140	CD
RV-376	GPN	-10	-90	???/??	030/90[uq]	Vel qtz Frc/Dcd	4	5	-
RV-377	GPN	-30	-95	020/90	315/70[40]	I3A Fol/Rcx, Bio/Chl, Po, Py, Hem	6	248	CD,Zn
RV-378	GPN	0	-55	???/??	235/50[uq]	Vel qtz Bro/Dcd, Ecu chl/bio/mu, Py, Hem, (Cpy)	5	107	-
RV-379	GPN	-25	-10	???/??	240/60[uq]	Vel qtz Frc/Dcd, Ecu chl/bio, Stg cal, Cpy/Mc, Py, Hem	108	540	-
RV-380	GPN	-50	-60	???/??	???/??[uq]	Vel qtz Frc/Dcd, Ecu chl/bio, Stg cal, Cpy/Mc	229	2260	Ag
RV-381	GPN	-70	0	???/??	120/75[uq]	Vel qtz/cal, Ecu M16 (Chl), Po, Cpy	20	61	-
RV-382	GPN	-70	0	???/??	120/75[uq]	Vel qtz/cal, Ecu M16 (Chl), Po, Cpy	50	42	-
RV-383	GPN	-100	0	???/??	120/75[uq]	Vel qtz/cal, Ecu M16 (Chl), Po, Cpy	81	64	Zn
RV-384	GPN	-155	-35	???/??	050/90[uq]	Vel qtz/cal, Ecu chl, (Po/Py)	<1	33	-
RV-385	GPN	-195	-95	???/??	105/90[uq]	Vel qtz Frc/ Dcd, Ecu M16 (Chl), cal	<1	8	-
RV-386	GPN	25	125	025/90	nil	M16 Fol, Chl, Bio, Po, Cpy	11	940	-
RV-387	GPN	45	95	030/90	nil	I3A, Chl/Bio, Po, Cpy, Hem	5	1060	CD
RV-388	GPN	80	80	215/85	nil	M16, Chl, Po, Cpy/Py, Hem	1	1220	-
RV-389	GPN	120	130	???/??	040/80[dk]	I1 chl/bio/Dcd	<1	18	-
RV-390	GPN	120	130	???/??	015/80[uq]	Vel qtz Frc/Dcd, Ecu M16 (Chl), cal	<1	7	-
RV-391	GPN	85	140	055/80	nil	M16 Fol, Chl/Bio, Po, Cpy	1	1000	-
RV-392	GPN	45	320	nil	nil	M16, Chl, Po	8	303	-
RV-393	GPN	115	355	025/85	300/80[75]	M16, Sil/Stg qtz, Chl, Po	1	259	-
RV-394	GPN	115	350	???/??	025/85[uq]	Vel qtz Frc, Ecu chl, cal	<1	12	-
RV-395	GPN	-20	325	050/90	nil	M16 Fol, Chl/Bio, cal, Stg qtz, Py	<1	9	-
RV-396	GPN	-20	340	???/??	235/45[uq]	Vel qtz Frc/Dcd	<1	4	-
RV-397	GPN	-120	320	025/90	nil	M16 Fol/Chl/Bio, Stg/Eye qtz, Cal, Py	<1	214	-
RV-398	GPN	0	405	???/??	020/85[uq]	Vel qtz Bro, Ecu M16 (Chl/Bio), cal, Py, Hem	3	52	-
RV-399	GPN	50	405	050/80	085/80[30]	M16 (Fol)/Chl, Stg qtz, Po, Cpy/Mc, Hem, Stg cal	15	780	-
RV-400	GPN	55	410	???/??	030/85[uq]	Vel qtz Bro, Ecu chl, cal, Hem	<1	6	-

#	REPERE	.. X ..	.. Y ..	FOLIATION	FRACTURATION	LITHOTYPE	Au	Cu	ALIAS
RU-401	GPN	-20	435	???	080/??[uq]	Vei qtz/Hem/Frc/Dcd, Ecu M16 (Chl/Bio), cal, Cpy	5	940	-
RU-402	GPN	-30	430	040/90	nil	M16 Rcx, Chl, Po, Py/Cpy, Hem	13	273	-
RU-403	GPN	-75	470	???	100/90[uq]	Vei qtz Dcd, Ecu chl, cal	<1	5	-
RU-404	GPN	-25	540	???	035/90[uq]	Vei qtz (Bro), Ecu chl, cal, (Py)	<1	5	-
RU-405	GPN	-115	530	???	110/90[uq]	Vei qtz/cal Bro/Dcd, Ecu chl, Cpy	<1	374	-
RU-406	GPN	-135	545	025/90	nil	M16 Fol/Rcx, Eye/Stg qtz/cal, Chl/Bio, Hem	3	60	-
RU-407	GPN	-95	575	???	155/??[uq]	Vei qtz Dcd, Ecu chl/mv, cal, Hem, (Py)	9	122	-
RU-408	GPN	-100	585	???	225/85[uq]	Vei qtz Bro, Ecu chl, cal, Hem, (Py)	<1	33	-
RU-409	GPN	0	550	???	060/85[uq]	Vei qtz Frc, Ecu chl, Stg cal, Hem	<1	5	-
RU-410	GPN	15	560	???	030/??[uq]	Vei qtz Bro/Dcd, Ecu M16 (Chl), Stg cal, Py/Po/Cpy/Mc, Hem	84	1470	Ag
RU-411	GPN	15	565	025/90	nil	M16, Po, Py, Cpy	27	1480	-
RU-412	GPN	-60	675	???	085/90[uq]	Vei qtz Frc/Dcd, Stg cal	<1	6	-
RU-413	GPN	0	770	025/90	nil	M16 Fol/Rcx, Chl, Cal, Po, Py/Cpy, Hem	1	239	MG
RU-414	GPN	0	770	???	025/90[uq]	Vei qtz Bro, Ecu chl, Py/Po, Hem	<1	208	-
RU-415	GPN	-25	820	???	030/90[uq]	Vei qtz Hem, Ecu chl	<1	160	-
RU-416	GPN	-25	815	???	035/90[uq]	Vei qtz Bro/Hem, Ecu chl	<1	67	-
RU-417	GPN	-25	820	025/90	nil	M16 Fol, gr, Chl/Bio, Cal, Py	<1	306	-
RU-418	GPN	-25	825	???	165/85[uq]	Vei qtz Bro/Brc/Dcd, Ecu M16 (Chl), cal, Cpy/Py, Hem	5	27	-
RU-419	GPN	-25	825	055/??	180/90[75]	M24 chl/Prx, Cal	1	20	-
RU-420	GPN	-25	830	025/90	nil	M16 Fol/Chl/Bio, Cal, Py	40	189	-
RU-421	GPN	-30	860	045/90	nil	M24 chl, Py, Po	7	580	Zn
RU-422	GPN	-45	890	???	075/80[uq]	Vei qtz Bro/Hem/Lim, Gn/Po	5	15	-
RU-423	GPN	-105	600	205/85	105/90[99]	M16 Fol/Rcx, Chl/Bio, Py, Po/Cpy	37	1460	-
RU-424	GPN	-120	700	025/90	nil	M16 Fol/Rcx, Chl, Stg qtz, Py/Po/Cpy	1	1220	-
RU-425	GPN	-85	785	???	085/??[uq]	Vei qtz Bro, Ecu chl, cal, Hem, (Py)	<1	20	-
RU-426	GPN	-85	785	045/85	nil	M16 Myl, Chl, Cal, Hem, (Py)	<1	105	-
RU-427	GPN	-130	780	???	nil	M16 Fol/Rcx, Chl/Bio, Stg cal, Py	<1	40	-
RU-428	GPN	-150	800	???	215/75[uq]	Vei qtz Bro, Lim	<1	4	-
RU-429	GPN	-125	800	195/85	nil	M16 Fol/Rcx, gr, Chl/Bio, Cal, Py	1	115	-
RU-430	GPN	-125	815	020/90	nil	M16 Fol/Chl/Bio, Cal, Py/Po	10	257	-
RU-431	GPN	-130	780	???	???	Vei qtz/cal Bro, Ecu chl/tlc, Hem	<1	12	-
RU-432	GPN	-50	850	???	nil	M16 Fol/Sil, Eye qtz, Chl, Py, Po	1	291	-
RU-433	GPN	0	900	???	045/80[uq]	Vei qtz Bro, Hem, Po/Py/Cpy/Gn	<1	109	-
RU-434	GPN	0	905	045/80	nil	M16 Fol, gr, Eye qtz, Chl/Bio, Po/Py, (Cpy)	<1	169	-
RU-435	GPN	0	910	???	045/80[uq]	Vei qtz Bro, Ecu chl, Po/Py, (Cpy)	<1	145	-
RU-436	GPN	0	930	045/85	nil	M16 Myl, Eye qtz, Chl, Cal, Po/Py, (Cpy)	<1	89	-
RU-437	GPN	-30	940	045/90	nil	M16 Myl, Chl/Bio, Cal, (Py)	<1	10	-
RU-438	GPN	-45	945	040/90	nil	M16 Fol, Stg qtz, gr, Chl/Bio, Py, Po, fu	<1	104	-
RU-439	GPN	-40	965	030/85	nil	M8 chl, gr, bio/fu	<1	4	-
RU-440	GPN	-35	960	025/85	nil	M16 Myl, Chl/Bio, fu, Py	1	5	-

#	REPERE	.. X ..	.. Y ..	FOLIATION	FRACTURATION	LITHOTYPE	Au	Cu	ALIAS
RU-441	GPN	-50	970	??/?	nil	M16 Fol/Chl/Bio, fu, Py/Cpy	<1	276	-
RU-442	GPN	-60	1005	050/90	150/90[50],075/90[50]	M24 chl/Prx, gr, Py, Hem	<1	740	-
RU-443	GPN	-60	1020	??/?	070/?[uq]	Vel qtz Bro/Dcd	<1	5	-
RU-444	GPN	-80	1025	035/90	315/80[99]	S9B Prx, Chl, Py	5	196	CO, MG
RU-445	GPN	-25	1075	??/?	045/85[uq]	Vel qtz Bro	<1	6	-
RU-446	GPN	-10	1110	??/?	055/85[uq]	Vel qtz Bro, Ecu chl/Py/Cpy/Bo, Hem	1	430	-
RU-447	GPN	-10	1110	055/85	nil	M8 chl/bio, gr	3	7	-
RU-448	GPN	-80	1190	??/?	050/90[uq]	Vel qtz Hem/Bro, Ecu ac	<1	9	-
RU-449	GPN	-70	1200	055/90	115/90[50],145/90[70]	M16 Fol/Chl/Bio, Py, Hem	23	185	-
RU-450	GPN	-60	1240	??/?	000/90[uq]	Vel qtz Bro, Ecu chl/Py/Cpy, Hem	12	29	-
RU-451	GPN	-60	1245	060/90	nil	M24 Prx/chl, Hem	18	39	CO
RU-452	GPN	-65	1260	035/90	145/70[40]	S9B Prx, Hem/Lim	2	14	CO
RU-453	GPN	-60	1280	045/90	nil	M8 chl/bio, gr, Stg/Eye qtz	28	7	CO
RU-454	GPN	-35	1285	070/90	nil	M16 Myl, gr, chl, Hem, Py	17	299	-
RU-455	GPN	-35	1285	??/?	045/90[uq]	Vel qtz Bro/Dcd, cal, (Py)	7	8	-
RU-456	GPN	40	1275	??/?	050/90[uq]	Vel qtz (Bro), Ecu M16 (Chl/Bio), cal, Hem	<1	5	-
RU-457	GPN	35	1245	055/90	nil	M16 Fol/Rcx, Chl/Bio, Py/Cpy, Hem, Cal + Vel qtz Bou	3	640	CO
RU-458	GPN	40	1215	045/90	nil	M16 Brc/Fol, Chl/Bio, gr, cal, Hem, (Py)	9	124	-
RU-459	GPN	25	1125	??/?	070/85[uq]	Vel qtz Bro, Ecu chl/bio, Py, Hem	<1	31	-
RU-460	GPN	35	1125	075/80	nil	M16 Brc/Fol/Chl/Bio, gr, Eye qtz, Hem, (Py)	4	132	-
RU-461	GPN	30	1115	075/85	nil	M16 Fol/Chl/Bio, gr, Py	2	116	-
RU-462	GPN	15	1040	040/90	nil	M16 Brc/Fol/Chl/Bio, Py, Cal, Hem	6	154	-
RU-463	GPN	5	1020	??/?	040/90[uq]	Vel qtz Bro, Ecu chl/bio, cal, Hem, (Py)	6	14	-
RU-464	GPN	5	1010	045/90	nil	M16 Brc/Fol/Chl/Bio, Eye qtz, (Py)	2	151	-
RU-465	GPN	100	935	??/?	040/90[uq]	Vel qtz Bro/Hem, Py/Cpy, Po, cal	<1	94	-
RU-466	GPN	5	945	040/85	nil	M8 chl, Cpy, cal, Rou	68	960	CO
RU-467	GPN	-135	1150	035/90	nil	M16 Chl/Sil, Py, cal	71	247	CO
RU-468	GPN	-75	1200	055/90	145/90[50]	M24 Prx, Eye M16, Lim	7	8	CO
RU-469	GPN	-65	1310	075/85	nil	M24 ac/chl/Prx, gr, Lim/Hem	<1	28	-
RU-470	GPN	-50	1310	060/90	nil	S9B Prx, ac, Hem	<1	13	-
RU-471	GPN	-35	1360	060/90	nil	M16 Fol/Chl/Bio, Stg qtz, Stg cal (Py/Cpy)	6	83	-
RU-472	GPN	-35	1365	085/90	205/85[40]	M24 ac/Prx, Rou	4	19	CO
RU-473	GPN	-35	1375	060/90	nil	M24 ac/Prx/Hem, Stg qtz	<1	13	CO
RU-474	GPN	-35	1410	065/90	nil	S9B Prx, ac, Hem, Stg qtz	32	24	-
RU-475	GPN	0	1435	??/?	065/90[uq]	Vel qtz Dcd/Hem, Ecu chl, cal, Py, (Cpy)	3	89	-
RU-476	GPN	-30	1445	055/90	nil	M16 Myl, Mt, Hem/Lim	3	13	MG
RU-477	GPN	0	1435	060/90	nil	M16 Myl/Chl/Bio, Eye qtz, Cal, Py	2	90	-
RU-478	GPN	0	1510	045/90	nil	M16 Fol/Chl, gr, Stg cal, Py	<1	102	-
RU-479	GPN	0	1500	045/90	nil	S9B Prx, Chl, Hem	<1	45	-
RU-480	GPN	0	1535	075/90	nil	M18 Myl/Rcx, Chl, Hem	<1	2	CO

#	REPERE	.. X ..	.. Y ..	FOLIATION	FRACTURATION	LITHOTYPE	Au	Cu	ALIAS
RV-481	GPN	0	1605	060/90	nil	M16 Myl, Stg cal, Hem	36	41	-
RV-482	GPN	25	1605	???/??	045/90[uq]	Vel Qtz Bro/Hem/Lim, Ecu chl	2	10	-
RV-483	GPN	15	1615	045/90	145/90[99]	M16 Myl, Mt, Stg Qtz, Py	62	50	MG
RV-484	GPN	10	1620	045/90	145/90[75]	M24 ac/Prx/Hem/Lim	1	5	MG
RV-485	GPN	15	1630	035/90	nil	S9B Prx, ac, Hem	14	11	MG
RV-486	GPN	25	1620	045/90	145/90[60]	S9B Prx, gr, Hem	5	25	MG
RV-487	GPN	25	1640	045/90	nil	S9B Prx, Mt, Py, Hem	18	97	MG
RV-488	GPN	-100	935	040/90	nil	M16 Sil, Chl, Po, Hem	3	274	Zn
RV-489	GPN	15	1355	040/90	nil	M24 chl/bio, gr, Stg Qtz, Hem	6	26	-
RV-490	GPN	25	1400	???/??	055/90[uq]	Vel Qtz Bro, tm, Ecu M16 Fol/Chl/Bio/gr	4	6	-
RV-491	GPN	25	1400	???/??	045/90[uq]	Vel Qtz Bro, tm, Ecu chl/gr	3	43	-
RV-492	GPN	25	1405	065/90	nil	M24 chl/Prx, gr, Hem/Lim, (Py)	17	92	-
RV-493	GPN	45	1465	???/??	040/90[uq]	Vel Qtz (Bro), Ecu chl/gr, Py/Cpy/Mc, Hem	4	96	-
RV-494	GPN	-120	1515	???/??	035/90[uq]	Vel Qtz, Ecu chl/cal	<1	5	-
RV-495	GPN	-85	1535	040/90	150/90[30]	M16 Sil, Stg Py, Apy, Hem, Cal	17	600	CD
RV-496	GPN	-80	1540	045/90	145/90[50]	M16 Rcx, Chl, Stg Qtz, Po, Cal, (?Apy)	22	301	-
RV-497	GPN	-65	1535	050/90	nil	M16 Sil, Stg Py/Cpy, Chl, Hem	14	383	CD
RV-498	GPN	-85	1525	070/90	nil	M16 Fol, Chl/Bio, Stg Py/Cpy, Hem	22	600	-
RV-499	GPN	0	1435	???/??	065/90[uq]	Vel Qtz, Ecu chl, cal, (Py)	1	6	-
RV-500	GPN	-55	1575	035/90	nil	M16 (Fol)/Rcx, Chl/Bio, Stg Qtz, Po, Apy/Cpy, Hem	145	640	-
RV-501	GPN	-50	1575	065/90	nil	M16 Fol/Rcx/Chl, gr, Stg Qtz, Apy, (Py), Hem	77	2100	-
RV-502	GPN	-45	1575	060/90	150/90[30]	M16 Fol/Rcx/chl, Stg Qtz, Apy, Hem	116	193	CD
RV-503	GPN	-45	1580	050/90	nil	M16 Fol/Rcx/Bio/Chl, Stg cal, Po, Py	4	87	-
RV-504	GPN	-45	1590	040/90	nil	M16 Sil/Stg Qtz, Cpy, Po, Apy, Hem	84	2940	CD
RV-505	GPN	-45	1585	060/90	nil	M16 Fol/Mu, Py/Mt, Rou	15	196	MG
RV-506	GPN	-40	1590	???/??	080/85[uq]	Vel Qtz Bro, cal, Hem + M16, Chl/Bio	1	23	-
RV-507	GPN	-45	1580	040/90	nil	M16 Sil/Stg Qtz, Apy Aci, Cpy, Py, Chl, Hem	452	386	CD
RV-508	GPN	-30	1605	055/90	155/90[99]	M16 Myl/Rcx/Chl/Bio, gr, Stg Qtz, Py, Apy/Cpy, Hem	481	940	CD, MG
RV-509	GPN	-30	1605	???/??	055/90[uq]	Vel Qtz Frc + M16 Chl, Apy, Hem	95	188	CD
RV-510	GPN	-30	1605	055/90	155/90[99]	M24 chl, Stg Qtz, Apy, Py, Hem	234	399	CD
RV-511	GPN	-50	1600	nil	nil	M16, Rcx, Po/Apy, Stg cal, Hem	19	137	-
RV-512	GPN	-50	1600	040/90	310/40[30]	M16 Fol/Chl/Bio, Stg cal	3	41	-
RV-513	GPN	-55	1610	nil	050/90[75], 340/80[99]	M16, Stg cal/Qtz/Cpy/Mc/Py/Po	6	900	-
RV-514	GPN	-50	1610	000/90	340/80[50]	M16 Rcx, Chl, Stg cal, Po, Apy	75	222	-
RV-515	GPN	-45	1610	070/90	340/80[50]	M16 Rcx, Stg cal, Chl, Po/Apy	156	125	-
RV-516	GPN	-45	1610	070/90	nil	M16 Sil/Stg Qtz, Apy Aci, Cpy/Py, Chl	190	107	CD
RV-517	GPN	-40	1610	045/85	nil	M16 Fol/Bio/Chl, Eye Qtz/fk, Py/Po	6	141	-
RV-518	GPN	-45	1615	045/85	nil	M16 Sil/Stg Qtz, Stg Py/Cpy, Chl, Apy	23	820	CD
RV-519	GPN	-40	1625	035/90	nil	M16 Myl/Tlc, Po, Hem	1	195	-
RV-520	GPN	-40	1625	035/90	nil	M8 tlc	<1	7	CD

#	REPERE	.. X ..	.. Y ..	FOLIATION	FRACTURATION	LITHOTYPE	Au	Cu	ALIAS
RV-521	GPN	15	1630	??/?	000/90[uq]	Vei Qtz Bro/Dcd, Ecu chl, cal, (Py), Hem	2	66	-
RV-522	GPN	30	1655	030/90	nil	M8 chl, gr, Stg Py/Cpy, (Apy), Hem	357	1340	CO
RV-523	GPN	30	1660	??/?	035/10[uq]	Vei Qtz Bro, Ecu chl, Po/Py, Cpy, (Apy)	111	560	CO
RV-524	GPN	35	1665	??/?	035/10[uq]	Vei Qtz Bro, Ecu chl, cal, Hem	2	19	-
RV-525	GPN	-65	1635	035/90	125/45[40], 020/90[99]	M16 Fol/Chl, Eye /Stg Qtz, Hem	3	104	-
RV-526	GPN	-70	1640	??/?	055/90[uq]	Vei Qtz Frc/Dcd, cal	<1	4	-
RV-527	GPN	-105	1655	??/?	??/?[uq]	Ama Qtz Frc, Ecu mu/fk	<1	4	-
RV-528	GPN	-135	1140	035/90	nil	M16 Sil/Chl, Cal, Py, Hem	13	115	CO
RV-529	UTM	345560	5913395	035/90	075/90[35]	M16 Fol/ Chl/Sil/Stg Qtz, gr, Py/Po, (Apy)	98	10	CO, MG
RV-530	UTM	345560	5913395	??/?	035/90[uq]	Vei Qtz Bro, Ecu chl/Py + M8 chl, gr	2	133	-
RV-531	UTM	345585	5913520	030/90	065/90[50], 145/80[60]	M16 Fol/Chl, Eye Qtz, gr, Py/Po, Hem	8	101	CO
RV-532	UTM	345585	5913530	??/?	030/90[uq]	Vei Qtz Frc	<1	3	-
RV-533	UTM	344340	5912700	020/90	145/90[60]	M16 Brc/Fol/Chl, Cal, Po, Py, Epi, Hem	7	97	CO
RV-534	UTM	344350	5912760	??/?	180/90[uq]	Vei Qtz/fk Dcd, Ecu M16 (Chl), (Py), Hem	<1	3	-
RV-535	UTM	344350	5912775	025/90	140/90[30], 085/90[99]	M24 mu + Vei Qtz Bro, Py	1	50	-
RV-536	UTM	344445	5912730	045/85	150/90[99]	M16 Fol/Chl, Eye Qtz, Py, Hem	<1	35	CO
RV-537	UTM	344500	5912690	??/?	000/90[uq]	Vei Qtz Brc/Dcd, cal, Ecu M16 (Chl), Py, Cpy, Hem	<1	42	-
RV-538	UTM	344605	5912690	040/85	nil	M16 Myl, Chl, Mu, Cal, Hem	<1	15	-
RV-539	UTM	323290	5895750	115/?	nil	I18 chl/Myl/Mu, Stg epi, (Sil), (Cal)	1	23	-
RV-540	UTM	323290	5895750	285/75	nil	I18 chl, Fol, Stg epi, (Sil), (Rou)	<1	9	-
RV-541	UTM	323290	5895750	285/75	nil	I18 chl/bio/Fol, Stg epi, (Sil), (Py), (Rou)	<1	7	-
RV-542	UTM	323290	5895750	285/75	285/75[uq]	Vei Qtz Frc/Ccd, Ecu chl/mu/cal, (Hem)	<1	4	-
RV-543	UTM	323290	5895750	125/?	nil	I18 chl/Fol/Sil/Epi/Mu, (Cal)	<1	24	-
RV-544	UTM	323290	5895750	300/60	nil	I18 chl/Myl/Sil, Eye fk, Stg epi, Cal, Py	3	79	-
RV-545	UTM	323290	5895750	300/60	300/60[uq]	Vei Qtz Frc/Ccd, Ecu I18 chl, Stg epi	1	12	-
RV-546	UTM	323290	5895750	300/60	300/60[uq]	Vei Qtz Frc/Ccd, (Hem)	<1	4	-
RV-547	UTM	323290	5895750	100/?	nil	I18 chl/Fol, Eye Qtz/fk, Cal	<1	4	-
RV-548	UTM	323290	5895750	095/?	nil	I18 chl/Fol, Eye Qtz/fk, Cal, Stg chl/Py/Cpy	<1	62	-
RV-549	UTM	323290	5895750	290/75	nil	I18 chl/Myl, Cal, Stg epi, (Py)	<1	38	-
RV-550	UTM	323290	5895750	290/75	290/75[uq]	Vei Qtz Frc/Ccd, Ecu chl/Py, Stg epi	<1	12	-
RV-551	UTM	323540	5895790	070/?	nil	M16 Fol/Chl/Bio/Mu, Stg Qtz/cal, Py, Rou	5	174	-
RV-552	UTM	323540	5895790	070/?	nil	I18 chl/Myl/Sil/Epi, Stg cal, Py, Rou	4	77	-
RV-553	UTM	323540	5895790	135/?	135/?[uq]	Vei Qtz Frc/Ccd, Ecu chl, Stg fk	<1	5	-
RV-554	UTM	323540	5895790	??/?	095/?[uq]	Vei Qtz Bro, Ecu I18 chl/Myl	<1	9	-
RV-555	UTM	323620	5895740	??/?	125/80[uq]	Vei Qtz Bro, Ecu chl/bio, Lim	<1	5	-
RV-556	UTM	323650	5895790	115/?	nil	I18 chl/Fol/Mu	<1	28	-
RV-557	UTM	323650	5895790	115/?	nil	I18 mu/Myl, Eye Qtz, Cal	<1	8	-
RV-558	UTM	323650	5895790	115/?	nil	I18 Cat/Mu, Cal, Rou	<1	17	-
RV-559	UTM	323650	5895790	115/?	nil	M8 Mu, Stg Qtz, (Cal)	<1	10	-
RV-560	UTM	323650	5895790	115/?	nil	I18 mu/Sil, Cal, (Epi), Rou	<1	21	-

#	REPERE	.. X ..	.. Y ..	FOLIATION	FRACTURATION	LITHOTYPE	Au	Cu	ALIAS
RV-561	UTM	322605	5896005	325/40	nil	I4N Sil/Cal/Fol/Tlc, Py/Po, Rou	6	12	MG
RV-562	UTM	322685	5896005	275/80	nil	I4N Fol/Cal/Sil/Tlc, Py/Po, (Rou)	1	25	-
RV-563	UTM	322710	5896020	275/60	nil	I4N Myl/Sil/Cal/Tlc, Py, (Rou)	2	5	-
RV-564	UTM	322725	5896010	095/65	nil	I4N Fol/Sil/Cal/Tlc, Py, (Cpy), (Rou)	2	8	-
RV-565	UTM	322955	5895985	???/??	nil	I4N Sil/Tlc/Cal, Py, Ama Mt	3	5	MG
RV-566	UTM	322960	5895990	???/??	nil	I4N Fol/Sil/Cal/Tlc, Py, (Rou)	<1	5	-
RV-567	UTM	322980	5895995	015/90	nil	M24 fu/mv, Stg Qtz, Py, Hem	25	11	-
RV-568	UTM	322980	5896000	???/??	nil	Vei Qtz Bro/Ccd/Hem/Lim, (Py), (fu)	<1	5	-
RV-569	UTM	322995	5895990	125/??	nil	M16 Fol/Sil, (Cal), (Py)	3	79	-
RV-570	UTM	322700	5896015	???/??	025/55[uq]	Vei Qtz Frc/Dcd, Ecu tlc	<1	4	-
RV-571	UTM	323050	5896010	255/80	nil	M16 Myl/Chl/Bio, Stg Qtz, Py	3	65	-
RV-572	UTM	323055	5896000	???/??	075/90[uq]	Vei Qtz Frc/Ccd/Bou, Ecu chl/Py	4	12	-
RV-573	UTM	323100	5895995	???/??	045/??[uq]	Vei Qtz Frc/Ccd/Hem, Ecu chl, Py, Po,	5	21	-
RV-574	UTM	323155	5896005	065/80	nil	?M24 mv, Py, Rou	13	58	CD
RV-575	UTM	323175	5895955	???/??	085/90[uq]	Vei Qtz Frc/Ccd/Hem, Ecu chl, Py/Po	<1	22	-
RV-576	UTM	323205	5895985	???/??	070/90[uq]	Vei Qtz Frc/Ccd, Ecu chl/cal, Py/Po, (Hem)	<1	26	-
RV-577	UTM	323205	5895985	075/??	nil	M24 mv, Stg Qtz, Py, Rou	1	125	CD

## LISTE DES PARAMETRES

- #: numéro d'échantillon
- ppmAg: teneur en argent (ppm)
- ppmCu: teneur en cuivre (ppm; extraction multi-acide)
- ppmPb: teneur en plomb (ppm)
- ppmZn: teneur en zinc (ppm)
- ppmNi: teneur en nickel (ppm)
- ppmCr: teneur en chrome (ppm)
- ppbPt: teneur en platine (ppb)
- ppbPd: teneur en palladium (ppb)

#	ppmAg	ppmCu	ppmPb	ppmZn	ppmNi	ppmCr	ppbPt	ppbPd
PC-3				141				
PC-5	3.7							
PC-7	36.5							
PC-67				56				
PC-71				52				
PC-89	<0.1							
PC-100	9.0							
PC-191	<0.1							
PC-197	0.2	441						
PC-200	<0.1							
PC-201	0.2	166						
PC-204	0.1							
PC-205	<0.1							
PC-207	<0.1							
PC-211	<0.1							
PC-220	1.6							
PC-221	1.8							
PC-228	<0.1							
PC-229	4.1							
PC-237	0.3							
PC-238	0.1							
PC-239	1.7							
PC-240	0.4							
PC-241	0.7							
PC-242	0.4							
PC-265	0.1							
PC-272	0.2							
PC-276	0.1							
PC-277		177						
PC-278	0.4							
PC-279	1.4							
PC-286	0.6							
PC-293	0.3							
PC-298	0.2							
PC-300	0.3							
PC-304	0.2							
PC-305	0.3							
PC-307	0.2							
PC-309	0.2							
PC-328	0.6							
PC-338	0.2							
PC-339	<0.1							
PC-344	0.1							
PC-348	<0.1							
PC-358	<0.1							
PC-362	<0.1							
PC-368	0.4							
PC-375	<0.1							
PC-376	0.6							
PC-377	<0.1							
PC-378	0.3							
PC-379	<0.1							
PC-380	<0.1							

#	ppmAg	ppmCu	ppmPb	ppmZn	ppmNi	ppmCr	ppbPt	ppbPd
PC-409	0.3							
PC-412	0.3							
PC-414	0.6							
PC-436	0.4							
PC-438	0.3							
PC-445		98						
PC-446		1620						
PC-447	<0.1							
PC-451	0.2							
PC-452	<0.1							
PC-453	<0.1							
PC-454	<0.1							
PC-455	0.6	1020						
PC-456	0.1							
PC-457	0.2	74						
PC-458	0.1							
PC-459	<0.1	165						
PC-460	<0.1	7						
PC-461	0.1							
PC-462	0.3							
PC-463	0.1	34						
PC-464	0.1							
PC-465	<0.1							
PC-466	<0.1	47						
PC-467	<0.1							
PC-468	0.1							
PC-470	<0.1							
PC-472	0.4							
PC-474	3.9							
PC-482	0.2							
PC-483	0.3							
PC-488	0.2							
PC-489	0.1							
PC-490	0.2							
PC-493	0.3							
PC-495	0.1							
PC-496	0.1							
PC-498	0.2							
PC-501	0.2							
PC-504	0.1							
PC-506	0.3							
PC-507	0.3							
PC-508	0.5							
PC-512	0.4							
PC-513	0.5							
PC-515	0.4							
PC-516	<0.1							
PC-519	0.1							
PC-520	0.1							
PC-522	<0.1							

#	ppmAg	ppmCu	ppmPb	ppmZn	ppmNi	ppmCr	ppbPt	ppbPd
RV-7		330		202				
RV-8		44		111				
RV-9		5280						
RV-12		192						
RV-13		4520						
RV-15		88						
RV-17		13						
RV-18		157	<2	66				
RV-25		63						
RV-26		143	52	95				
RV-27		33	14	180				
RV-29		407						
RV-35		1160						
RV-39		59						
RV-40		89						
RV-41		98						
RV-47		10				105		
RV-49		23						
RV-52		4						
RV-65		75				518		
RV-67		60	<2	21				
RV-68		30	<2	13				
RV-70		11	<2	67				
RV-71		86	<2	252				
RV-72		171	3	230				
RV-74		257	13	300				
RV-105		19		64	2440	920		
RV-106		20		61	52	119		
RV-128		10		35	1520	553		
RV-135		158		95	654	85		
RV-137		89		69	89	319		
RV-139		23		56	1820	1020		
RV-142		338		119	95			
RV-143		355		135	92			
RV-151		121						
RV-153		542						
RV-155						1040		
RV-156						800		
RV-158		459		112	411			
RV-163		791		57	74	110		
RV-164		71						
RV-165		1720		171	229	167		
RV-166						127		
RV-167		777						
RV-169		3900		56	71			
RV-170						456		
RV-171						416		
RV-174		1940						
RV-175		940						
RV-176		1640						
RV-185		393		95	138			
RV-190		182		114	247			
RV-193		880						

#	ppmAg	ppmCu	ppmPb	ppmZn	ppmNi	ppmCr	ppbPt	ppbPd
RV-194						2580		
RV-195						1760		
RV-203		399						
RV-204						1350		
RV-209		2320						
RV-216		2600						
RV-217						38		
RV-230						2000		
RV-239		113						
RV-246		385						
RV-247		450						
RV-248		10160						
RV-249		16400						
RV-252		421						
RV-254		7720						
RV-255		1540						
RV-261		3280						
RV-262		3480						
RV-268		292						
RV-284					1235	1240	<10	20
RV-285					699	1620	32	99
RV-288	0.2							
RV-289	0.3							
RV-290					1740	549	37	124
RV-291					1740	860	47	132
RV-292	0.1							
RV-294	0.4							
RV-297					2380	1100	159	683
RV-298					2880	1180	191	973
RV-299					1320	629	50	152
RV-311							<10	5
RV-312							<10	5
RV-317						89	<10	4
RV-319		33						
RV-320		55						
RV-321						317		
RV-322						112		
RV-336		2680						
RV-361		4						
RV-362		4						
RV-363		43						
RV-364		5						
RV-365		4100						
RV-366		960						
RV-367					1420	564	29	131
RV-368					1620	467	63	147
RV-370					2500	331	89	796
RV-371					425	655	31	103
RV-372					181	479	57	133
RV-374	<0.1							
RV-375					439	580	<10	<1
RV-376	<0.1							
RV-377				2620	160			

#	ppmAg	ppmCu	ppmPb	ppmZn	ppmNi	ppmCr	ppbPt	ppbPd
RV-378				58				
RV-379	0.6							
RV-380	1.2	2290						
RV-381	<0.1			312	23	429		
RV-382	<0.1			24	8	461		
RV-383	<0.1			3170	15	438		
RV-384	<0.1							
RV-385	<0.1							
RV-386				107	428	880		
RV-387				135	327	546		
RV-388				86	723	600		
RV-390	<0.1							
RV-391					304			
RV-393				92	127	328		
RV-394	<0.1							
RV-399					344	519	59	249
RV-400	<0.1							
RV-401	0.3							
RV-402					246	689	49	44
RV-405	<0.1							
RV-410	1.4			23	102			
RV-411					393	146	66	305
RV-413					142	425	<10	1
RV-414	0.2							
RV-415	0.5							
RV-416	0.2							
RV-418	0.2							
RV-421	1.0			2980	100			
RV-422	0.1							
RV-423					110	175	<10	1
RV-424					114	214	13	9
RV-430						850		
RV-432	0.4			567	113			
RV-443	<0.1							
RV-445	<0.1							
RV-450	0.2							
RV-455	0.5							
RV-456	0.2							
RV-459	0.3							
RV-463	0.2							
RV-465	0.1							
RV-475	0.5							
RV-482	0.1							
RV-485						75		
RV-487						159		
RV-488		273		1240	122			
RV-490	0.1							
RV-491	0.4							
RV-493	0.5							
RV-494	0.1							
RV-495		513		444	105			
RV-496				150	100			
RV-497		285		385	307			

#	ppmAg	ppmCu	ppmPb	ppmZn	ppmNi	ppmCr	ppbPt	ppbPd
RV-498		525		317	32			
RV-499	0.2							
RV-500					180		10	9
RV-503					108		13	13
RV-504		2480						
RV-514					337			
RV-517				146				
RV-523	0.5							
RV-527	<0.1							
RV-529						143		
RV-530	<0.1							
RV-533	<0.1							
RV-534	<0.1							
RV-535	0.4							
RV-537	0.5							
RV-561				50				
RV-562				54				
RV-563				66				
RV-564				53				
RV-565				51				
RV-566				44				
RV-568	0.1							
RV-573	<0.1							
RV-575	0.1							
RV-576	0.1							